

OPERE VIARIE NELL'AMBITO DI TRASFORMAZIONE URBANA IN FREGIO A PIAZZA CASTELLO NEL COMPARTO COMPRESO TRA VIA XX SETTEMBRE E SALITA SANT'ANNA NELLA CITTA' DI CASALE MONFERRATO (AL)

STUDIO DI IMPATTO VIABILISTICO

AR H ORDINE DEGLI ARCHITETTI PIANIFICATORI,
PAESAGGISTI E CONSERVATORI PROVINCE
NV O DI NOVARIA E VERBANO - EUSIO - OSSOLA
ARCHITETTO

SEZIONE
AVA

N° 296

SINTESI

Lo scopo del presente studio è quello di verificare la compatibilità viabilistica di una nuova Media Struttura di Vendita (tipologia M-SAM4) previsto in fregio a via XX Settembre e salita Sant'Anna nel Comune di Casale Monferrato (AL), su un'area attualmente dismessa nei pressi del Castello e dell'area mercatale, non distante dal centro cittadino.

Attualmente, il sistema viario interessato dal previsto insediamento commerciale è costituito dalle già nominate via XX Settembre e via Sant'Anna e da viale Lungo Po, corso Manacorda, via Bruno Buozzi e Salita Sant'Anna.

Lo studio di traffico presentato nelle pagine seguenti analizza la compatibilità viabilistica dell'intervento: in termini generali si tratta di verificare sia la funzionalità attuale della rete stradale del comparto, sia la funzionalità futura in riferimento al traffico generato dalla nuova localizzazione commerciale. Oggetto dello studio sono pertanto l'analisi delle condizioni di circolazione attuali nell'area in esame e la valutazione degli effetti indotti dalla domanda di trasporto generata dalla nuova realizzazione.

Gli obiettivi dello studio sono riconducibili al seguente percorso:

- 1. definizione dello scenario di traffico allo stato di fatto;
- 2. calcolo dei Livelli di Servizio (LOS) associati alla situazione viaria attuale;
- 3. stima della domanda di trasporto indotta dalle nuove localizzazioni sulla base della legislazione sul commercio della Regione Piemonte "indirizzi generali e criteri di programmazione urbanistica per l'insediamento del commercio al dettaglio in sede fissa in attuazione del D.Lgs 31.3.1998 114/98" e la DCR 59 10831 del 24 marzo 2006;
- 4. assegnazione della nuova domanda di trasporto alla rete viaria e definizione di un nuovo scenario di traffico, associato allo stato di progetto;
- 5. calcolo dei Livelli di Servizio associati alla situazione viaria di progetto;
- 6. stima delle prestazioni e delle capacità residue del sistema viario.

INDICE

INQUADRAMENTO TERRITORIALE 11 DESCRIZIONE DELLA DOMANDA DI TRASPORTO 14 CAMPAGNA DI RILEVAMENTO DEL TRAFFICO 17 3.1 Movimenti di svolta all'intersezione tra viale Lungo Po e viale Marconi 18 3.2 Movimenti di svolta all'intersezione tra viale Lungo Po e via XX Settembre 21 3.3 Movimenti di svolta all'intersezione tra via XX Settembre, piazza Castello e corso Manacorda 25 3.4 Movimenti di svolta all'intersezione tra corso Manacorda, piazza Castello e salita Sant'Anna 28 3.5 Movimenti di svolta all'intersezione tra salita Sant'Anna, via Bruno Buozzi e via Matteotti 32 3.6 Individuazione e analisi dell'ora di punta 36 4 LIVELLI DI SERVIZIO ATTUALI 38 4.1 Metodi 38 4.1.1 38 Livelli di servizio su tratte stradali 4.1.2 39 Determinazione dei LOS su tratte a carreggiata separata 4.1.3 Determinazione dei LOS su tratte a carreggiata unica 44 4.1.4 Livelli di servizio su intersezioni a raso libere 49 4.2 Metodo di calcolo per intersezioni a rotatoria 51 4.3 Verifica dei LOS attuali 53 5 STIMA DELLA DOMANDA DI TRASPORTO FUTURA 61 Stima del fabbisogno totale di parcheggi 61 5.2 Stima della domanda di trasporto indotta 61 6 DISTRIBUZIONE E ASSEGNAZIONE DELLA DOMANDA DI TRASPORTO SUL COMPARTO 63 6.1 Metodo di distribuzione dei viaggi 63 6.2 Metodo di assegnazione della domanda di trasporto 64 6.3 Caratteristiche di progetto della sistemazione della viabilità e degli accessi alla struttura commerciale 66 6.4 Distribuzione degli spostamenti origine/destinazione 70 74 6.5 Assegnazione della domanda di trasporto

7	STIMA DEI LIVELLI DI SERVIZIO FUTURI	76
	7.1 Verifica dei LOS futuri	76
8	CONCLUSIONI	85

INDICE DELLE FIGURE

Figura 1: inquadramento territoriale	11
Figura 2: Inquadramento territoriale con indicazione delle intersezioni rilevate	13
Figura 3: Intersezione tra viale Lungo Po e viale Marconi	14
Figura 4: Intersezione a rotatoria tra viale Lungo Po e via XX Settembre	15
Figura 5: Intersezione tra via XX Settembre e piazza Castello	15
Figura 6: Intersezione a rotatoria tra via XX Settembre, salita Sant'Anna e corso Man	acorda
	16
Figura 7: Intersezione tra salita Sant'Anna e via Bruno Buozzi, presso il ponte	16
Figura 8: Movimenti di svolta all'intersezione tra viale Lungo Po e viale Marconi	18
Figura 9: Movimenti di svolta all'intersezione tra viale Lungo Po e via XX Settembre	21
Figura 10: Movimenti di svolta all'intersezione tra via XX Settembre, piazza Castello d	e corso
Manacorda	25
Figura 11: Movimenti di svolta all'intersezione tra corso Manacorda, piazza Castello e	e salita
Sant'Anna	28
Figura 12: Movimenti di svolta all'intersezione tra salita Sant'Anna, via Bruno Buoz	zi, via
Matteotti e via Biglionino	32
Figura 13: Flussogramma dello stato di fatto nell'intervallo dell'ora di punta 17.00-1	8.00 di
venerdì	
Figura 14: relazione flusso/velocità	39
Figura 15: diagramma velocità di deflusso (S) - tasso di flusso (Vp)	42
Figura 16: livelli di servizio per strade a carreggiata unica	48
Figura 17: intersezione tra viale Lungo Po e viale Marconi	53
Figura 18: intersezione tra viale Lungo Po e via XX Settembre	55
Figura 19: intersezione tra via XX Settembre, piazza Castello e corso Manacorda	57
Figura 20: intersezione tra corso Manacorda, piazza Castello e salita Sant'Anna	58
Figura 21: intersezione tra salita Sant'Anna, via Bruno Buozzi e via Biglionino	60
Figura 22: Planimetria generale di progetto del comparto stradale	68
Figura 23: Planimetria di progetto delle opere stradali di attestazione al nuovo insedic	mento
commerciale (in rosso gli accessi, in blu le uscite)	69
Figura 24: Planimetria di progetto delle rotatorie all'intersezione tra salita Sant'An	na, via
B.Buozzi, via Matteotti e via Biglionino	70
Figura 25: Flussogramma della distribuzione del traffico indotto sulla rete strac	
progetto	73

Rev.0 - Gennaio 2012

Figura 26: Flussogramma dello scenario futuro sulla rete stradale di progetto	nell'ora di
punta 17.00–18.00 del venerdì	75
Figura 27: Rotatoria di progetto tra viale Lungo Po e via XX Settembre	77
Figura 28: Rotatoria di progetto tra corso Manacorda e salita Sant'Anna	78
Figura 29: rotatoria di progetto sulla nuova viabilità	81
Figura 30: rotatorie di progetto all'intersezione tra salita Sant'Anna, via Bruno	Buozzi, via
Matteotti e via Biglionino	82

INDICE DEI GRAFICI

Grafico 1: Valori di flusso in ingresso all'intersezione tra viale Lungo Po e viale Marconi,
diversificati per strada di provenienza19
Grafico 2: Valori di flusso in uscita dall'intersezione tra viale Lungo Po e viale Marconi,
diversificati per strada di provenienza20
Grafico 3: Valori di flusso orari in ingresso all'intersezione tra viale Lungo Po e viale
Marconi, diversificati per strada di provenienza20
Grafico 4: Valori di flusso orari in uscita dall'intersezione tra viale Lungo Po e viale Marconi,
diversificati per strada di provenienza21
Grafico 5: Valori di flusso in ingresso all'intersezione tra viale Lungo Po e via XX Settembre,
diversificati per strada di provenienza23
Grafico 6: Valori di flusso in uscita dall'intersezione tra viale Lungo Po e via XX Settembre,
diversificati per strada di provenienza23
Grafico 7: Valori di flusso orari in ingresso all'intersezione tra viale Lungo Po e via XX
Settembre, diversificati per strada di provenienza24
Grafico 8: Valori di flusso orari in uscita dall'intersezione tra viale Lungo Po e via XX
Settembre, diversificati per strada di provenienza24
Grafico 9: Valori di flusso in ingresso all'intersezione tra via XX Settembre, piazza Castello e
corso Manacorda, diversificati per strada di provenienza26
Grafico 10: Valori di flusso in uscita dall'intersezione tra via XX Settembre, piazza Castello e
corso Manacorda, diversificati per strada di provenienza27
Grafico 11: Valori di flusso orari in ingresso all'intersezione tra via XX Settembre, piazzo
Castello e corso Manacorda, diversificati per strada di provenienza27
Grafico 12: Valori di flusso orari in uscita dall'intersezione tra via XX Settembre, piazzo
Castello e corso Manacorda, diversificati per strada di provenienza28
Grafico 13: Valori di flusso in ingresso all'intersezione tra corso Manacorda, piazza Castello
e salita Sant'Anna, diversificati per strada di provenienza30
Grafico 14: Valori di flusso in uscita dall'intersezione tra corso Manacorda, piazza Castello e
salita Sant'Anna, diversificati per strada di provenienza30
Grafico 15: Valori di flusso orari in ingresso all'intersezione tra corso Manacorda, piazzo
Castello e salita Sant'Anna, diversificati per strada di provenienza31
Grafico 16: Valori di flusso orari in uscita dall'intersezione tra corso Manacorda, piazzo
Castello e salita Sant'Anna, diversificati per strada di provenienza31

Grafico 17: Valori di flusso in ingresso all'intersezione tra salita Sant'Anna, via Bruno E	3uozzi
e via Biglionino, diversificati per strada di provenienza	34
Grafico 18: Valori di flusso in uscita dall'intersezione tra salita Sant'Anna, via Bruno Bu	ozzi e
via Biglionino, diversificati per strada di provenienza	35
Grafico 19: Valori di flusso orari in ingresso all'intersezione tra salita Sant'Anna, via	Bruno
Buozzi e via Biglionino, diversificati per strada di provenienza	35
Grafico 20: Valori di flusso orari in uscita dall'intersezione tra salita Sant'Anna, via	Bruno
Buozzi e via Biglionino, diversificati per strada di provenienza	36

INDICE DELLE TABELLE

Tabella 1: Movimenti di svolta rilevati all'intersezione tra viale Lungo Po e viale Marconi .	19
Tabella 2: Movimenti di svolta rilevati all'intersezione tra viale Lungo Po e via XX Setten	
Tabella 3: Movimenti di svolta rilevati all'intersezione tra via XX Settembre, piazza Caste corso Manacorda	llo e
Tabella 4: Movimenti di svolta rilevati all'intersezione tra corso Manacorda, piazza Caste salita Sant'Anna	llo e
Tabella 5: Movimenti di svolta rilevati all'intersezione tra salita Sant'Anna, via Bruno Bu via Matteotti e via Biglionino	
Tabella 6: fattore correttivo per larghezza corsie	40
Tabella 7: fattore correttivo per larghezza banchina (somma della banchina interno esterna)	
Tabella 8: fattore correttivo per tipo di separazione della carreggiata	40
Tabella 9: fattore correttivo per presenza di accessi laterali a raso (in base al numer questi)	
Tabella 10: formule analitiche per il calcolo della velocità di deflusso	42
Tabella 11: criteri per livelli di servizio per strade a carreggiate separate	43
Tabella 12: Livelli di servizio su tratte stradali con carreggiata separata	43
Tabella 13: fattore correttivo per larghezza corsia e banchina	45
Tabella 14: fattore correttivo per numero di accessi a raso	45
Tabella 15: fattore correttivo per pendenza media della strada	45
Tabella 16: fattore correttivo per parte di strada con divieto di sorpasso	46
Tabella 17: fattore correttivo per la parte in cui è impedito il sorpasso e per la distribuz	
Tabella 18: Livelli di Servizio su tratte stradali con carreggiata unica	
Tabella 19: Intervalli critici	
Tabella 20: Correzioni per particolarita' dell'intersezione	
Tabella 21: Livelli di Servizio su intersezioni a raso libere	
Tabella 22: Livelli di servizio nelle intersezioni a rotatoria in funzione delle code e d	
attese	
Tabella 23: schema dei movimenti di svolta nelle intersezioni a "T"	
Tabella 24: Livelli di servizio all'intersezione tra viale Lungo Po e viale Marconi in funz	
delle code e delle attese – scenario attuale	
delle code è delle dilese – scellario dilodie	54

Tabella 25: Risultati della simulazione per la rotatoria tra viale Lungo Po e via XX Settembre
- scenario attuale56
Tabella 26: schema dei movimenti di svolta nelle intersezioni a "T"57
Tabella 27: Livelli di servizio all'intersezione tra via XX Settembre, piazza Castello e corso
Manacorda in funzione delle code e delle attese – scenario attuale57
Tabella 28: Risultati della simulazione per la rotatoria tra corso Manacorda, piazza Castello
e salita Sant'Anna - scenario attuale59
Tabella 29: Livelli di servizio all'intersezione tra salita Sant'Anna, via Bruno Buozzi e via
Biglionino in funzione delle code e delle attese60
Tabella 30: incidenza percentuale delle direttrici viarie sul flusso attuale circolante71
Tabella 31: distribuzione dell'indotto sulle direttrici viarie al cordone71
Tabella 32: Livelli di servizio all'intersezione tra viale Lungo Po e viale Marconi in funzione
delle code e delle attese – scenario finale76
Tabella 33: Risultati della simulazione per la rotatoria tra viale Lungo Po e via XX Settembre
- scenario finale78
Tabella 34: Risultati della simulazione per la rotatoria tra corso Manacorda, piazza Castello
e salita Sant'Anna - scenario finale79
Tabella 35: Risultati della simulazione per la rotatoria tra salita Sant'Anna, la nuova viabilità
e la rotatoria Manacorda - scenario finale80
Tabella 36: Risultati della simulazione per la rotatoria di progetto sulla nuova viabilità -
scenario finale82
Tabella 37: Risultati della simulazione per la rotatoria di progetto all'intersezione tra salita
Sant'Anna, via B.Buozzi e via Biglionino - scenario finale83
Tabella 38: Risultati della simulazione per la rotatoria di progetto all'intersezione tra salita
Sant'Anna, la nuova viabilità e via Matteotti - scenario finale84
Tabella 39: tabella riassuntiva LOS scenario attuale86
Tabella 40: tabella riassuntiva LOS scenario di progetto86

1 INQUADRAMENTO TERRITORIALE

La valutazione dell'impatto di traffico generato dalla futura realizzazione di una nuova struttura commerciale localizzata presso l'area del Castello ha come oggetto prevalente lo studio degli assi stradali presenti nell'area di studio, nel comparto stradale compreso tra viale Lungo Po, via XX Settembre e salita Sant'Anna, lungo un itinerario che si prefigura come una specie di circonvallazione interna al centro storico, permettendo di connettere i versanti opposti della città (lato Vercelli e lato Alessandria-Valenza) e i due caselli autostradali di Casale Nord e Sud.



Figura 1: inquadramento territoriale

Le intersezioni studiate sono gli elementi cruciali del sistema viabilistico su cui si inserisce il nuovo insediamento commerciale; la valutazione dell'impatto di traffico generato ha come oggetto prevalente gli assi stradali di viale Lungo Po, via XX Settembre, salita Sant'Anna e via B.Buozzi oltre che le viabilità secondarie che su di essi confluiscono.

Per la misura delle attuali condizioni di circolazione e della domanda di traffico è stata condotta, tra il 25 e il 26 novembre 2011, una campagna di rilevamento del traffico sulle intersezioni viarie principali; nello specifico, la campagna di rilevamento ha interessato:

- l'intersezione a precedenza tra viale Lungo Po e viale Marconi;
- l'intersezione a rotatoria tra viale Lungo Po e via XX Settembre;
- l'intersezione a precedenza tra via XX Settembre e piazza Castello;
- l'intersezione a rotatoria tra salita Sant'Anna e corso Manacorda;
- l'intersezione a precedenza tra salita Sant'Anna e via Bruno Buozzi;
- l'intersezione a rotatoria tra viale Lungo Po e via Adam, di attestazione al ponte sul Po (rilievo parziale dei movimenti al solo scopo di verifica).

Gli obiettivi principali della campagna di rilievo hanno riguardato la quantificazione dei flussi nelle ore di punta del venerdì e del sabato, mirando ad individuare i movimenti maggiormente conflittuali. Pertanto sono stati misurati:

- i flussi veicolari che impegnano le intersezioni nelle ore di punta serali;
- la composizione di tali flussi veicolari.

Di seguito sono riportati l'inquadramento di dettaglio, con indicata la futura posizione del nuovo insediamento commerciale e la foto aerea con evidenziate le intersezioni di rilevo.

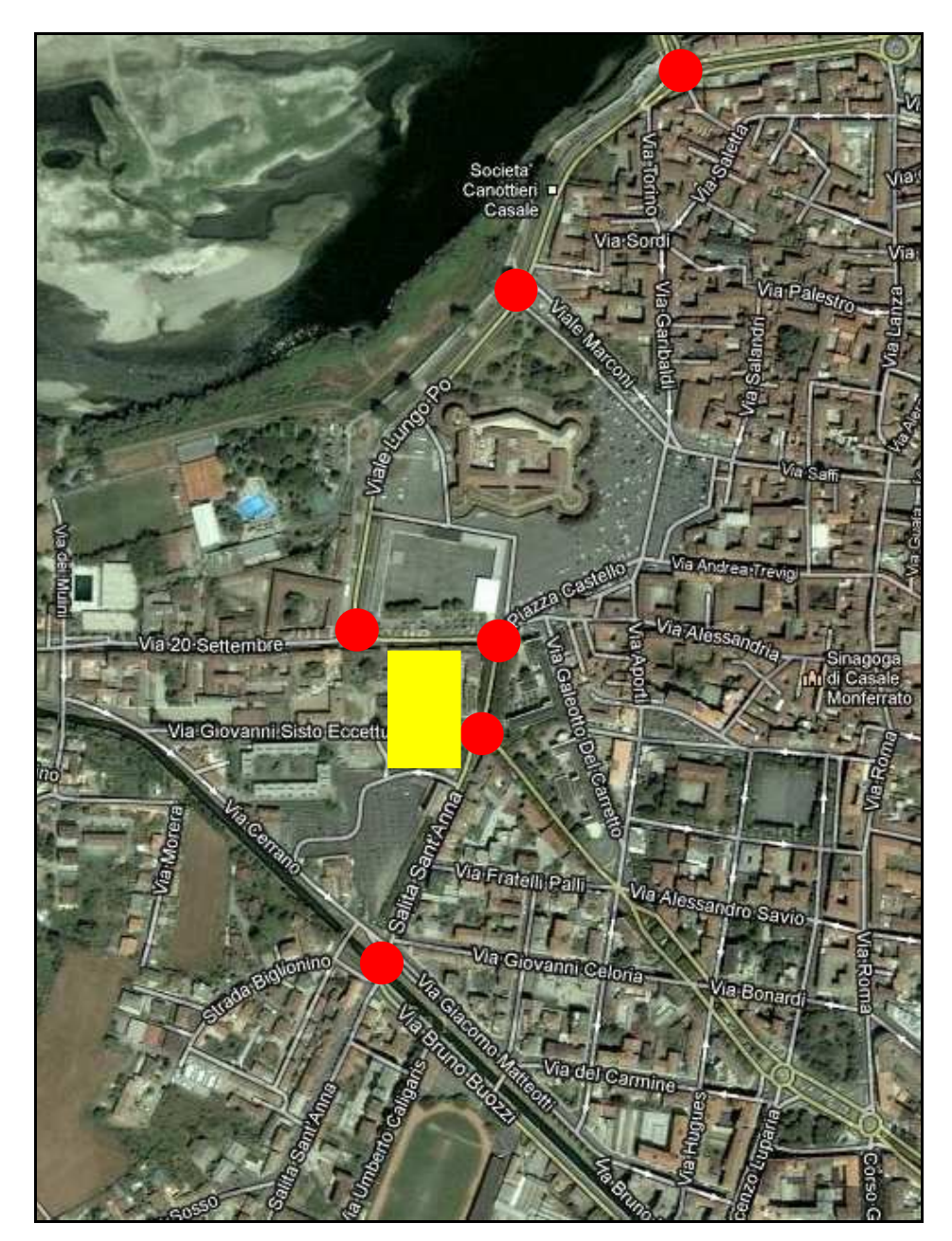


Figura 2: Inquadramento territoriale con indicazione delle intersezioni rilevate

2 DESCRIZIONE DELLA DOMANDA DI TRASPORTO

L'area di studio è situata in zona centrale, presso il Castello, il grande parcheggio che lo contorna e l'area pedonale del centro storico; al contempo, le viabilità interessate alla realizzazione della nuova lottizzazione commerciale sono parte di una sorta di itinerario di circonvallazione interna al tessuto urbano, connettendo gli estremi opposti della città.

L'intersezione tra viale Lungo Po e viale Marconi è regolata a semplice precedenza alla viabilità principale con corsia di svolta in sinistra su viale Marconi, verso piazza Castello, come evidenziato nella seguente figura.



Figura 3: Intersezione tra viale Lungo Po e viale Marconi

L'intersezione tra viale Lungo Po e via XX Settembre, presso l'area mercatale, è regolamentata a rotatoria, completamente a raso come si può evincere dalla figura seguente.



Figura 4: Intersezione a rotatoria tra viale Lungo Po e via XX Settembre

Proseguendo lungo via XX Settembre, si è rilevata l'intersezione con piazza Castello, gestita tramite semplice precedenza alla viabilità principale, come si evidenzia nella figura seguente.



Figura 5: Intersezione tra via XX Settembre e piazza Castello

Ancora lungo via XX Settembre, si è rilevata l'intersezione con piazza Castello, gestita tramite semplice precedenza alla viabilità principale, come si evidenzia nella figura seguente.



Figura 6: Intersezione a rotatoria tra via XX Settembre, salita Sant'Anna e corso Manacorda

Su salita Sant'Anna, si è poi infine rilevata l'intersezione con via Bruno Buozzi, nei pressi del ponte esistente, regolata a semplice precedenza alla viabilità principale, come si evidenzia di seguito.



Figura 7: Intersezione tra salita Sant'Anna e via Bruno Buozzi, presso il ponte

3 CAMPAGNA DI RILEVAMENTO DEL TRAFFICO

Nella campagna di rilevamento dei flussi, relativamente alle intersezioni sopra descritte, sono stati contati i singoli movimenti di svolta, in modo da quantificare gli scambi tra i flussi di ciascuna viabilità. Ogni flusso diretto verso l'intersezione è suddiviso a seconda del movimento di svolta che effettua. I rilievi sono stati condotti da una squadra di operatori dotati di contacolpi manuali che, oltre a quantificare numericamente i flussi veicolari, hanno suddiviso il traffico nelle seguenti classi:

- veicoli leggeri;
- veicoli pesanti;
- autobus.

Il rilevamento è stato effettuato nelle ore di punta serali (17.00-19.00) nei giorni di venerdì 25 e sabato 26 novembre 2011; l'analisi dei dati ottenuti permette di individuare l'ora di punta e tutti gli altri aspetti necessari per procedere con la valutazione della viabilità nell'area di studio. Dai dati ottenuti si è verificato essere "critico" il venerdì 25 novembre 2011, il quale ha fatto rilevare il traffico più gravoso nell'intervallo orario delle 17.00-18.00; sulla base dei valori ad esso associati, si è proseguito con la successiva analisi e valutazione complessiva.

I dati rilevati sulle singole intersezioni stradali sono riportati nei paragrafi che seguono ove i veicoli sono stati conteggiati sia come "somma naturale" sia come "unità di veicoli equivalenti" (veq); queste ultime sono quelle che verranno poi utilizzate nelle verifiche funzionali successive e vengono calcolate attribuendo un peso doppio ad autobus e veicoli pesanti rispetto a quello attribuito ad una normale autovettura.

La differente esposizione dei dati, per intervalli di 15' e per intervalli orari, utilizza il confronto dei contributi delle singole strade in modo da ottenere un maggior dettaglio del comportamento del traffico sulla rete stradale interessata.

3.1 Movimenti di svolta all'intersezione tra viale Lungo Po e viale Marconi

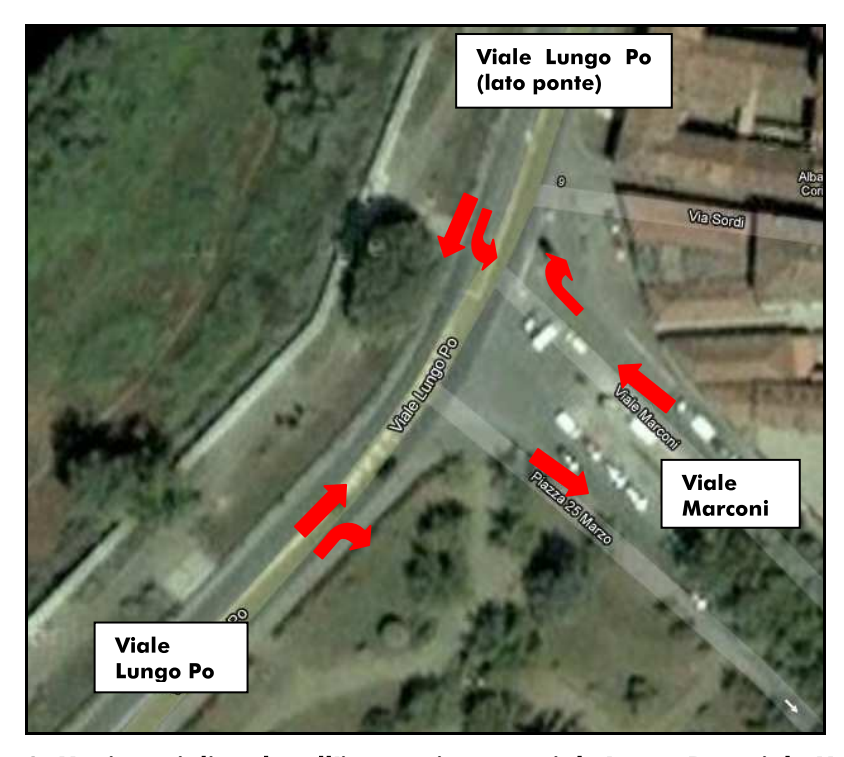


Figura 8: Movimenti di svolta all'intersezione tra viale Lungo Po e viale Marconi

In Tabella 1 sono riportati i valori dei flussi veicolari rilevati il 25-26 novembre, distinti per fascia oraria e per giorno di rilevamento, riportando al contempo i valori di flusso totale per l'intersezione.

VENERDÌ 25-11-2	011			17 00	- 17.15		17 1	5 - 17.30)		17 30	- 17.45			17.45 -	18 00)	Totale	17.00 - '	8 00	
ORIGINE	DIREZ.	DESTINAZIONE	LEGG		BUS	тот	LEGG PES		Тот	LEGG		BUS	тот	LEGG		BUS	тот	LEGGIPES		тот	V.ea.
Marconi	Dx	Lungo Po (ponte)	48	1	0	49		2 (_	0	0	40	39	0	0			_	173	176
Marconi		Tot.	48	1	0	49		2 (45	40	0	0	40	39	0	0	39	170	3	173	176
Lungo Po (ponte)	Dr	Lungo Po	183	0	0		210	2 (3	0	270	167	4	0		827	9	836	845
Lungo Po (ponte)	Sx	Marconi	57	0	1	58	82	0 0	82	87	0	0	87	65	0	2	67	291	0	3 294	297
Lungo Po (ponte)		Tot.	240	0	1	241	292	2 (294	354	3	0	357	232	4	2	238	1118	9	3 1130	1142
Lungo Po	Dx	Marconi	3	0	0	3	3	0 () 3	9	0	0	9	3	0	1	4	18	0	1 19	20
Lungo Po	Dr	Lungo Po (ponte)	178	0	0	178	196	1 (197	260	1	0	261	159	3	0	162	793	5	798	803
Lungo Po		Tot.	181	0	0	181	199	1 0	200	269	1	0	270	162	3	1	166	811	5	1 817	823
Tot.		Marconi	60	0	1	61	85	0 (85	96	0	0	96	68	0	3	71	309	0 -	4 313	317
Tot.		Lungo Po (ponte)	226	1	0	227	239	3 (242	300	1	0	301	198	3	0	201	963	8	971	979
Tot.		Lungo Po	183	0	0	183	210	2 (212	267	3	0	270	167	4	0	171	827	9	836	845
VENERDÌ 25-11-2	011			18.00	- 18.15		18.1	5 - 18.30)		18.30	- 18.45			18.45 -	19.00)	Totale	18.00 - 1	9.00	
ORIGINE	DIREZ.	DESTINAZIONE	LEGG	PES	BUS	TOT	LEGG PES	BUS	TOT	LEGG	PES	BUS	TOT	LEGG	PES	BUS	TOT	LEGG PES	BUS	TOT	V.eq.
Marconi	Dx	Lungo Po (ponte)	54	0	0	54	46	0 (46	54	0	0	54	43	0	0	43	197	0	197	197
Marconi		Tot.	54	0	0	54	46	0 (46	54	0	0	54	43	0	0	43	197	0	197	197
Lungo Po (ponte)	Dr	Lungo Po	192	0	0	192	202	0 (202	173	0	0	173	149	0	0	149	716	0	716	716
Lungo Po (ponte)	Sx	Marconi	50	0	0	50	52	0 0	52	43	0	2	45	39	0	2	41	184	0 -	4 188	192
Lungo Po (ponte)		Tot.	242	0	0	242	254	0 (254	216	0	2	218	188	0	2	190	900	0 -	4 904	908
Lungo Po	Dx	Marconi	2	0	0	2	5	0 () 5	4	0	0	4	4	0	0	4	15	0	15	15
Lungo Po	Dr	Lungo Po (ponte)	182	1	0	183	193	0 (193	166	0	0	166	152	0	0	152	693	1	694	695
Lungo Po		Tot.	184	1	0	185	198	0 (198	170	0	0	170	156	0	0	156	708	1	709	710
Tot.		Marconi	52	0	0	52	57	0 (57	47	0	2	49	43	0	2	45	199	0 -	4 203	207
Tot.		Lungo Po (ponte)	236	1	0	237	239	0 (239	220	0	0	220	195	0	0	195	890	1	891	892
Tot.		Lungo Po	192	0	0	192	202	0 (202	173	0	0	173	149	0	0	149	716	0	716	716

SABATO 26-11-20	11		1	7.00	- 17.15			17.15	- 17.30	1		17.30	- 17.45			17.45 -	18.00		Tota	le 17.	00 - 18	.00	
ORIGINE	DIREZ.	DESTINAZIONE	LEGG F	ES	BUS	TOT	LEGG	PES	BUS	тот	LEGG	PES	BUS	TOT	LEGG	PES	BUS	TOT	LEGG P	ES	BUS	TOT	V.eq.
Marconi	Dx	Lungo Po (ponte)	57	0	0	57	49	0	0	49	26	0	0	26	45	0	0	45	177	0	0	177	177
Marconi		Tot.	57	0	0	57	49	0	0	49	26	0	0	26	45	0	0	45	177	0	0	177	177
Lungo Po (ponte)	Dr	Lungo Po	209	1	0	210	215	0	0	215	186	0	0	186	212	0	0	212	822	1	0	823	824
Lungo Po (ponte)	Sx	Marconi	75	0	0	75	88	0	0	88	76	0	1	77	75	0	0	75	314	0	1	315	316
Lungo Po (ponte)		Tot.	284	1	0	285	303	0	0	303	262	0	1	263	287	0	0	287	1136	1	1	1138	1140
Lungo Po	Dx	Marconi	5	0	0	5	9	0	0	9	6	0	0	6	7	0	0	7	27	0	0	27	27
Lungo Po	Dr	Lungo Po (ponte)	210	1	2	213	204	0	0	204	179	0	0	179	193	0	0	193	786	1	2	789	792
Lungo Po		Tot.	215	1	2	218	213	0	0	213	185	0	0	185	200	0	0	200	813	1	2	816	819
Tot.		Marconi	80	0	0	80	97	0	0	97	82	0	1	83	82	0	0	82	341	0	1	342	343
Tot.		Lungo Po (ponte)	267	1	2	270	253	0	0	253	205	0	0	205	238	0	0	238	963	1	2	966	969
Tot.		Lungo Po	209	1	0	210	215	0	0	215	186	0	0	186	212	0	0	212	822	1	0	823	824
SABATO 26-11-20	11		1	8.00	- 18.15			18.15	- 18.30			18.30	- 18.45			18.45 -	19.00		Tota	le 18.	00 - 19	.00	
ORIGINE	DIREZ.	DESTINAZIONE	LEGG F	ES	BUS	TOT	LEGG	PES	BUS	TOT	LEGG	PES	BUS	тот	LEGG	PES	BUS	TOT	LEGG P	ES	BUS	TOT	V.eq.
Marconi	Dx	Lungo Po (ponte)	58	0	0	58	42	0	0	42	61	0	0	61	43	0	0	43	204	0	0	204	204
Marconi		Tot.	58	0	0	58	42	0	0	42	61	0	0	61	43	0	0	43	204	0	0	204	
Lungo Po (ponte)	Dr	Lungo Po	182	0	0	182	177	0	0	177	136	0	0	136	181	0	0	181	676	0	0	676	676
Lungo Po (ponte)	Sx	Marconi	83	0	0	83	70	0	0	70	61	0	2	63	63	0	0	63	277	0	2	279	281
Lungo Po (ponte)		Tot.	265	0	0	265	247	0	0	247	197	0	2	199	244	0	0	244	953	0	2	955	957
Lungo Po	Dx	Marconi	3	0	0	3	6	0	0	6	4	0	0	4	2	0	0	2	15	0	0	15	15
Lungo Po	Dr	Lungo Po (ponte)	173	0	0	173	160	0	0	160	133	0	0	133	174	0	0	174	640	0	0	640	640
Lungo Po		Tot.	176	0	0	176	166	0	0	166	137	0	0	137	176	0	0	176	655	0	0	655	655
Tot.		Marconi	86	0	0	86	76	0	0	76	65	0	2	67	65	0	0	65	292	0	2	294	
Tot.		Lungo Po (ponte)	231	0	0	231	202	0	0	202	194	0	0	194	217	0	0	217	844	0	0	844	844
Tot.		Lungo Po	182	0	0	182	177	0	0	177	136	0	0	136	181	0	0	181	676	0	0	676	676

Tabella 1: Movimenti di svolta rilevati all'intersezione tra viale Lungo Po e viale Marconi

Qui di seguito si riportano i grafici dei dati rilevati suddivisi per intervalli di 15'.

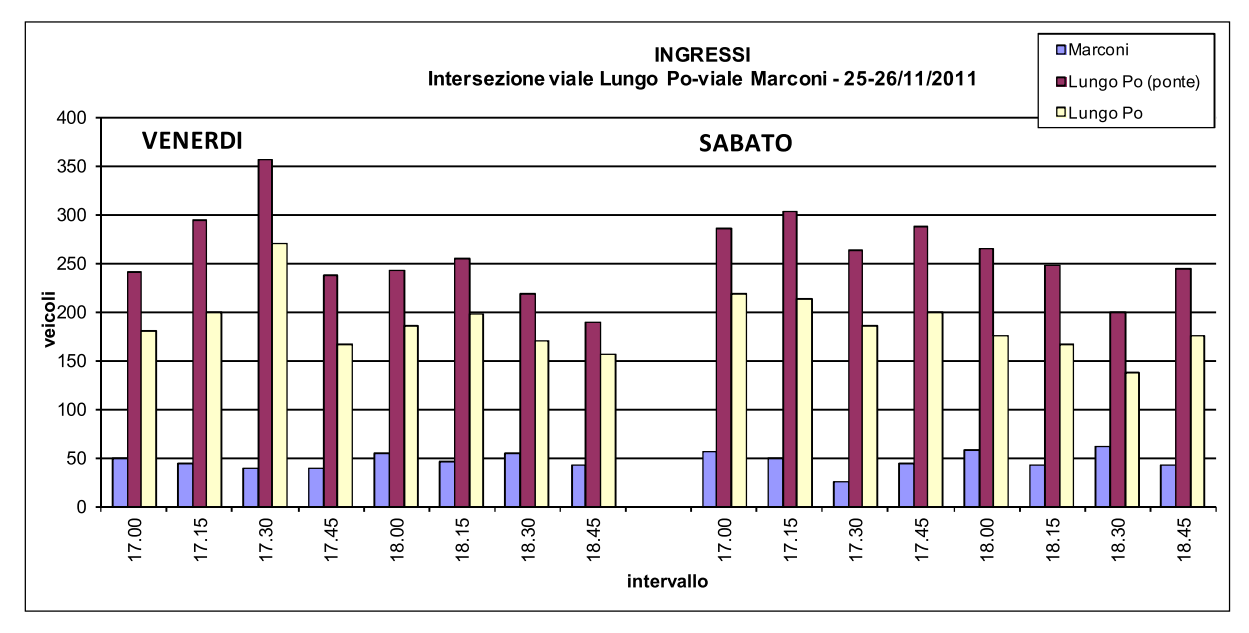


Grafico 1: Valori di flusso in ingresso all'intersezione tra viale Lungo Po e viale Marconi, diversificati per strada di provenienza

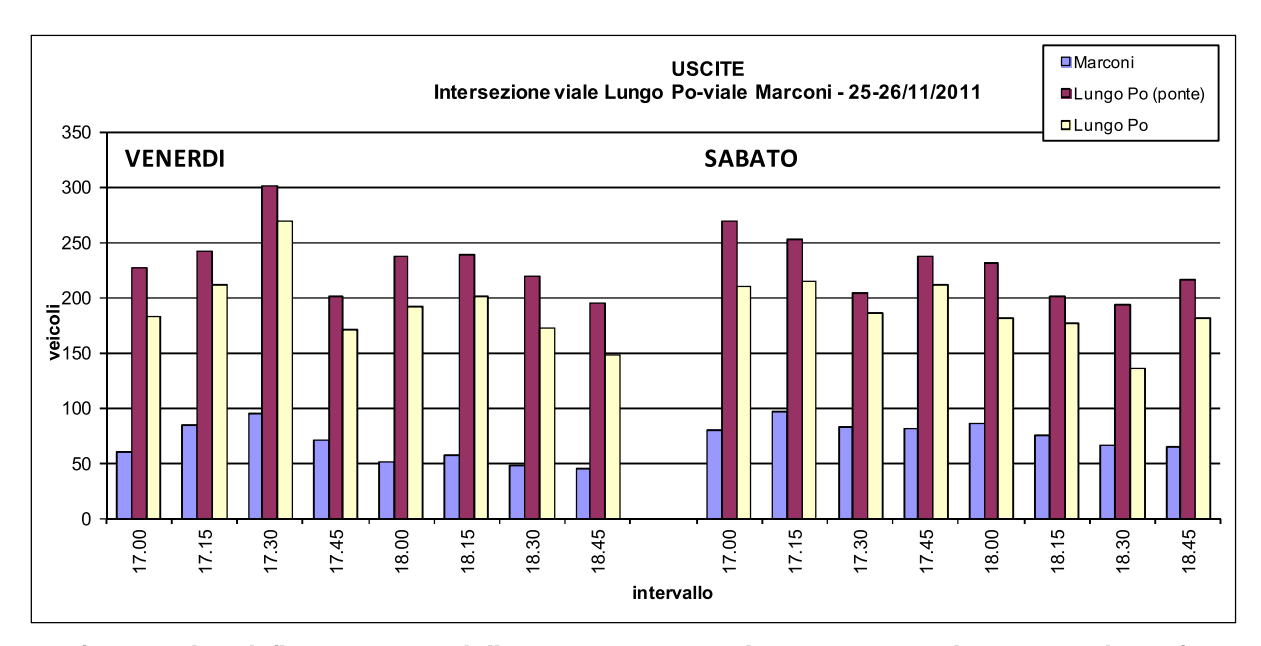


Grafico 2: Valori di flusso in uscita dall'intersezione tra viale Lungo Po e viale Marconi, diversificati per strada di provenienza

Viene quindi riportata l'esposizione dei dati per intervalli orari.

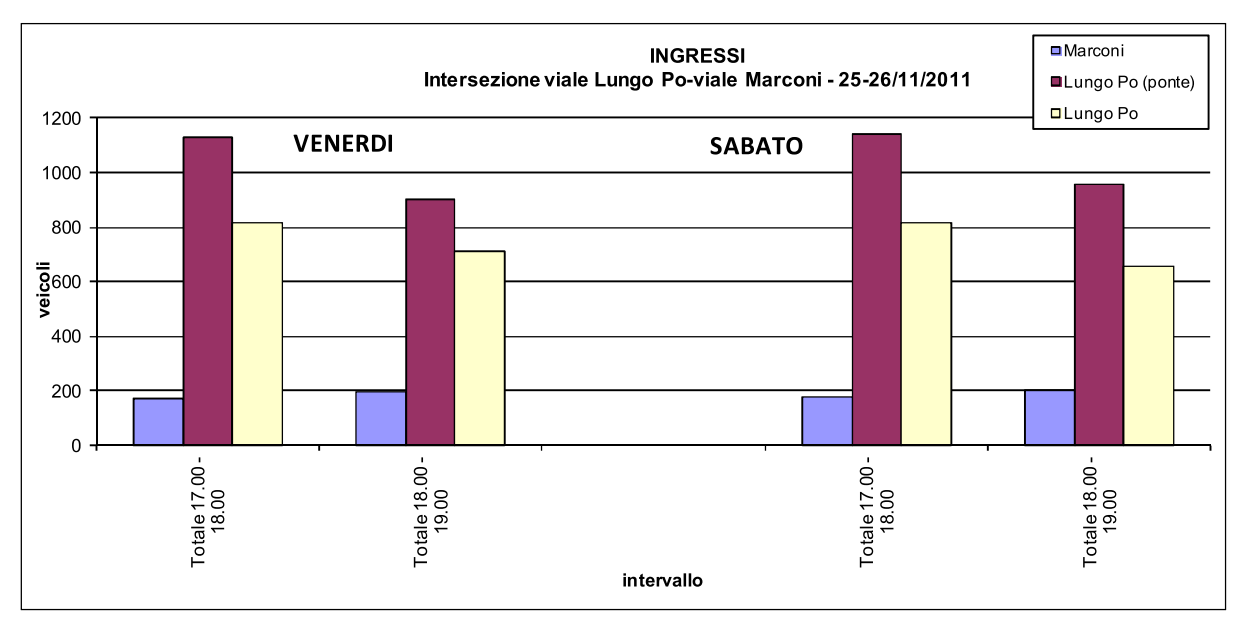


Grafico 3: Valori di flusso orari in ingresso all'intersezione tra viale Lungo Po e viale Marconi, diversificati per strada di provenienza

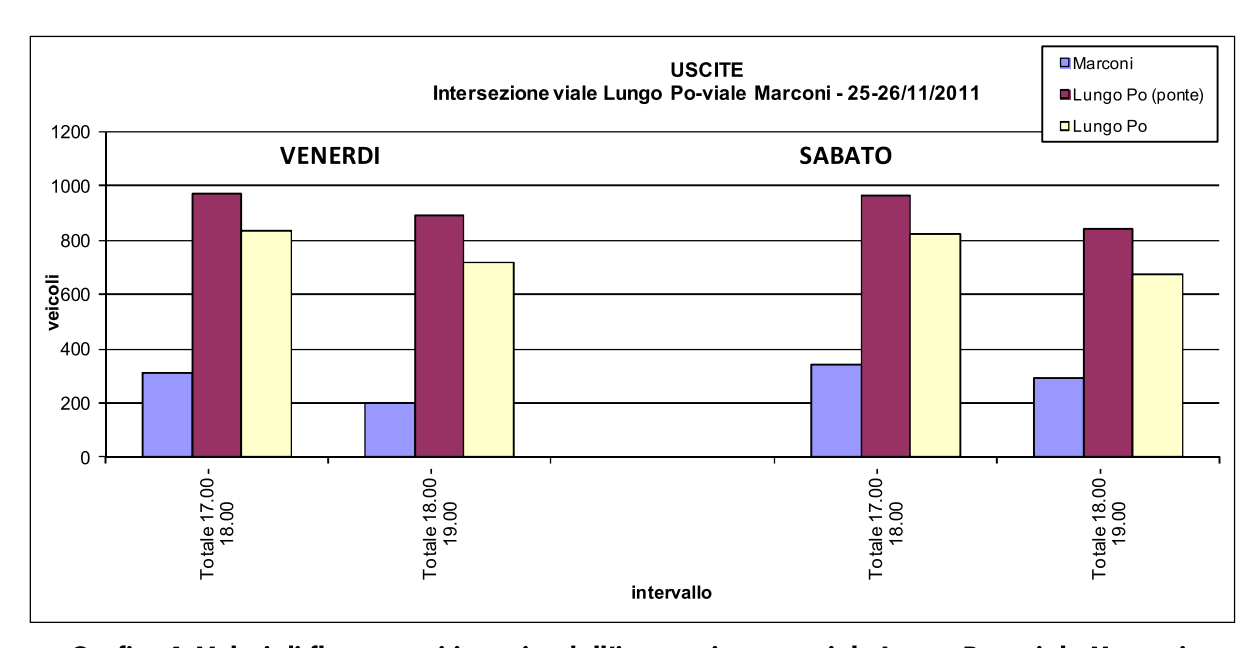


Grafico 4: Valori di flusso orari in uscita dall'intersezione tra viale Lungo Po e viale Marconi, diversificati per strada di provenienza

3.2 Movimenti di svolta all'intersezione tra viale Lungo Po e via XX Settembre



Figura 9: Movimenti di svolta all'intersezione tra viale Lungo Po e via XX Settembre

In Tabella 2 sono riportati i valori dei flussi veicolari rilevati, distinti per fascia oraria e per giorno di rilevamento.

VENERDÌ 25-11-	2011			17.00 -	17.15			17.15	- 17.30			17.30 ·	17.45			17.45 - 1	8.00		Totale 1	7.00 - 1	8.00	
ORIGINE	DIREZ.	DESTINAZIONE	LEGG		BUS	тот	LEGG		BUS	Ітот	LEGG			тот	LEGG			тот	LEGG PES	IBUS	Тот	V.eq.
Lungo Po	Dx	XX Settembre (periferia)	32	0	0	32	36	0			41	0	0	41	32	2	0	34		2 (145
Lungo Po	Sx	XX Settembre	151	0	0	151	156	1			163	0	0	163	170	1	0	171			642	
Lungo Po		Tot.	183	0	0	183	192	1	0		204	0	0	204	202	3	0	205			785	789
XX Settembre (pe	eri Dr	XX Settembre	47	0	0	47	41	1	0		33	0	0	33		0	0	31		1 (153	154
XX Settembre (pe		Lungo Po	36	2	0	38	36	1	0		30	1	0	31	25	0	0	25	127	4 (131	135
XX Settembre (pe		Tot.	83	2	0	85	77	2	0		63	1	0	64	56	0	0	56			284	289
XX Settembre	Dx	Lungo Po	177	0	0	177	164	5			212	2	0	214		2	0	181			741	750
XX Settembre	Dr	XX Settembre (periferia)	70	0	0	70	66	0	0		63	0	0	63	64	0	0	64	263	0 (263
XX Settembre		Tot.	247	0	0	247	230	5			275	2	0	277	243	2	0	245			1004	1013
Tot.		Lungo Po	213	2	0	215	200	6			242	3	0	245		2	0	206	859 1		872	885
Tot.		XX Settembre (periferia)	102	0	0	102	102	0			104	0	0	104	96	2	0	98			406	
Tot.		XX Settembre	198	0	0	198	197	2			196	0	0	196		1	0	202			795	
700		74400401111110	100			100	701			100	100			100	201					,	7 730	700
VENERDÌ 25-11-	2011			18.00 -	18.15			18.15	- 18.30			18.30 ·	18.45			18.45 - 1	9.00		Totale 1	8.00 - 1	9.00	
ORIGINE	DIREZ.	DESTINAZIONE	LEGG			тот	LEGG		BUS	Тот	LEGG		BUS		LEGG			тот	LEGG PES	Bus	ТОТ	V.eq.
Lungo Po	Dx	XX Settembre (periferia)	37	1	0	38	57	0			37	0	0	37	36	0	0	36	167		168	169
Lungo Po	Sx	XX Settembre	136	0	0	136	157	0	0		131	0	0	131	130	0	0	130	554	0 (554	554
Lungo Po		Tot.	173	1	0	174	214	0	0		168	0	0	168	166	0	0	166			722	723
XX Settembre (pe	eri Dr	XX Settembre	32	0	0	32	29	0			22	0	0			2	0	32			115	117
XX Settembre (pe		Lungo Po	24	1	0	25	30	1	0		26	1	0		24	0	0	24	104	3 (107	110
XX Settembre (pe		Tot.	56	1	0	57	59	1			48	1	0	49	54	2	0	56			222	227
XX Settembre	Dx	Lungo Po	188	0	0	188	199	0			148	1	0	149		0	0	151			687	688
XX Settembre	Dr	XX Settembre (periferia)	79	0	0	79	79	0	0		63	0	0	63	46	0	0	46	267	0 (267	267
XX Settembre		Tot.	267	0	0	267	278	0	0		211	1	0	212	197	0	0	197	953	1 (954	955
Tot.		Lungo Po	212	1	0	213	229	1			174	2	0	176	175	0	0	175		4 (798
Tot.		XX Settembre (periferia)	116	1	0	117	136	0			100	0	0	100	82	0	0	82			435	
Tot.		XX Settembre	168	0	0	168	186	0			153	0	0	153	160	2	0	162			669	
																		•				
SABATO 26-11-2	2011			17.00 -	- 17.15			17.15	- 17.30)		17.30	17.45)		17.45 - 1	8.00		Totale 1	7.00 - 1	18.00	
ORIGINE	DIREZ.	DESTINAZIONE	LEGG	PES	BUS	TOT	LEGG	PES	BUS	тот	LEGG	PES	BUS	тот	LEGG	PES B	US	тот	LEGG PES	BUS	тот	V.eq.
Lungo Po	Dx	XX Settembre (periferia)	35	0	0	35	23	C	C	23	28	0	0	28	26	0	0	26	112	0	0 112	112
Lungo Po	Sx	XX Settembre	169	1	0	170	167	1	C	168	164	0	0	164	153	1	0	154	653	3	0 656	659
Lungo Po		Tot.	204	1	0	205	190	1	0	191	192	0	0	192	179	1	0	180	765	3	0 768	771
XX Settembre (pe	eri Dr	XX Settembre	35	0	0	35	40	C) C	40	32	0	0	32	34	0	0	34	141	0	0 141	141
XX Settembre (pe	eri Sx	Lungo Po	46	1	0	47	41	C) C	41	35	1	0	36	45	0	0	45	167	2	0 169	171
XX Settembre (pe	eriferia)	Tot.	81	1	0		81	0	0		67	1	0			0	0	79	308	2	0 310	
XX Settembre	Dx	Lungo Po	189	0	0			C) C		183	0	0			0	0	172			728	
XX Settembre	Dr	XX Settembre (periferia)	47	0	0			C) C		41	1	0			1	0	52	185	2	0 187	
XX Settembre		Tot.	236	0	0			0	0		224	1	0			1	0	224	913	2	0 915	
Tot.		Lungo Po	235	1	0			C) (218	1	0			0	0	217			0 897	899
Tot		W Sattambra (nariforia)		0		-00		r			60	- 1	0			4	0	70			200	204

XX Settembre	Dx	Lungo Po	189	0	0	189	184	0	0	184	183	0	0	183	172	0	0	172	728	0	0	728	728
XX Settembre	Dr	XX Settembre (periferia)	47	0	0	47	46	0	0	46	41	1	0	42	51	1	0	52	185	2	0	187	189
XX Settembre		Tot.	236	0	0	236	230	0	0	230	224	1	0	225	223	1	0	224	913	2	0	915	917
Tot.		Lungo Po	235	1	0	236	225	0	0	225	218	1	0	219	217	0	0	217	895	2	0	897	899
Tot.		XX Settembre (periferia)	82	0	0	82	69	0	0	69	69	1	0	70	77	1	0	78	297	2	0	299	301
Tot.		XX Settembre	204	1	0	205	207	1	0	208	196	0	0	196	187	1	0	188	794	3	0	797	800
SABATO 26-11-2	2011			18.00	- 18.15		1	8.15 -	- 18.30			18.30	- 18.45			18.45	- 19.00		Tota	ale 18	.00 - 19	.00	
ORIGINE	DIREZ.	DESTINAZIONE	LEGG	PES	BUS	TOT	LEGG P	ES	BUS	TOT	LEGG	PES	BUS	TOT	LEGG	PES	BUS	TOT	LEGG	PES	BUS	TOT	V.eq.
Lungo Po	Dx	XX Settembre (periferia)	29	0	0	29	42	0	0	42	25	0	0	25	31	0	0	31	127	0	0	127	127
Lungo Po	Sx	XX Settembre	152	1	0	153	145	0	0	145	124	0	0	124	146	0	0	146	567	1	0	568	569
Lungo Po		Tot.	181	1	0	182	187	0	0	187	149	0	0	149	177	0	0	177	694	1	0	695	696
XX Settembre (pe	ri Dr	XX Settembre	28	0	0	28	31	0	0	31	28	0	0	28	42	1	0	43	129	1	0	130	131
XX Settembre (pe	ri Sx	Lungo Po	31	0	0	31	33	0	0	33	23	0	0	23	25	0	0	25	112	0	0	112	112
XX Settembre (pe	riferia)	Tot.	59	0	0	59	64	0	0	64	51	0	0	51	67	1	0	68	241	1	0	242	243
XX Settembre	Dx	Lungo Po	147	0	0	147	168	0	0	168	178	0	0	178	148	0	0	148	641	0	0	641	641
XX Settembre	Dr	XX Settembre (periferia)	43	0	0	43	46	0	0	46	44	0	0	44	44	0	0	44	177	0	0	177	177
XX Settembre		Tot.	190	0	0	190	214	0	0	214	222	0	0	222	192	0	0	192	818	0	0	818	818
Tot.		Lungo Po	178	0	0	178	201	0	0	201	201	0	0	201	173	0	0	173	753	0	0	753	753
Tot.		XX Settembre (periferia)	72	0	0	72	88	0	0	88	69	0	0	69	75	0	0	75	304	0	0	304	304
Tot.		XX Settembre	180	1	0	181	176	0	0	176	152	0	0	152	188	1	0	189	696	2	0	698	700

Tabella 2: Movimenti di svolta rilevati all'intersezione tra viale Lungo Po e via XX Settembre

Qui di seguito si riportano i grafici dei dati rilevati suddivisi per intervalli di 15'.

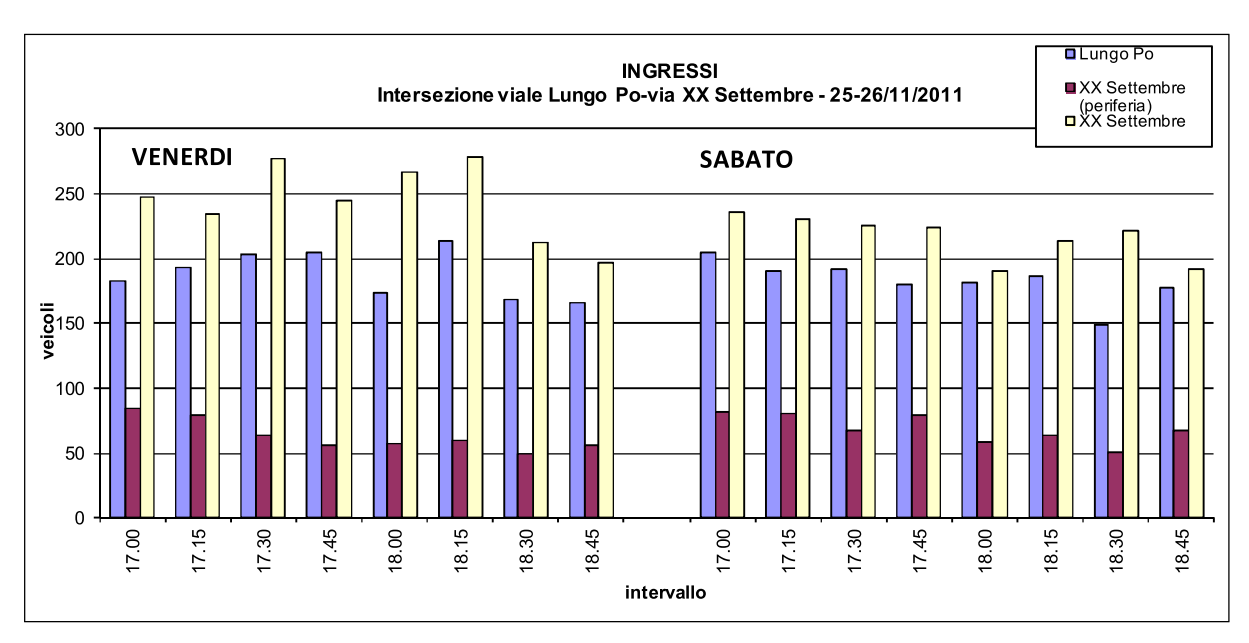


Grafico 5: Valori di flusso in ingresso all'intersezione tra viale Lungo Po e via XX Settembre, diversificati per strada di provenienza

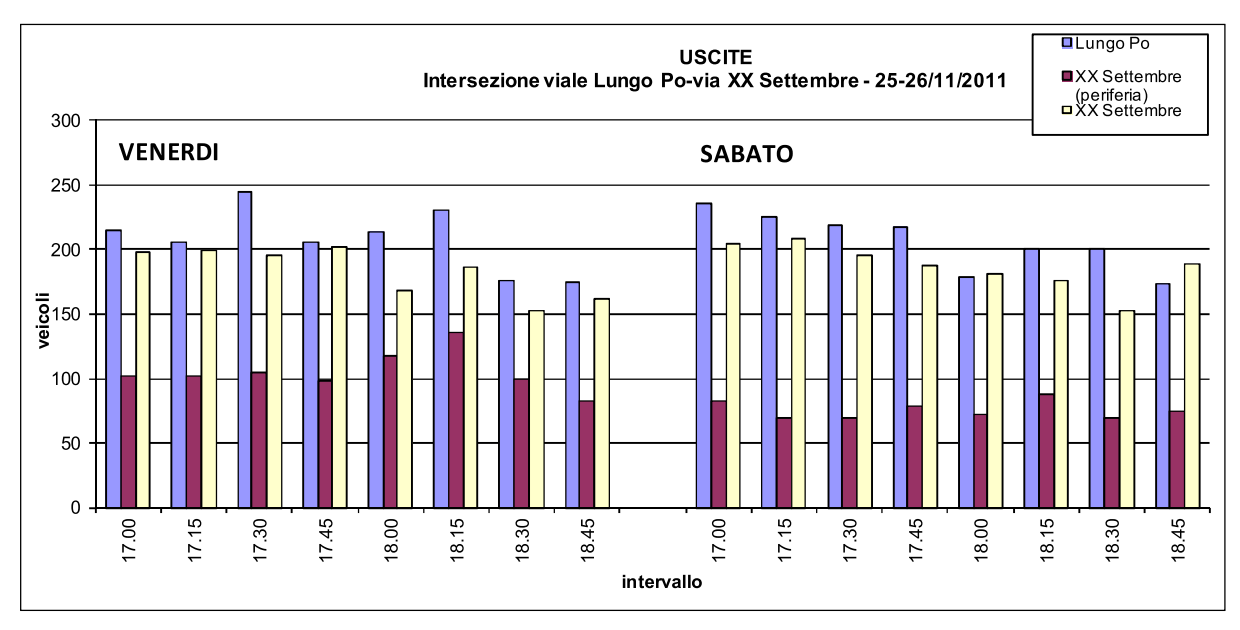


Grafico 6: Valori di flusso in uscita dall'intersezione tra viale Lungo Po e via XX Settembre, diversificati per strada di provenienza

Viene quindi riportata l'esposizione dei dati per intervalli orari.

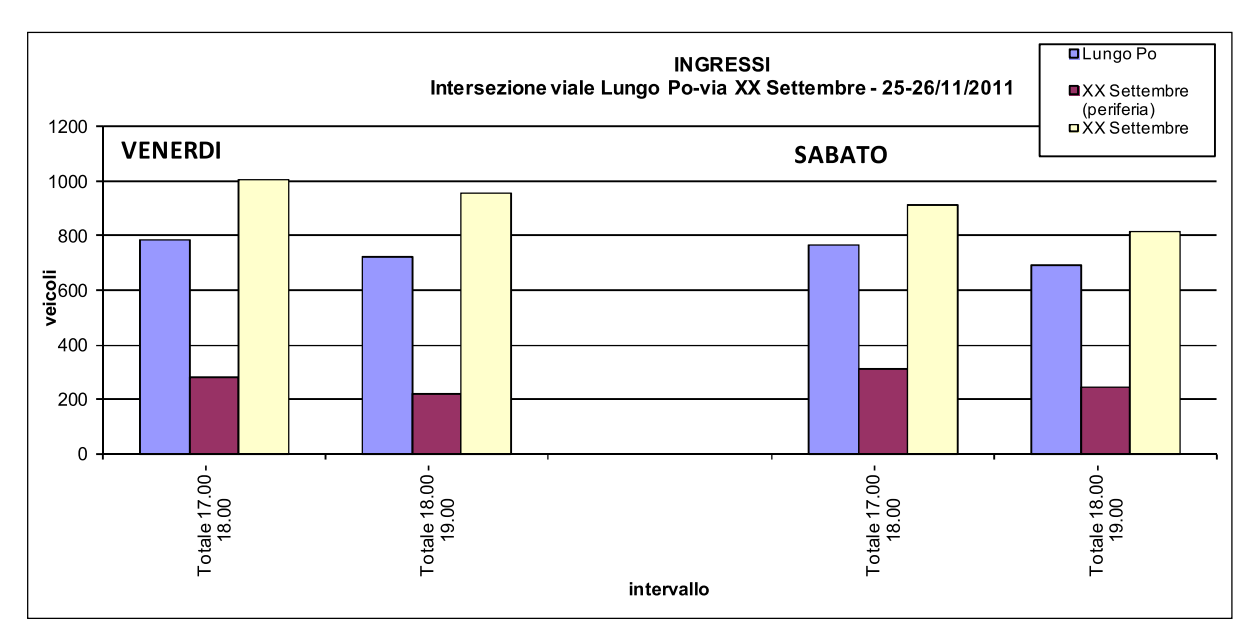


Grafico 7: Valori di flusso orari in ingresso all'intersezione tra viale Lungo Po e via XX Settembre, diversificati per strada di provenienza

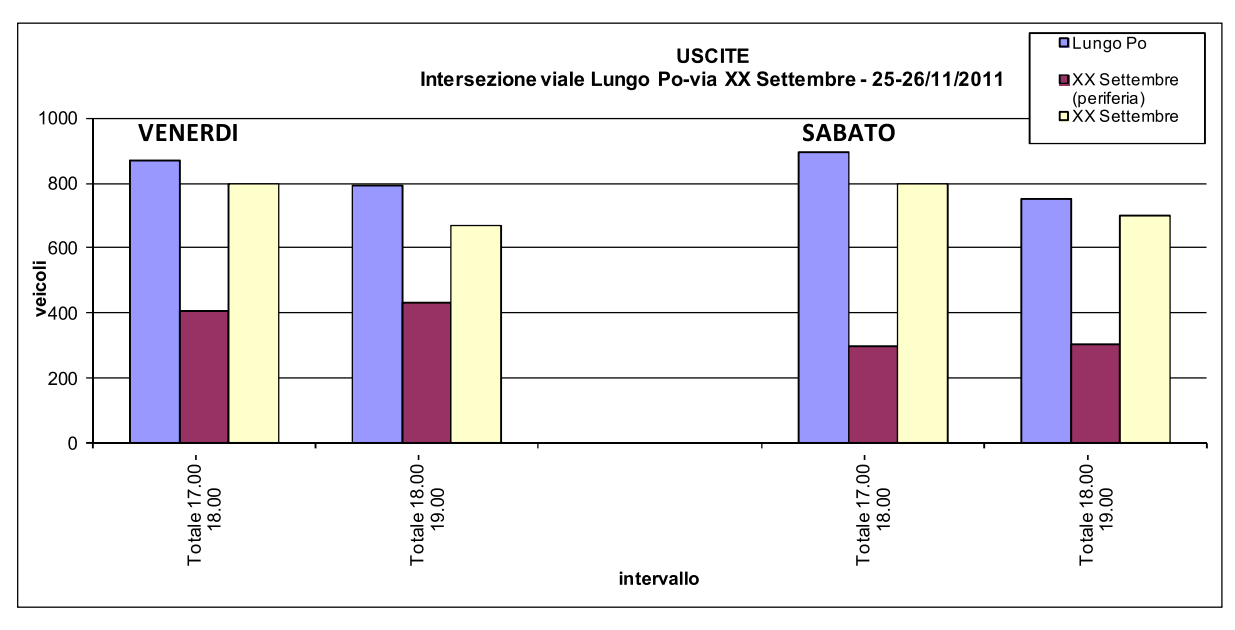


Grafico 8: Valori di flusso orari in uscita dall'intersezione tra viale Lungo Po e via XX Settembre, diversificati per strada di provenienza

3.3 Movimenti di svolta all'intersezione tra via XX Settembre, piazza Castello e corso Manacorda



Figura 10: Movimenti di svolta all'intersezione tra via XX Settembre, piazza Castello e corso Manacorda

In Tabella 3 sono riportati i valori dei flussi veicolari rilevati, distinti per fascia oraria e per giorno di rilevamento.

VENERDÌ 25-11-2	011			17.00	- 17.15		17.1	5 - 17.30		17.:	30 - 17.45	j	17.45	5 - 18.00)	Tota	le 17.0	00 - 18	.00	
ORIGINE	DIREZ.	DESTINAZIONE	LEGG	PES	BUS	TOT	LEGG PES	BUS	TOT	LEGG PE	BUS	TOT	LEGG PES	BUS	TOT	LEGG P	PES I	BUS	TOT	V.eq.
corso Manacorda	Dx	Piazza Castello	111	0	0	111	113	0 0	113	105	0 0	105	96	0 0	96	425	0	0	425	425
corso Manacorda	Sx	XX settembre	206	1	0	207	220	5 0	225	257	2 0	259	230	3 0	233	913	11	0	924	935
corso Manacorda		Tot.	317	1	0	318	333	5 0	338	362	2 0	364	326	3 0	329	1338	11	0	1349	1360
Piazza Castello	Dr	XX settembre	64	0	0	64	50	0 0	50	56	0 0	56	67	0 0	67	237	0	0	237	237
Piazza Castello		Tot.	64	0	0	64	50	0 0	50	56	0 0	56	67	0 0	67	237	0	0	237	237
XX settembre	Dx	corso Manacorda	212	0	0	212	221	2 0	223	230	1 0	231	223	2 0	225	886	5	0	891	896
XX settembre		Tot.	212	0	0	212	221	2 0	223	230	1 0	231	223	2 0	225	886	5	0	891	896
Tot.		corso Manacorda	212	0	0	212	221	2 0	223	230	1 0	231	223	2 0	225	886	5	0	891	896
Tot.		Piazza Castello	111	0	0	111	113	0 0	113	105	0 0	105	96	0 0	96	425	0	0	425	425
Tot.		XX settembre	270	1	0	271	270	5 0	275	313	2 0	315	297	3 0	300	1150	11	0	1161	1172
														Ì						
VENERDÌ 25-11-2	011			18.00	- 18.15		18.1	5 - 18.30		18.3	30 - 18.45	;	18.45	5 - 19.00)	Tota	le 18.0	00 - 19	.00	
ORIGINE	DIREZ.	DESTINAZIONE	LEGG	PES	BUS	TOT	LEGG PES	BUS	TOT	LEGG PES	BUS	TOT	LEGG PES	BUS	TOT	LEGG P	PES	BUS	TOT	V.eq.
corso Manacorda	Dx	Piazza Castello	97	0	0	97	87	0 0	87	96	0 0	96	84	0 0	84	364	0	0	364	364
corso Manacorda	Sx	XX settembre	219	0	0	219	230	0 0	230	207	2 0	209	204	0 0	204	860	2	0	862	864
corso Manacorda		Tot.	316	0	0	316	317	0 0	317	303	2 0	305	288	0 0	288	1224	2	0	1226	1228
Piazza Castello	Dr	XX settembre	50	0	0	50	72	0 0	72	55	0 0	55	54	0 0	54	231	0	0	231	231
Piazza Castello		Tot.	50	0	0	50	72	0 0	72	55	0 0	55	54	0 0	54	231	0	0	231	231
\\\ +4 l	Dx	corso Manacorda	186	1	0	187	200	0 0	200	171	1 0	172	167	1 0	168	724	3	0	727	730
XX settembre	D.X																			700
XX settembre XX settembre	<i>D</i> X	Tot.	186	1	0	187	200	0 0	200	171	1 0	172	167	1 0	168	724	3	0	727	730
			186 186	1	0	187 187	200 200	0 0		171 171	1 0		167 167	1 0 1 0		724 724	3	0	727 727	730
XX settembre		Tot.		1 1 0	0							172	167		168			0 0 0		730

SABATO 26-11-20)11		1	17.00	- 17.15			17.15	- 17.30			17.30	- 17.45	,		17.45 ·	- 18.00		Totale	17.00 - 1	8.00	
ORIGINE	DIREZ.	DESTINAZIONE	LEGG F	PES	BUS	TOT	LEGG	PES	BUS	TOT	LEGG	PES	BUS	TOT	LEGG	PES	BUS	тот	LEGG PES	BUS	TOT	V.eq.
corso Manacorda	Dx	Piazza Castello	131	1	0	132	105	1	0	106	98	0	0	98	99	1	0	100	433	3 (436	439
corso Manacorda	Sx	XX settembre	165	2	0	167	209	0	0	209	194	1	0	195	215	1	0	216	783	4 (787	791
corso Manacorda		Tot.	296	3	0	299	314	1	0	315	292	1	0	293	314	2	0	316	1216	7 (1223	1230
Piazza Castello	Dr	XX settembre	50	0	0	50	41	1		42	48	0	0	48	43	0	0	43	182	1 (183	184
Piazza Castello		Tot.	50	0	0	50	41	1	0	42	48	0	0	48	43	0	0	43	182	1 (183	184
XX settembre	Dx	corso Manacorda	175	1	0	176	232	0	1	233	192	1	0	193	238	1	0	239	837	3 ′	841	845
XX settembre		Tot.	175	1	0	176	232	0	1	233	192	1	0	193	238	1	0	239	837	3 ′	841	845
Tot.		corso Manacorda	175	1	0	176	232	0	1	233	192	1	0	193	238	1	0	239	837	3 ′	841	845
Tot.		Piazza Castello	131	1	0	132	105	1	0	106	98	0	0	98	99	1	0	100	433	3 (436	439
Tot.		XX settembre	215	2	0	217	250	1	0	251	242	1	0	243	258	1	0	259	965	5 (970	975
SABATO 26-11-20)11		1	8.00	- 18.15			18.15	- 18.30			18.30	- 18.45	,		18.45 ·	- 19.00		Totale	18.00 - 1	9.00	
ORIGINE	DIREZ.	DESTINAZIONE	LEGG F	PES	BUS	TOT	LEGG	PES	BUS	TOT	LEGG	PES	BUS	TOT	LEGG	PES	BUS	TOT	LEGG PES	BUS	TOT	V.eq.
corso Manacorda	Dx	Piazza Castello	101	0	0	101	92	0	0	92	88	0	0	88	86	0	0	86	367	0 (367	367
corso Manacorda	Sx	XX settembre	140	0	0	140	184	0	0	184	219	0	0	219	163	1	0	164	706	1 (707	708
corso Manacorda		Tot.	241	0	0	241	276	0	0	276	307	0	0	307	249	1	0	250	1073	1 (1074	1075
Piazza Castello	Dr	XX settembre	66	0	0	66	55	0	0	55	47	0	0	47	47	0	0	47	215	0 (215	215
Piazza Castello		Tot.	66	0	0	66	55	0	0	55	47	0	0	47	47	0	0	47	215	0 (215	215
XX settembre	Dx	corso Manacorda	149	1	0	150	201	0	0	201	168	0	0	168	204	1	0	205	722	2 (724	726
XX settembre		Tot.	149	1	0	150	201	0	0	201	168	0	0	168	204	1	0	205	722	2 (724	726
Tot.		corso Manacorda	149	1	0	150	201	0	0	201	168	0	0	168	204	1	0	205	722	2 (724	726
Tot.		Piazza Castello	101	0	0	101	92	0	0	92	88	0	0	88	86	0	0	86	367	0 (367	367
Tot.		XX settembre	206	0	0	206	239	0	0	239	266	0	0	266	210	1	0	211	921	1 (922	923

Tabella 3: Movimenti di svolta rilevati all'intersezione tra via XX Settembre, piazza Castello e corso Manacorda

Qui di seguito si riportano i grafici dei dati rilevati suddivisi per intervalli di 15'.

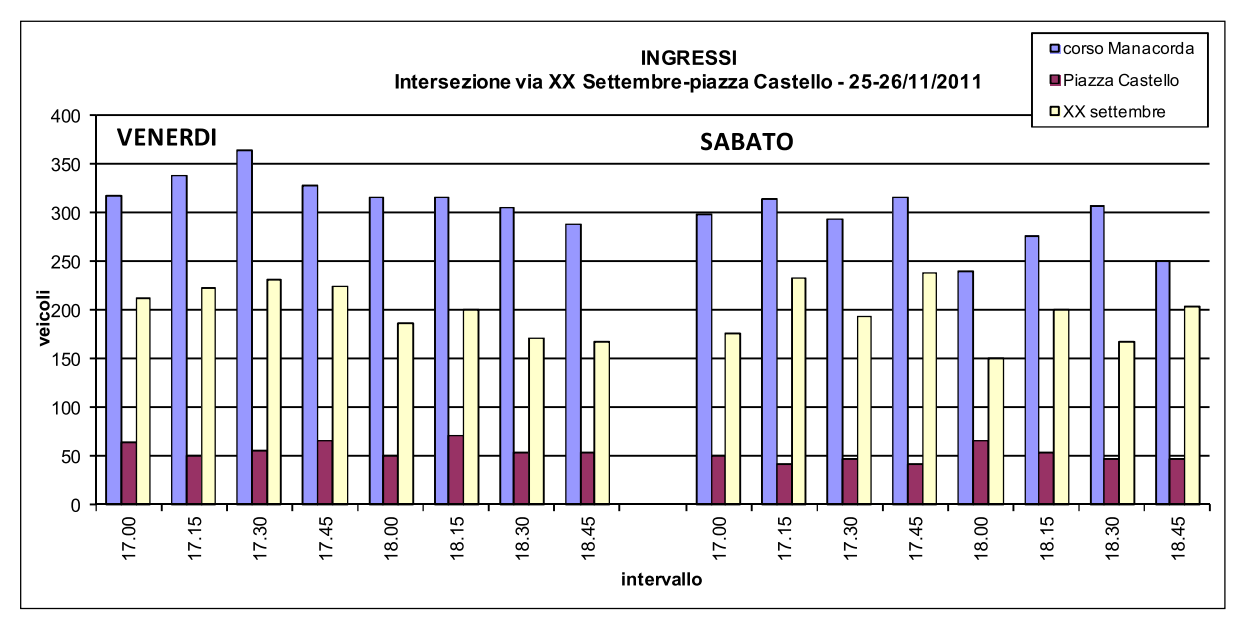


Grafico 9: Valori di flusso in ingresso all'intersezione tra via XX Settembre, piazza Castello e corso Manacorda, diversificati per strada di provenienza

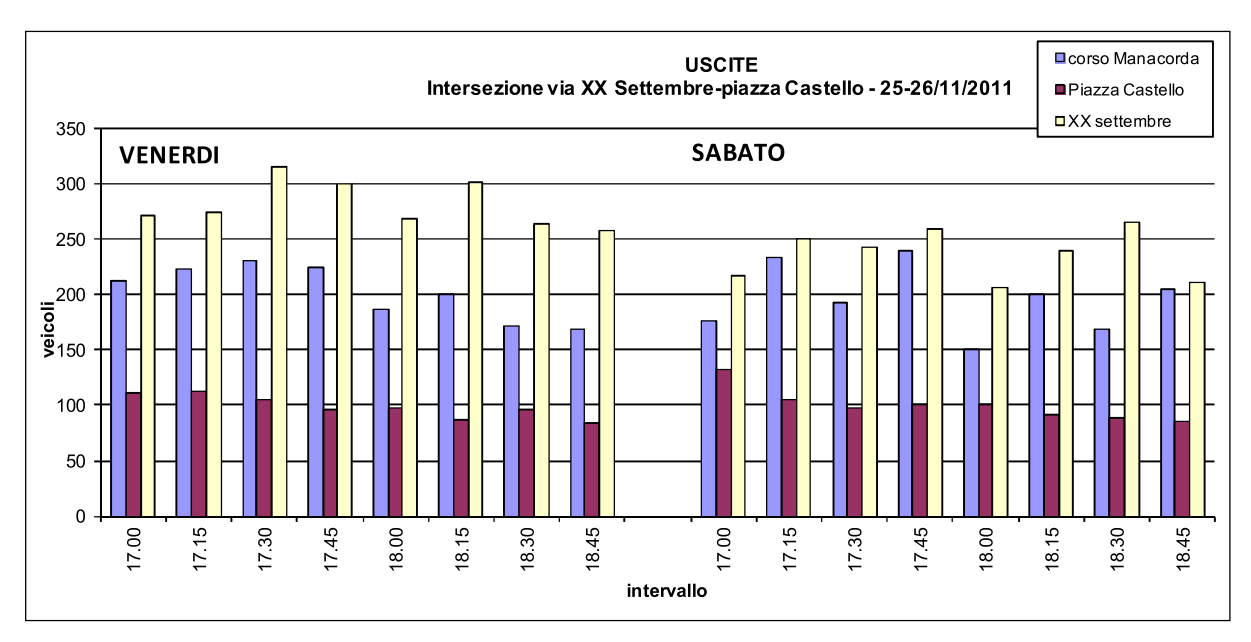


Grafico 10: Valori di flusso in uscita dall'intersezione tra via XX Settembre, piazza Castello e corso Manacorda, diversificati per strada di provenienza

Viene quindi riportata l'esposizione dei dati per intervalli orari.

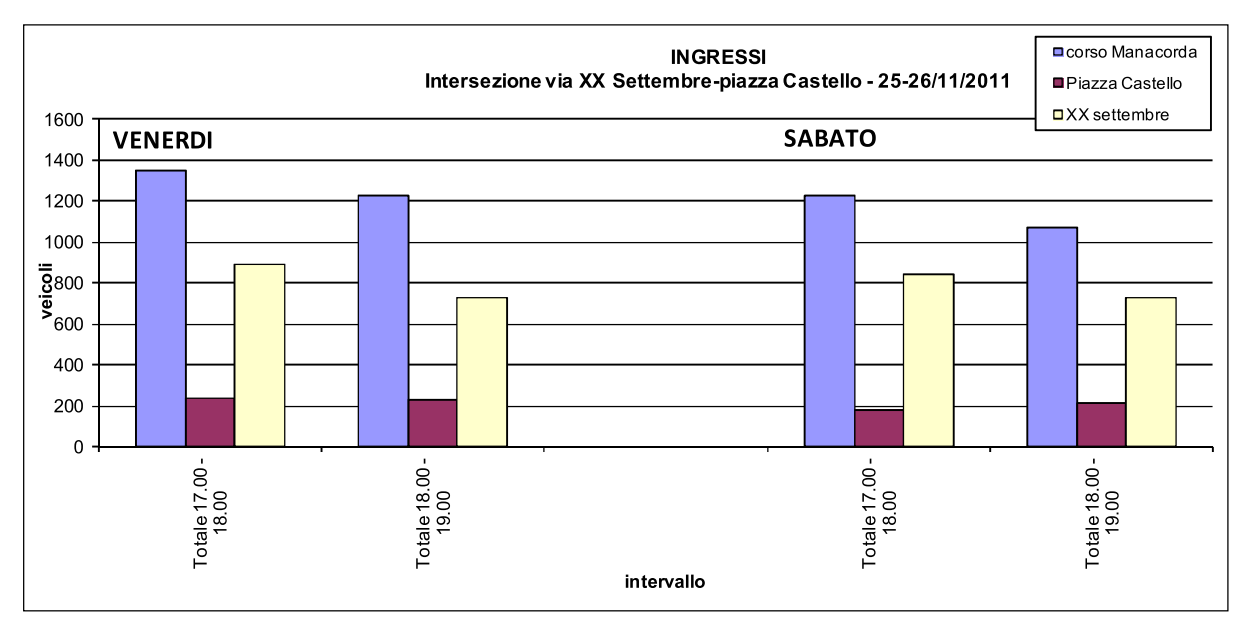


Grafico 11: Valori di flusso orari in ingresso all'intersezione tra via XX Settembre, piazza Castello e corso Manacorda, diversificati per strada di provenienza

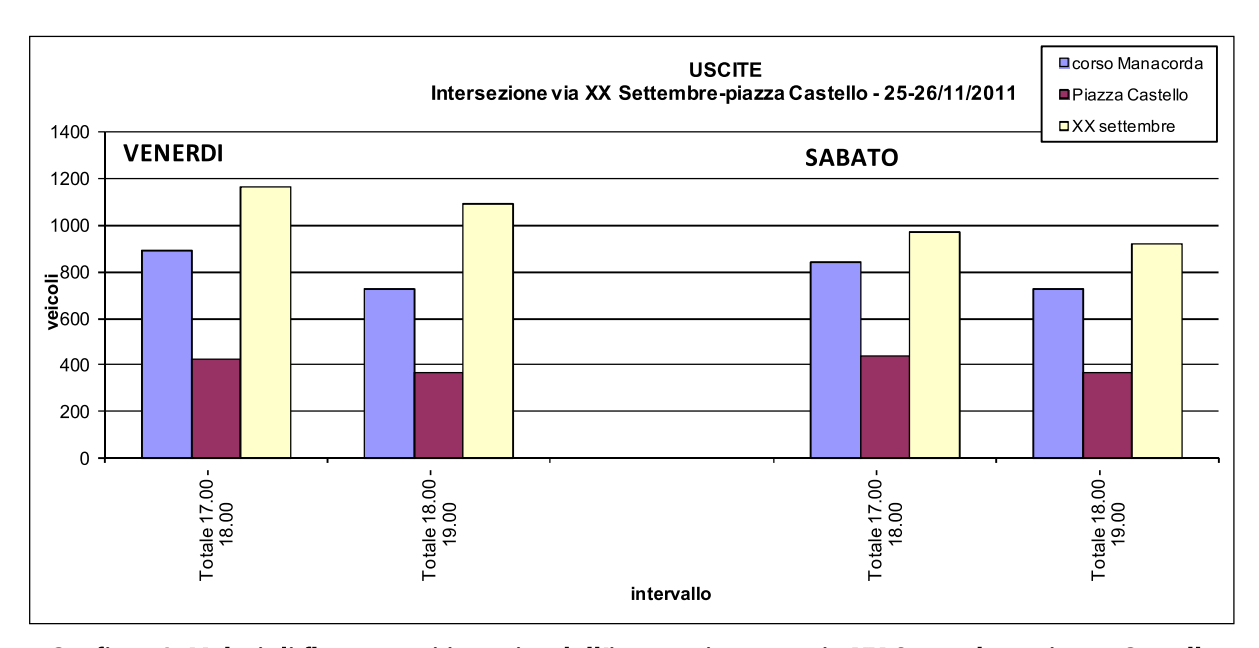


Grafico 12: Valori di flusso orari in uscita dall'intersezione tra via XX Settembre, piazza Castello e corso Manacorda, diversificati per strada di provenienza

3.4 Movimenti di svolta all'intersezione tra corso Manacorda, piazza Castello e salita Sant'Anna



Figura 11: Movimenti di svolta all'intersezione tra corso Manacorda, piazza Castello e salita Sant'Anna

In Tabella 4 sono riportati i valori dei flussi veicolari rilevati, distinti per fascia oraria e per giorno di rilevamento.

VENERDÌ 25-11-2	011		1	7.00 ·	- 17.15		17.	15 - 17.	30		17.30	- 17.45			17.45	- 18.00)	Totale	17.00 -	18.00	
ORIGINE	DIREZ.	DESTINAZIONE	LEGG	ES	BUS	тот	LEGG PE	s Bus	тот	LEGG	PES	BUS	тот	LEGG	PES	BUS	тот	LEGGIPE	s Bus	тот	V.ec
Corso Manacorda	Dx	piazza Castello	120	0	0	120	98	0	0 98	109	0	0	109	116	2	2 (118	443	2	0 44	
Corso Manacorda	Sx	Salita S.Anna	10	0	0	10	8	0	0 8	10	0	0	10	9	C) (9	37	0	0 37	
Corso Manacorda		Tot.	130	0	0	130	106	0	0 106	119	0	0	119	125	2	. (127	480	2	0 482	
piazza Castello	Dr	Salita S.Anna	145	2	0	147	129	1	0 130	134	2	0	136	122	C) (530	5	0 53	
piazza Castello	Sx	Corso Manacorda	97	0	0	97	60	1	0 61		1	0	63	42	1	(261	3	0 264	
piazza Castello		Tot.	242	2	0	244	189	2	0 191	196	3	0	199	164	1	(165	791	8	0 799	
Salita S.Anna	Dx	Corso Manacorda	8	0	0	8	8	0	0 8	8	1	0	9	6	C) (6	30	1	0 3	1 ;
Salita S.Anna	Dr	piazza Castello	194	3	0	197	199	2	0 201	192	2	0	194	181	1	(182	766	8	0 774	4 7
Salita S.Anna		Tot.	202	3	0	205	207	2	0 209	200	3	0	203	187	1	(188	796	9	0 80	5 8 [.]
Tot.		Corso Manacorda	105	0	0	105	68	1	0 69	70	2	0	72	48	1	(49	291	4	0 29	5 29
Tot.		piazza Castello	314	3	0	317	297	2	0 299	301	2	0	303	297	3	3 (300	1209	10	0 1219	122
Tot.		Salita S.Anna	155	2	0	157	137	1	0 138	144	2	0	146	131	C) (131	567	5	0 572	2 5
VENERDÌ 25-11-2	011		1	8.00 -	- 18.15		18.	15 - 18.	30		18.30	- 18.45			18.45	- 19.00)	Totale	18.00 -	19.00	
ORIGINE	DIREZ.	DESTINAZIONE	LEGG F	ES	BUS	тот	LEGG PE	S BUS	тот	LEGG	PES	BUS	тот	LEGG	PES	BUS	TOT	LEGG PE	S BUS	тот	V.eq
Corso Manacorda	Dx	piazza Castello	129	2	0	131	155	2	0 157	112	1	0	113	114	C) (114	510	5	0 51	
Corso Manacorda	Sx	Salita S.Anna	4	0	0	4	5	0	0 5	10	0	0	10	9	C) (9	28	0	0 28	В 2
Corso Manacorda		Tot.	133	2	0	135	160	2	0 162	122	1	0	123	123	0) (123	538	5	0 543	3 54
piazza Castello	Dr	Salita S.Anna	99	0	0	99	90	0	0 90	69	0	0	69	60	C) (60	318	0	0 318	31
piazza Castello	Sx	Corso Manacorda	38	0	0	38	23	0	0 23	24	0	0	24	24	C) (24	109	0	0 109	9 10
piazza Castello		Tot.	137	0	0	137	113	0	0 113		0	0	93	84	0) (84	427	0	0 427	
Salita S.Anna	Dx	Corso Manacorda	13	0	0	13	9	0	0 9	20	0	0	20	13	C) (13	55	0	0 5	5 5
Salita S.Anna	Dr	piazza Castello	177	0	0	177	168	0	0 168	158	1	0	159	118	C) (118	621	1	0 622	2 62
Salita S.Anna		Tot.	190	0	0	190	177	0	0 177		1		179	131	0) (131	676	1	0 677	7 67
Tot.		Corso Manacorda	51	0	0	51	32	0	0 32	44	0	0	44	37	C) (37	164	0	0 164	4 16
Tot.		piazza Castello	306	2	0	308	323	2	0 325		2		272	232	C			1131	6	0 1137	7 114
Tot.		Salita S.Anna	103	0	0	103	95	0	0 95	79	0	0	79	69	C) (69	346	0	0 346	6 34
SABATO 26-11-20	011		1	7.00 ·	- 17.15		17.	15 - 17.	30		17.30	- 17.45			17.45	- 18.00)	Totale	17.00 -	18.00	
ORIGINE	DIREZ.	DESTINAZIONE	LEGG F	ES	BUS	тот	LEGG PE	S BUS	тот	LEGG	PES	BUS	тот	LEGG	PES	BUS	TOT	LEGG PE	S BUS	тот	V.eq
Corso Manacorda	Dx	piazza Castello	99	0	0	99	112	0	0 112	104	0	0	104	94	C) (94	409	0	0 409	9 40
Corso Manacorda	Sx	Salita S.Anna	4	0	0	4	10	0	0 10	5	0	0	5	6	C) (6	25	0	0 2	5 2
Corso Manacorda		Tot.	103	0	0	103	122	0	0 122	109	0	0	109	100	0) (100	434	0	0 434	
piazza Castello	Dr	Salita S.Anna	80	0	0	80	123	0	0 123	97	0	0	97	136	C	(136	436	0	0 436	6 43
piazza Castello	Sx	Corso Manacorda	34	0	0	34	41	0	0 41	29	0	0	29	48	C) (48	152	0	0 152	2 15
piazza Castello		Tot.	114	0	0	114	164	0	0 164	126	0	0	126	184	0) (184	588	0	0 588	B 58
Salita S.Anna	Dx	Corso Manacorda	6	0	0	6	11	0	0 11	7	0	0	7	8	C) (8	32	0	0 32	2 ;
Salita S.Anna	Dr	piazza Castello	179	0	0	179	169	0	0 169	167	0	0	167	151	C) (151	666	0	0 666	6 6
Salita S.Anna		Tot.	185	0	0	185	180	0	0 180	174	0	0	174	159	0			698	0	0 698	69
Tot.		Corso Manacorda	40	0	0	40	52	0	0 52		0		36	56	C			184	0	0 184	
Tot.		piazza Castello	278	0	0		281	0	0 281		0		271	245	C			1075	0	0 107	
Tot.		Salita S.Anna	84	0	0	84	133	0	0 133	102	0	0	102	142	C) (142	461	0	0 46	1 46
SABATO 26-11-20	011		_		- 18.15			15 - 18.	30			- 18.45				- 19.00)	Totale	18.00 -	19.00	
ORIGINE	DIREZ.	DESTINAZIONE	LEGG F	ES	BUS	TOT	LEGG PE	S BUS		LEGG	PES	BUS	TOT	LEGG	PES	BUS	TOT	LEGG PE	S BUS	TOT	V.eq
Corso Manacorda		piazza Castello	100	0	0	100	125	0	0 125		0		106	76	1	,		407	1	0 408	
Corso Manacorda	Sv.	Salita S.Anna	9	0	0	a	5	0	0 5	6	0	0	6	3	C) (3	23	0	0 23	3 2
	3x		-	_		,	-	-					٠	-	-				•		
Corso Manacorda	3x	Tot.	109	0	0	109	130	0	0 130		0		٠	79	1			430	1	0 43	

Tabella 4: Movimenti di svolta rilevati all'intersezione tra corso Manacorda, piazza Castello e salita Sant'Anna

33

94

33

 133

Qui di seguito si riportano i grafici dei dati rilevati suddivisi per intervalli di 15'.

31

piazza Castello

piazza Castello

piazza Castello

Salita S.Anna

Salita S.Anna

Salita S.Anna

Tot.

Tot.

Tot.

Sx

Dr

133

498

Salita S.Anna

Tot.

Tot.

Corso Manacorda

Corso Manacorda

Corso Manacorda

piazza Castello Salita S.Anna

piazza Castello

36

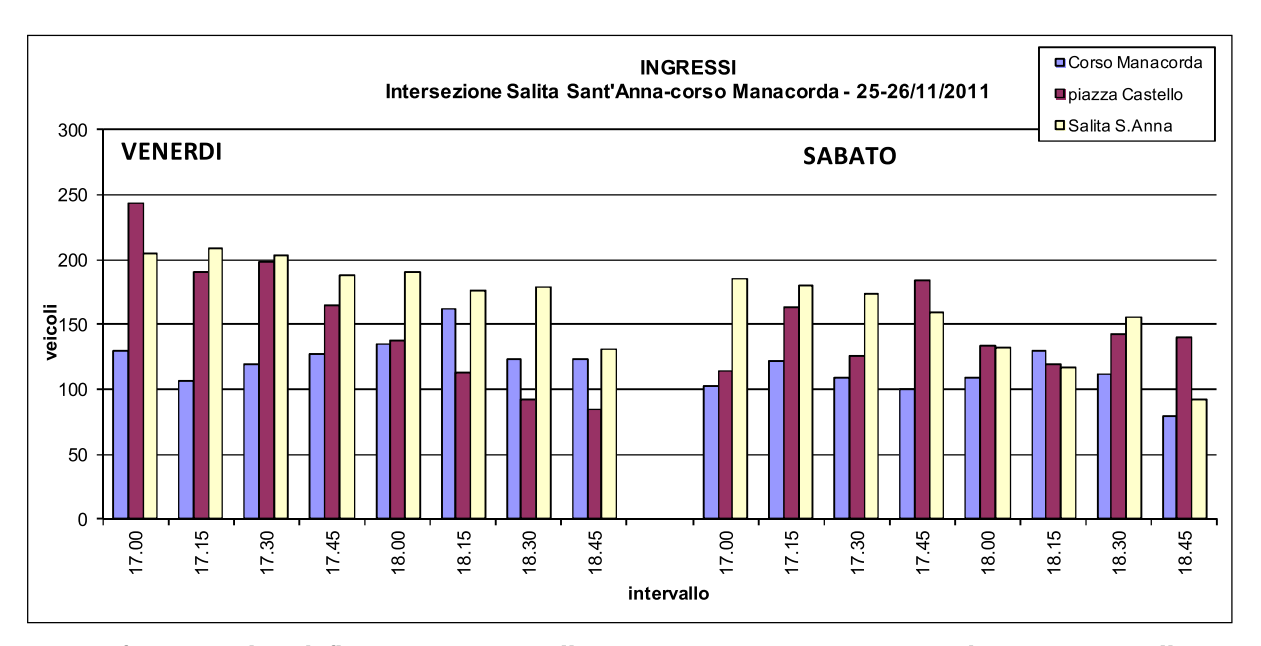


Grafico 13: Valori di flusso in ingresso all'intersezione tra corso Manacorda, piazza Castello e salita Sant'Anna, diversificati per strada di provenienza

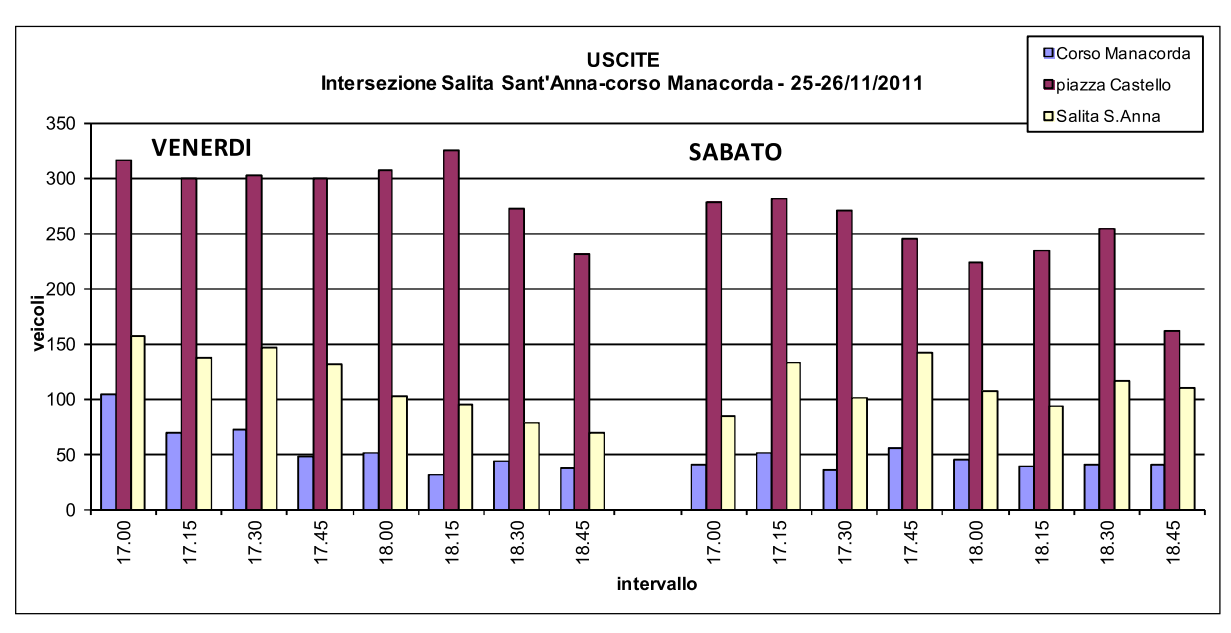


Grafico 14: Valori di flusso in uscita dall'intersezione tra corso Manacorda, piazza Castello e salita Sant'Anna, diversificati per strada di provenienza

Viene quindi riportata l'esposizione dei dati per intervalli orari.

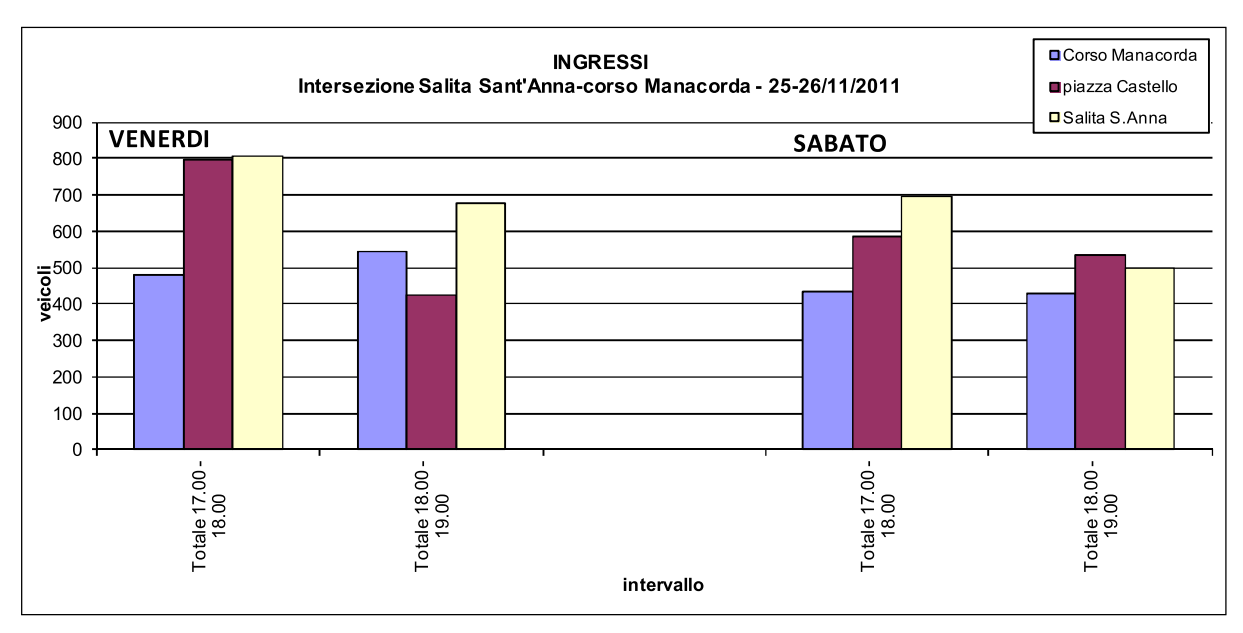


Grafico 15: Valori di flusso orari in ingresso all'intersezione tra corso Manacorda, piazza Castello e salita Sant'Anna, diversificati per strada di provenienza

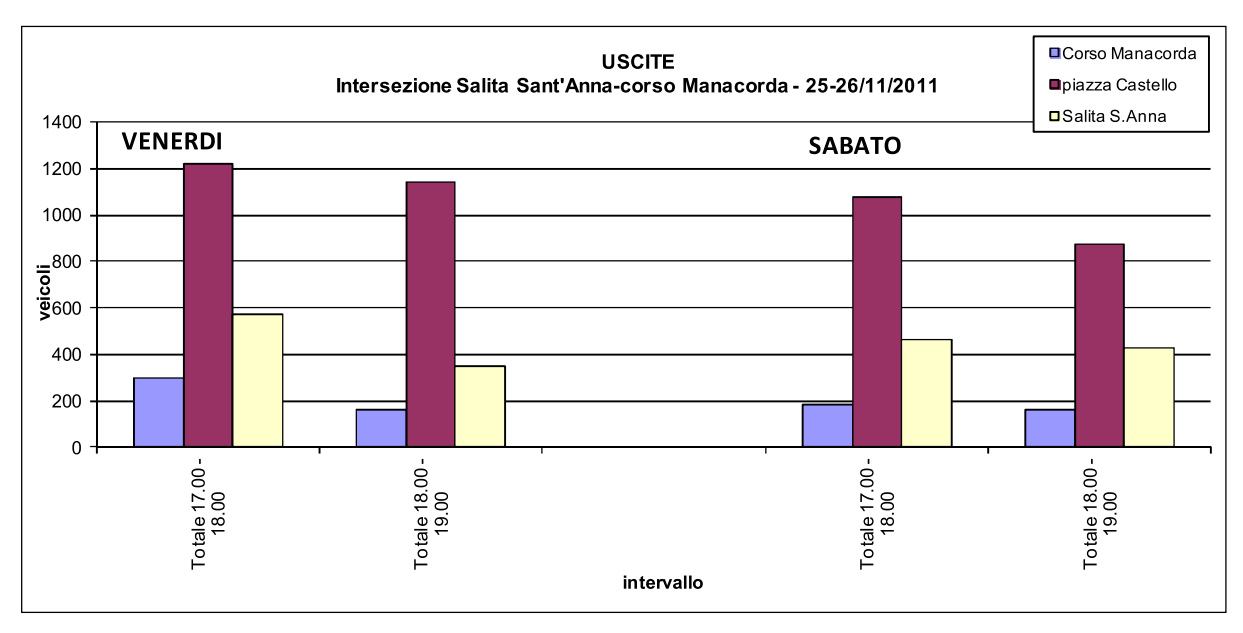


Grafico 16: Valori di flusso orari in uscita dall'intersezione tra corso Manacorda, piazza Castello e salita Sant'Anna, diversificati per strada di provenienza

3.5 Movimenti di svolta all'intersezione tra salita Sant'Anna, via Bruno Buozzi e via Matteotti

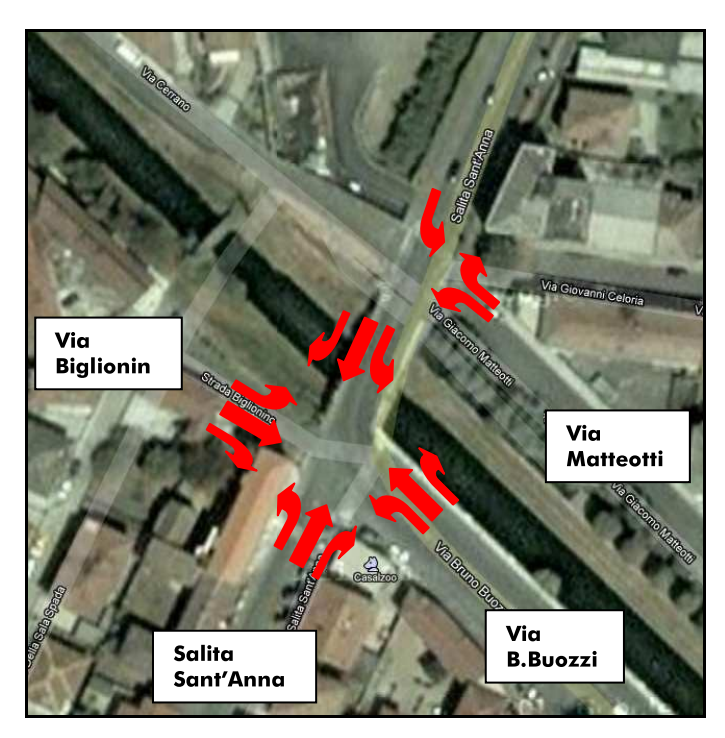


Figura 12: Movimenti di svolta all'intersezione tra salita Sant'Anna, via Bruno Buozzi, via Matteotti e via Biglionino

Analogamente a quanto fatto in precedenza, in Tabella 5 sono riportati i valori dei flussi veicolari rilevati, distinti per fascia oraria e per giorno di rilevamento.

VENERDÌ 25-11-2	011			17.00	- 17.15			17.15	- 17.30			17.30	- 17.45	;		17.45 -	18.00		Totale	17.00	- 18.0	0	
ORIGINE	DIREZ.	DESTINAZIONE	LEGG	PES	BUS	TOT	LEGG	PES	BUS	TOT	LEGG	PES	BUS	тот	LEGG	PES	BUS	тот	LEGG PE	S B	US T	ОТ	V.eq.
Matteotti	Dx	Salita S.Anna	6	1	0	7	6	1	0	7	8	0	0	8	9	0	0	9	29	2	0	31	33
Matteotti	Sx	ponte	11	0	0	11	4	0	0	4	1	0	0	1	1	0	0	1	17	0	0	17	17
Matteotti		Tot.	17	1	0	18	10	1	0	11	9	0	0	9	10	0	0	10	46	2	0	48	50
Salita S.Anna	Dr	ponte	118	3	0	121	120	3	0	123	142	0	0	142	149	0	0	149	529	6	0	535	541
Salita S.Anna	Sx	Matteotti	8	0	0	8	8	0	0	8	11	0	0	11	8	0	0	8	35	0	0	35	35
Salita S.Anna		Tot.	126	3	0	129	128	3	0	131	153	0	0	153	157	0	0	157	564	6	0	570	576
Tot.		Matteotti	8	0	0	8	8	0	0	8	11	0	0	11	8	0	0	8	35	0	0	35	35
Tot.		Salita S.Anna	6	1	0	7	6	1	0	7	8	0	0	8	9	0	0	9	29	2	0	31	33
Tot.		ponte	129	3	0	132	124	3	0	127	143	0	0	143	150	0	0	150	546	6	0	552	558
VENERDÌ 25-11-2	011			18.00	- 18.15			18.15	- 18.30			18.30	- 18.45	;		18.45 -	19.00		Totale	18.00	- 19.0	10	
ORIGINE	DIREZ.	DESTINAZIONE	LEGG	PES	BUS	TOT	LEGG	PES	BUS	TOT	LEGG	PES	BUS	тот	LEGG	PES	BUS	TOT	LEGG PE	S B	US T	ОТ	V.eq.
Matteotti	Dx	Salita S.Anna	14	0	0	14	10	0	0	10	9	0	0	9	9	0	0	9	42	0	0	42	42
Matteotti	Sx	ponte	5	0	0	5	2	1	0	3	1	0	0	1	3	0	0	3	11	1	0	12	13
Matteotti		Tot.	19	0	0	19	12	1	0	13	10	0	0	10	12	0	0	12	53	1	0	54	55
Salita S.Anna	Dr	ponte	121	0	0	121	139	0	0	139	155	0	0	155	146	2	0	148	561	2	0	563	565
Salita S.Anna	Sx	Matteotti	9	0	0	9	14	0	0	14	17	0	0	17	13	0	0	13	53	0	0	53	53
Salita S.Anna		Tot.	130	0	0	130	153	0	0	153	172	0	0	172	159	2	0	161	614	2	0	616	618
Tot.		Matteotti	9	0	0	9	14	0	0	14	17	0	0	17	13	0	0	13	53	0	0	53	53
Tot.		Salita S.Anna	14	0	0	14	10	0	0	10	9	0	0	9	9	0	0	9	42	0	0	42	42
Tot.		ponte	126	0	0	126	141	1	0	142	156	0	0	156	149	2	0	151	572	3	0	575	578

VENERDÌ 25-11-2	2011		,	17 00 -	- 17.15			17.15 - 17	7.30		17.30	- 17 45		17 45	- 18.00		Tota	ale 17	.00 - 18	3.00	
ORIGINE	DIR	DESTINAZIONE	LEGGI			тот	LEGG			LEGG		BUS	Тот	LEGG PES	Bus	тот	LEGG			TOT	V.eq.
Buozzi	Dx	S.Anna (Ponte)	195	2	0		222	2	0 224	180	4	0			1 0	181	777	9		786	795
Buozzi	Dr	Bigliorini	4	0	0		4	0	0 4	2	0	0			0 0	1	11	0	0	11	11
Buozzi	Sx	Salita S.Anna	11	0	0		22	0	0 22	17	0	0			0 0	25	75	0	0	75	75
Buozzi		Tot.	210	2	0		248	2	0 250	199	4	0			1 0	207	863	9		872	881
S.Anna (Ponte)	Dx	Bigliorini	5	0	0		5	0	0 5		0	0			0 0	5	15	0	0	15	15
S.Anna (Ponte)	Dr	Salita S.Anna	26	0	0	26	28	0	0 28	25	0	0	25		0 0	24	103	0		103	103
S.Anna (Ponte)	Sx	Buozzi	150	1	1	152	159	1	0 160	141	1	0	142		0 0	181	631	3		635	639
S.Anna (Ponte)		Tot.	181	1	1	183	192	1	0 193	166	1	0	167	210	0 0	210	749	3	1	753	757
Bigliorini	Dx	Salita S.Anna	2	0	0		0	0	0 0		0	0			0 0	1	3	0	0	3	3
Bigliorini	Dr	Buozzi	2	0	0		3	0	0 3	6	0	0	6	2 (0 0	2	13	0	0	13	13
Bigliorini	Sx	S.Anna (Ponte)	5	0	0		5	0	0 5	5		0			0 0	2	17	0	Ō	17	17
Bigliorini		Tot.	9	0	0		8	0	0 8		0	0			0 0	5	33	0		33	33
Salita S.Anna	Dx	Buozzi	38	0	0		31	0	0 31			0			0 0	20	108	0		108	108
Salita S.Anna	Dr	S.Anna (Ponte)	17	0	0		20	0	0 20		0	0			0 0	15	63	0		63	63
Salita S.Anna	Sx	Bigliorini	0	0	0		0	0	0 0		0	0			0 0	2	3	0		3	3
Salita S.Anna		Tot.	55	0	0		51	0	0 51	31	0	0			0 0	37	174	0		174	174
Tot.		Buozzi	190	1	1	192	193	1	0 194	166	1	0	167		0 0	203	752	3		756	760
Tot.		S.Anna (Ponte)	217	2	0		247	2	0 249		4	0	200	197		198	857	9		866	875
Tot.		Bigliorini	9	0	0		9	0	0 9	3	0	0	3		0 0	8	29	0	0	29	29
Tot.		Salita S.Anna	39	0	0		50	0	0 50	_	0	0	42		0 0	50	181	0		181	181
1011		Santa Sir tima	- 00						- 00							- 00		_ ŭ			
VENERDÌ 25-11-	2011			18.00 -	- 18.15			18.15 - 18	3.30		18.30	- 18.45		18.45	5 - 19.00		Tota	ale 18	.00 - 19	0.00	
VENERDÌ 25-11-2 ORIGINE	2011 DIR	DESTINAZIONE	LEGG		- 18.15 BUS	тот	LEGG			LEGG		- 18.45 BUS	тот	18.45 LEGG PES	5 - 19.00 BUS	тот	Tota LEGG		.00 - 19 BUS	0.00 TOT	V.eq.
		DESTINAZIONE S.Anna (Ponte)				тот				LEGG 143			тот	LEGG PES		TOT 162					
ORIGINE	DIR		LEGG	PES	BUS	TOT 206	LEGG	PES BL	IS TOT		PES 4	BUS	TOT 147	LEGG PES	BUS		LEGG	PES	BUS	TOT	663 11
ORIGINE Buozzi	DIR Dx	S.Anna (Ponte)	LEGG I	PES 4	BUS 0	TOT 206 5	LEGG 136	PES BL	0 137	143	PES 4	BUS 0	TOT 147 2	160 3	BUS 0	162	LEGG 641	PES 11	0 0	TOT 652	663 11 78
ORIGINE Buozzi Buozzi	DIR Dx Dr	S.Anna (Ponte) Bigliorini Salita S.Anna Tot.	202 5 26 233	4 0 0 4	0 0 0 0	TOT 206 5 26 237	136 1 17 154	PES BU 1 0 0 1	0 137 0 1 0 1 0 17 0 155	143 2 19 164	9ES 4 0 0 4	0 0 0 0	TOT 147 2 19 168	160 3 16 179 :	BUS 0 0 0 0 0 0 0 0 0 0 0 0 0 0 0 0 0 0 0	162 3	641 11 78 730	PES 11 0 0 11	0 0 0 0 0	TOT 652 11	663 11 78 752
ORIGINE Buozzi Buozzi Buozzi	DIR Dx Dr	S.Anna (Ponte) Bigliorini Salita S.Anna Tot. Bigliorini	202 5 26 233 3	4 0 0	0 0 0 0 0	TOT 206 5 26 237 3	136 1 17 17 154	PES BU 1 0 0 1 0	0 137 0 1 0 1 0 17 0 155 0 5	143 2 19 164 5	9ES 4 0 0 0 4 0 0	0 0 0 0 0	TOT 147 2 19 168 5	160 3 16 179 0 0 0 0	BUS 2 0 0 0 0 0 2 0 0 0 0 0	162 3 16	641 11 78 730	PES 11 0 11 0 11 0 0 11	0 0 0 0 0	TOT 652 11 78	663 11 78 752 13
ORIGINE Buozzi Buozzi Buozzi Buozzi Buozzi	DIR Dx Dr Sx	S.Anna (Ponte) Bigliorini Salita S.Anna Tot. Bigliorini Salita S.Anna	202 5 26 233 3 31	4 0 0 4 0 0	0 0 0 0 0	TOT 206 5 26 237 3 31	136 1 17 154 5 31	PES BL 1 0 0 1 0 1 0 0 0 0 0 0 0 0 0 0 0 0 0	US TOT 0 137 0 1 0 17 0 155 0 5 0 31	143 2 19 164 5 31	9 4 0 0 4 0 0 0 0 0 0 0 0 0 0 0 0 0 0 0	0 0 0 0 0	TOT 147 2 19 168 5 31	160 3 16 179 3 14 16 134 16 16 16 16 16 16 16 16 16 16 16 16 16	BUS 2 0 0 0 0 0 0 0 0 0 0 0 0 0 0 0 0 0 0	162 3 16 181 0 34	641 11 78 730 13 127	PES 11 0 0 11 0 0 11 0 0 0 0 0 0 0 0 0 0 0	0 0 0 0 0 0	TOT 652 11 78 741 13 127	663 11 78 752 13 127
ORIGINE Buozzi Buozzi Buozzi Buozzi Buozzi S.Anna (Ponte)	DIR Dx Dr Sx	S.Anna (Ponte) Bigliorini Salita S.Anna Tot. Bigliorini	202 5 26 233 3	4 0 0 4 0	0 0 0 0 0	TOT 206 5 26 237 3 31	136 1 17 17 154	PES BU 1 0 0 1 0	0 137 0 1 0 1 0 17 0 155 0 5	143 2 19 164 5	9ES 4 0 0 0 4 0 0	0 0 0 0 0	TOT 147 2 19 168 5 31	160 3 16 179 3 14 16 134 16 16 16 16 16 16 16 16 16 16 16 16 16	BUS 2 0 0 0 0 0 2 0 0 0 0 0	162 3 16 181	641 11 78 730	PES 11 0 11 0 11 0 0 11	0 0 0 0 0 0	TOT 652 11 78 741 13	663 11 78 752 13 127 580
ORIGINE Buozzi Buozzi Buozzi Buozzi Buozzi S.Anna (Ponte) S.Anna (Ponte)	DIR Dx Dr Sx Dx Dr	S.Anna (Ponte) Bigliorini Salita S.Anna Tot. Bigliorini Salita S.Anna Buozzi Tot.	202 5 26 233 3 31	4 0 0 4 0 0	0 0 0 0 0	TOT 206 5 26 237 3 31 176	136 1 17 154 5 31	PES BL 1 0 0 1 0 1 0 0 0 0 0 0 0 0 0 0 0 0 0	US TOT 0 137 0 1 0 17 0 155 0 5 0 31	143 2 19 164 5 31	9 4 0 0 4 0 0 0 5 5 5	0 0 0 0 0	TOT 147 2 19 168 5 31	160 3 16 179 3 14 125 3 1	BUS 2 0 0 0 0 0 0 0 0 0 0 0 0 0 0 0 0 0 0	162 3 16 181 0 34	641 11 78 730 13 127	PES 11 0 0 11 0 11 1 1 1 1 1 1 1 1 1 1 1 1	0 0 0 0 0 0	TOT 652 11 78 741 13 127 568 708	663 11 78 752 13 127 580 720
ORIGINE Buozzi Buozzi Buozzi Buozzi Buozzi S.Anna (Ponte) S.Anna (Ponte) S.Anna (Ponte) S.Anna (Ponte) Bigliorini	DIR Dx Dr Sx Dx Dr Sx Dx Dr Sx	S.Anna (Ponte) Bigliorini Salita S.Anna Tot. Bigliorini Salita S.Anna Buozzi Tot. Salita S.Anna	202 5 26 233 3 31 174 208	9ES 4	0 0 0 0 0 0 0 0 0 0	TOT 206 5 26 237 3 31 176 210	136 1 17 154 5 31 132 168	PES BL 1 0 0 1 0 2 2 0	0 137 0 17 0 17 0 155 0 5 0 31 0 134 0 170	143 2 19 164 5 31 125 161	PES 4 0 0 0 4 0 0 5 5 5 0 0	8US 0 0 0 0 0 0 0 0 0 0 0 0 0 0 0 0 0 0 0	147 2 19 168 5 31 130 166	160 : 160 :	BUS 2 0 0 0 0 0 2 0 0 0 0 0 0 0 0 0 0 0 0 0	162 3 16 181 0 34 128	641 11 78 730 13 127 556 696	PES 11 0 0 11 0 11 12 12	0 0 0 0 0 0 0 0 0	TOT 652 11 78 741 13 127 568 708	663 11 78 752 13 127 580 720
ORIGINE Buozzi Buozzi Buozzi Buozzi Buozzi S.Anna (Ponte) S.Anna (Ponte) S.Anna (Ponte) S.Anna (Ponte)	DX Dr Sx Dx Dr Sx	S.Anna (Ponte) Bigliorini Salita S.Anna Tot. Bigliorini Salita S.Anna Buozzi Tot. Salita S.Anna Buozzi Tot. Salita S.Anna Buozzi	202 5 26 233 3 31 174 208	4 0 0 4 0 0 0 0 2 2 2 0 0 0	8US 0 0 0 0 0 0 0 0 0 0 0 0 0 0 0 0 0 0 0	TOT 206 5 26 237 3 1 176 210 2 2	136 1 17 154 5 31 132 168 0 3	PES BL 1 0 0 1 0 2 2 0 0 0	US TOT 0 137 0 17 0 155 0 5 0 31 0 134 0 170 0 0 3	143 2 19 164 5 31 125 161 0	PES 4 0 0 4 0 0 5 5 5 0 0 0	8US 0 0 0 0 0 0 0 0 0 0 0 0 0 0 0 0 0 0 0	TOT 147 2 19 168 5 31 130 166 0 6	160 3 16 179 0 1 34 125 159 1 0 2	BUS 2 0 0 0 0 0 0 0 0 0 0 0 0 0 0 0 0 0 0	162 3 16 181 0 34 128 162	641 11 78 730 13 127 556 696 3 13	PES 11 0 0 111 0 0 112 12 0 0 0	0 0 0 0 0 0 0 0 0	TOT 652 11 78 741 13 127 568 708 3 13	663 11 78 752 13 127 580 720 3 13
ORIGINE Buozzi Buozzi Buozzi Buozzi Buozzi S.Anna (Ponte) S.Anna (Ponte) S.Anna (Ponte) S.Anna (Ponte) Bigliorini	DIR Dx Dr Sx Dx Dr Sx Dx Dr Sx	S.Anna (Ponte) Bigliorini Salita S.Anna Tot. Bigliorini Salita S.Anna Buozzi Tot. Salita S.Anna Buozzi S.Anna Buozzi S.Anna	202 5 26 233 3 1 174 208 2 5 5	9ES 4	8US 0 0 0 0 0 0 0 0 0 0 0 0 0 0 0 0 0 0 0	TOT 206 5 26 237 3 31 176 210 2 2 5	136 1 17 154 5 31 132 168	PES BL 1 0 0 1 0 2 2 0	US TOT 0 137 0 17 0 155 0 5 0 31 0 134 0 170 0 5 0 5 0 5 0 5 0 5 0 5 0 5 0 5 0 5 0	143 2 19 164 5 31 125 161	PES 4 0 0 0 4 0 0 5 5 5 0 0 0 0 0 0	8US 0 0 0 0 0 0 0 0 0 0 0 0 0 0 0 0 0 0 0	TOT 147 2 19 168 5 31 130 166 0 6	160 : 160 : 179 : 159 : 1 : 2 : 125 : 2 : 1 : 1	BUS 2 0 0 0 0 0 2 0 0 0 0 0 0 0 0 0 0 0 0 0	162 3 16 181 0 34 128 162	641 11 78 730 13 127 556 696	PES 11 0 0 11 0 11 12 12	0 0 0 0 0 0 0 0 0 0	TOT 652 11 78 741 13 127 568 708	663 111 78 752 13 127 580 720 3 13
ORIGINE Buozzi Buozzi Buozzi Buozzi S.Anna (Ponte) S.Anna (Ponte) S.Anna (Ponte) S.Anna (Ponte) Bigliorini	DIR Dx Dr Sx Dx Dr Sx Dr Dr Sx	S.Anna (Ponte) Bigliorini Salita S.Anna Tot. Bigliorini Salita S.Anna Buozzi Tot. Salita S.Anna Buozzi S.Anna Buozzi S.Anna Buozzi Tot.	202 5 26 233 3 31 174 208 2 2 5	4 0 0 4 0 0 0 2 2 2 0 0 0 0 0 0 0	BUS 0 0 0 0 0 0 0 0 0 0 0 0 0 0 0 0 0 0 0	TOT 206 5 26 237 3 31 176 210 2 5 9	136 1 17 154 5 31 132 168 0 3 5 8	PES BL 1 0 0 1 0 1 0 2 2 0 0 0 0 0 0 0	S TOT	143 2 19 164 5 31 125 161 0 6 5	PES 4 0 0 0 4 0 0 5 5 0 0 0 0 0 0 0 0 0 0 0	BUS 0 0 0 0 0 0 0 0 0 0 0 0 0 0 0 0 0 0 0	TOT 147 2 19 168 5 31 130 166 0 6 5 11	160 2 160 3 160 179 2 160 179 179 179 179 179 179 179 179 179 179	BUS	162 3 16 181 0 34 128 162	641 11 78 730 13 127 556 696 3 13 17 33	PES 111 0 0 111 0 0 12 12 0 0 0 0 0 0 0 0	0 0 0 0 0 0 0 0 0 0	TOT 652 11 78 741 13 127 568 708 3 13 17 33	663 111 78 752 13 127 580 720 3 13 17
ORIGINE Buozzi Buozzi Buozzi Buozzi S.Anna (Ponte) S.Anna (Ponte) S.Anna (Ponte) S.Anna (Ponte) Bigliorini Bigliorini Bigliorini Salita S.Anna	DIR Dx Dr Sx Dx Dr Sx Dr Sx Dr Sx Dx Dr Sx	S.Anna (Ponte) Bigliorini Salita S.Anna Tot. Bigliorini Salita S.Anna Buozzi Tot. Salita S.Anna Buozzi S.Anna Buozzi S.Anna (Ponte) Tot. Buozzi	202 5 26 233 3 31 174 208 2 2 5 9	4 0 0 4 0 0 0 2 2 2 0 0 0 0 0 0 0 0 0 0	8US 0 0 0 0 0 0 0 0 0 0 0 0 0 0 0 0 0 0 0	TOT 206 5 26 237 3 31 176 210 2 5 9 27	136 1 1 17 154 5 31 132 168 0 3 5 8	PES BL 1 0 0 1 0 0 1 0 2 2 0 0 0 0 0 0	S TOT	143 2 199 164 5 31 125 161 0 6 5 11	PES 4 0 0 0 4 0 0 5 5 5 0 0 0 0 0 0 0 0 0 0	BUS 0 0 0 0 0 0 0 0 0 0 0 0 0 0 0 0 0 0 0	TOT 147 2 19 168 5 31 130 166 0 6 5 11	LEGG PES 160 3 16 179 0 34 125 159 1 2 2 5 21	BUS 2	162 3 16 181 0 34 128 162 1 2 2 5	641 11 78 730 13 127 556 696 3 13 17 33	PES 111 0 0 111 0 12 12 0 0 0 0 0 0 0 0 0 0	0 0 0 0 0 0 0 0 0 0 0 0	TOT 652 11 78 741 13 127 568 708 3 13 17 33	663 111 78 752 13 127 580 720 3 13 17 33
ORIGINE Buozzi Buozzi Buozzi Buozzi S.Anna (Ponte) S.Anna (Ponte) S.Anna (Ponte) S.Anna (Ponte) Bigliorini Bigliorini Bigliorini Bigliorini Salita S.Anna Salita S.Anna	DIR Dx Dr Sx Dx Dr Sx Dr Sx	S.Anna (Ponte) Bigliorini Salita S.Anna Tot. Bigliorini Salita S.Anna Buozzi Tot. Salita S.Anna Buozzi S.Anna (Ponte) Tot. Buozzi S.Anna (Ponte) Tot. Buozzi S.Anna (Ponte)	202 5 26 233 3 31 174 208 2 2 5 9	4 0 0 4 0 0 0 0 0 0 0 0 0 0 0 0 0 0 0 0	8US 0 0 0 0 0 0 0 0 0 0 0 0 0 0 0 0 0 0 0	TOT 206 5 26 237 3 31 176 210 2 5 9 27 16	136 1 17 154 5 31 132 168 0 3 5 8 22 25	PES BL 1 0 0 1 1 0 2 2 0 0 0 0 0 0 0 0 0 0	S TOT	143 2 199 164 5 31 125 161 0 6 5 11 13	PES 4 0 0 0 4 0 0 0 0 0 0 0 0 0 0 0 0 0 0	8US 0 0 0 0 0 0 0 0 0 0 0 0 0 0 0 0 0 0 0	TOT 147 2 19 168 5 31 130 166 0 6 5 11 13	LEGG PES 160 3	BUS 2	162 3 16 181 0 34 128 162 1 2 2 5	641 11 78 730 13 127 556 696 3 13 17 33 83 78	PES 111 0 0 111 0 0 12 12 0 0 0 0 0 0 0 0 0	8US 0 0 0 0 0 0 0 0 0 0 0 0 0 0 0 0 0 0 0	TOT 652 11 78 741 13 127 568 708 3 13 17 33 83 78	663 111 78 752 13 127 580 720 3 13 17 33 83
ORIGINE Buozzi Buozzi Buozzi Buozzi S.Anna (Ponte) S.Anna (Ponte) S.Anna (Ponte) S.Anna (Ponte) Bigliorini Bigliorini Bigliorini Bigliorini Salita S.Anna Salita S.Anna	DIR Dx Dr Sx Dx Dr Sx Dr Sx Dr Sx Dx Dr Sx	S.Anna (Ponte) Bigliorini Salita S.Anna Tot. Bigliorini Salita S.Anna Buozzi Tot. Salita S.Anna Buozzi S.Anna Buozzi S.Anna (Ponte) Tot. Buozzi S.Anna (Ponte) Bigliorini	202 5 26 233 3 31 174 208 2 2 5 9 27 16 0	4 0 0 4 0 0 0 0 0 0 0 0 0 0 0 0 0 0 0 0	8US 0 0 0 0 0 0 0 0 0 0 0 0 0 0 0 0 0 0 0	TOT 206 5 26 237 3 31 176 210 2 5 9 27 16	136 117 154 5 31 132 168 0 3 5 8 22 25 0	PES BL 1 0 0 1 1 0 2 2 2 0 0 0 0 0 0 0 0 0 0 0	S TOT	143 2 19 164 5 31 125 161 0 6 5 11 13	PES 4 0 0 0 4 0 0 0 0 0 0 0 0 0 0 0 0 0 0	8US 0 0 0 0 0 0 0 0 0 0 0 0 0 0 0 0 0 0 0	TOT 147 2 19 168 5 31 130 166 0 6 5 11 13 19 0	LEGG PES 160 3 16 179 0 134 125 159 2 1 2 1 18 0	BUS 2	162 3 16 181 0 34 128 162 1 2 2 5 21 18 0	641 11 78 730 13 127 556 696 3 13 17 33	PES 111 0 0 111 0 12 12 0 0 0 0 0 0 0 0 0 0	8US 0 0 0 0 0 0 0 0 0 0 0 0 0 0 0 0 0 0 0	TOT 652 11 78 741 13 127 568 708 3 13 17 33	663 111 78 752 13 127 580 720 3 13 17 33 83 78
ORIGINE BUOZZI BUOZZI BUOZZI BUOZZI SANNA (Ponte) S.Anna (Ponte) S.Anna (Ponte) S.Anna (Ponte) Bigliorini Bigliorini Bigliorini Bigliorini Salita S.Anna Salita S.Anna Salita S.Anna	DIR Dx Dr Sx Dx Dr Sx Dr Sx Dx Dr Sx Dr Dx Dr	S.Anna (Ponte) Bigliorini Salita S.Anna Tot. Bigliorini Salita S.Anna Buozzi Tot. Salita S.Anna Buozzi S.Anna Buozzi S.Anna (Ponte) Tot. Buozzi S.Anna (Ponte) Bigliorini Tot.	202 5 266 233 3 31 174 208 2 2 5 9 27 16 0 43	4 0 0 4 0 0 0 0 0 0 0 0 0 0 0 0 0 0 0 0	BUS 0 0 0 0 0 0 0 0 0 0 0 0 0 0 0 0 0 0 0	TOT 206 5 26 237 3 31 176 210 2 2 5 9 27 16 0 43	136 1 17 154 5 31 132 168 0 3 5 5 8 22 25 0 47	PES BL 1 0 0 1 0 0 2 2 0 0 0 0 0 0 0 0 0 0 0 0	S TOT	143 2 19 164 5 31 125 161 0 6 5 11 13 19	PES 4 0 0 0 4 0 0 0 0 0 0 0 0 0 0 0 0 0 0	BUS 0 0 0 0 0 0 0 0 0 0 0 0 0 0 0 0 0 0 0	TOT 147 2 19 168 5 31 130 166 0 6 5 11 13 19 0 32	160 : 160 :	BUS 2 0 0 0 0 0 0 0 0 0 0 0 0 0 0 0 0 0 0 0	162 3 16 181 0 34 128 162 1 2 2 5 21 18 0 39	641 11 78 730 13 127 556 696 3 13 17 33 83 83 78 0 161	PES 111 0 0 111 0 112 12 12 0 0 0 0 0 0 0 0	8US 0 0 0 0 0 0 0 0 0 0 0 0 0 0 0 0 0 0 0	TOT 652 111 78 741 13 127 568 708 3 13 17 33 83 78 0 161	663 111 78 752 13 127 580 720 3 13 17 33 833 78
ORIGINE Buozzi Buozzi Buozzi Buozzi S.Anna (Ponte) S.Anna (Ponte) S.Anna (Ponte) S.Anna (Ponte) Bigliorini Bigliorini Bigliorini Bigliorini Salita S.Anna Salita S.Anna Salita S.Anna Salita S.Anna	DIR Dx Dr Sx Dx Dr Sx Dr Sx Dx Dr Sx Dr Dx Dr	S.Anna (Ponte) Bigliorini Salita S.Anna Tot. Bigliorini Salita S.Anna Buozzi Tot. Salita S.Anna Buozzi Tot. Salita S.Anna Buozzi S.Anna (Ponte) Bigliorini Tot. Buozzi S.Anna (Ponte) Bigliorini Tot. Buozzi	202 5 266 233 3 31 174 208 2 2 5 9 27 16 0 43 203	PES 4 0 0 0 4 0 0 0 0 0 0 0 0 0 0 0 0 0 2 2 0 0 0 0	BUS 0 0 0 0 0 0 0 0 0 0 0 0 0 0 0 0 0 0	TOT 206 5 26 237 3 31 176 210 2 2 5 9 27 16 0 43 205	136 1 17 154 5 31 132 168 0 3 5 5 8 22 25 0 47	PES BL 1 0 0 1 0 0 2 2 0 0 0 0 0 0 0 0 2	S TOT 0 137 0 1 1 0 155 0 5 0 31 0 134 0 170 0 0 5 0 22 0 25 0 0 0 0 159	143 2 19 164 5 31 125 161 0 6 5 11 133 19 0 32 144	PES 4 0 0 0 4 0 0 0 0 0 0 0 0 0 5 5	BUS 0 0 0 0 0 0 0 0 0 0 0 0 0 0 0 0 0 0 0	TOT 147 2 19 168 5 31 130 166 0 6 5 11 13 19 0 32 149	LEGG PES 160 3 1 16 179 0 4 34 1 125 159 1 2 6 2 5 21 1 18 0 39 148	BUS 2 00 0 00 0 00 0 00 0 00 0 00 0 00 0 0	162 3 16 181 0 34 128 162 1 2 2 5 21 18 0 39	EGG 641 11 78 730 13 127 556 696 3 13 17 33 83 78 0 161 652	PES 111 0 0 111 0 0 112 12 0 0 0 0 0 0 0 12 12 12 12 12 12 12 12 12 12 12 12 12	BUS 0 0 0 0 0 0 0 0 0 0 0 0 0 0 0 0 0 0 0	TOT 652 11 78 741 13 127 568 708 3 13 17 33 83 83 0 161 664	663 111 78 752 13 127 580 720 3 13 17 33 83 78 0 161
ORIGINE Buozzi Buozzi Buozzi Buozzi S.Anna (Ponte) S.Anna (Ponte) S.Anna (Ponte) S.Anna (Ponte) Bigliorini Bigliorini Bigliorini Salita S.Anna Salita S.Anna Salita S.Anna Tot.	DIR Dx Dr Sx Dx Dr Sx Dr Sx Dx Dr Sx Dr Dx Dr	S.Anna (Ponte) Bigliorini Salita S.Anna Tot. Bigliorini Salita S.Anna Buozzi Tot. Salita S.Anna Buozzi S.Anna (Ponte) Tot. Buozzi S.Anna (Ponte) Tot. Buozzi S.Anna (Ponte) Bigliorini Tot. Buozzi S.Anna (Ponte) Bigliorini	202 5 263 3 31 174 208 2 5 9 27 16 0 43 203 223	PES 4	BUS 0 0 0 0 0 0 0 0 0 0 0 0 0 0 0 0 0 0	TOT 206 5 26 237 3 31 176 210 2 2 5 9 27 16 0 43 205 227	136 136 1 177 154 5 31 132 168 0 3 5 8 22 25 0 47 157 166	PES BL 1 0 0 0 0 1 1 0 0 0 0 0 0 0 0 0 0 0 0 0	S TOT 0 137 0 155 0 155 0 5 31 0 170 0 155 0 5 6 70 0 0 134 0 134 0 25 0 25 0 0 0 0 47 0 155 0 157	143 2 19 164 5 31 125 161 0 6 5 11 13 19 0 32 144	PES 4 0 0 0 4 4 0 0 0 0 0 0 0 0 0 0 0 0 0	BUS 0 0 0 0 0 0 0 0 0 0 0 0 0 0 0 0 0 0	TOT 147 2 19 168 5 31 130 166 0 6 5 11 13 19 0 32	LEGG PES 160 3 16 179 0 34 125 159 1 2 1 2 5 21 1 18 0 39 1 148 180	BUS 2 0 0 0 0 0 0 0 0 0 0 0 0 0 0 0 0 0 0 0	162 3 16 181 0 34 128 162 1 2 2 5 21 18 0 39	EGG 641 11 78 730 13 127 556 696 3 13 17 33 83 78 0 161 652 736	PES 111 0 0 111 0 0 12 12 0 0 0 0 0 0 0 12 11 11	BUS 0 0 0 0 0 0 0 0 0 0 0 0 0 0 0 0 0 0 0	TOT 652 11 78 741 13 127 568 708 3 13 17 33 83 83 0 161 664 747	663 111 78 752 13 127 5800 720 3 13 17 33 83 78 0 161 676 758
ORIGINE Buozzi Buozzi Buozzi Buozzi S.Anna (Ponte) S.Anna (Ponte) S.Anna (Ponte) S.Anna (Ponte) Bigliorini Bigliorini Bigliorini Bigliorini Salita S.Anna Salita S.Anna Salita S.Anna Salita S.Anna	DIR Dx Dr Sx Dx Dr Sx Dr Sx Dx Dr Sx Dr Dx Dr	S.Anna (Ponte) Bigliorini Salita S.Anna Tot. Bigliorini Salita S.Anna Buozzi Tot. Salita S.Anna Buozzi Tot. Salita S.Anna Buozzi S.Anna (Ponte) Bigliorini Tot. Buozzi S.Anna (Ponte) Bigliorini Tot. Buozzi	202 5 266 233 3 31 174 208 2 2 5 9 27 16 0 43 203	PES 4 0 0 0 4 0 0 0 0 0 0 0 0 0 0 0 0 0 2 2 0 0 0 0	BUS 0 0 0 0 0 0 0 0 0 0 0 0 0 0 0 0 0 0	TOT 206 5 26 237 3 31 176 210 2 2 5 9 27 16 0 43 205 227 8	136 1 17 154 5 31 132 168 0 3 5 5 8 22 25 0 47	PES BL 1 0 0 1 0 0 2 2 0 0 0 0 0 0 0 0 2	S TOT 0 137 0 1 1 0 155 0 5 0 31 0 134 0 170 0 0 5 0 22 0 25 0 0 0 0 159	143 2 19 164 5 31 125 161 0 6 5 11 133 19 0 32 144	PES 4 0 0 0 4 0 0 0 0 0 0 0 0 0 5 5	BUS 0 0 0 0 0 0 0 0 0 0 0 0 0 0 0 0 0 0 0	TOT 147 2 19 168 5 31 130 166 0 6 5 11 13 19 0 32 149	LEGG PES 160 3	BUS 2 00 0 00 0 00 0 00 0 00 0 00 0 00 0 0	162 3 16 181 0 34 128 162 1 2 2 5 21 18 0 39	EGG 641 11 78 730 13 127 556 696 3 13 17 33 83 78 0 161 652	PES 111 0 0 111 0 0 112 12 0 0 0 0 0 0 0 12 12 12 12 12 12 12 12 12 12 12 12 12	BUS 0 0 0 0 0 0 0 0 0 0 0 0 0 0 0 0 0 0 0	TOT 652 11 78 741 13 127 568 708 3 13 17 33 83 83 0 161 664	663 111 788 752 13 127 580 720 3 13 17 33

SABATO 26-11-2	011			17.00	- 17.15		•	17.15	- 17.30			17.30	- 17.45			17.45 -	18.00		Totale	17.00 -	18.00	
ORIGINE	DIREZ	DESTINAZIONE	LEGG	PES	BUS	TOT	LEGG	PES	BUS	тот	LEGG	PES	BUS	тот	LEGG	PES E	BUS	TOT	LEGG PES	BUS	TOT	V.eq.
Matteotti	Dx	Salita S.Anna	6	0	0	6	15	0	0	15	5	0	0	5	4	0	0	4	30	0	0 30	30
Matteotti	Sx	ponte	2	0	0	2	8	0	0	8	0	0	0	0	5	0	0	5	15	0	0 15	15
Matteotti		Tot.	8	0	0	8	23	0	0	23	5	0	0	5	9	0	0	9	45	0	0 45	45
Salita S.Anna	Dr	ponte	150	0	0	150	154	0	1	155	116	1	0	117	155	0	0	155	575	1	1 577	579
Salita S.Anna	Sx	Matteotti	7	0	0	7	11	0	0	11	10	0	0	10	10	0	0	10	38	0	0 38	38
Salita S.Anna		Tot.	157	0	0	157	165	0	1	166	126	1	0	127	165	0	0	165	613	1	1 615	617
Tot.		Matteotti	7	0	0	7	11	0	0	11	10	0	0	10	10	0	0	10	38	0	0 38	38
Tot.		Salita S.Anna	6	0	0	6	15	0	0	15	5	0	0	5	4	0	0	4	30	0	0 30	30
Tot.		ponte	152	0	0	152	162	0	1	163	116	1	0	117	160	0	0	160	590	1	1 592	594
SABATO 26-11-2	:011			18.00	- 18.15		,	18.15	- 18.30			18.30	- 18.45			18.45 -	19.00		Totale	18.00 -	19.00	
ORIGINE	DIREZ	DESTINAZIONE	LEGG	PES	BUS	TOT	LEGG I	PES	BUS	TOT	LEGG	PES	BUS	TOT	LEGG	PES E	BUS	TOT	LEGG PES	BUS	TOT	V.eq.
Matteotti	Dx	Salita S.Anna	6	0	0	6	6	0	0	6	7	0	0	7	10	0	0	10	29	0	0 29	29
Matteotti	Sx	ponte	0	0	0	0	1	0	0	1	5	0	0	5	4	0	0	4	10	0	0 10	10
Matteotti		Tot.	6	0	0	6	7	0	0	7	12	0	0	12	14	0	0	14	39	0	0 39	39
Salita S.Anna	Dr	ponte	132	2	0	134	161	0	0	161	135	0	0	135	163	1	0	164	591	3	0 594	597
Salita S.Anna	Sx	Matteotti	5	0	0	5	7	0	0	7	5	0	0	5	11	0	0	11	28	0	0 28	28
Salita S.Anna		Tot.	137	2	0	139	168	0	0	168	140	0	0	140	174	1	0	175	619	3	0 622	625
Tot.		Matteotti	5	0	0	5	7	0	0	7	5	0	0	5	11	0	0	11	28	0	0 28	28
Tot.		Salita S.Anna	6	0	0	6	6	0	0	6	7	0	0	7	10	0	0	10	29	0	0 29	29
Tot.		ponte	132	2	0	134	162	0	0	162	140	0	0	140	167	1	0	168	601	3	0 604	607

Rev. Gennaio 2012

SABATO 26-11-2	011		17.	.00 - 17.	15		17.15 - 17.	30		17.30 - 1	17.45		17.45	- 18.00		Tota	le 17.	00 - 18	.00	
ORIGINE	DIR	DESTINAZIONE	LEGGIPE	S BUS	тот	LEGG	PES BUS	Тот	LEGG	PES B	SUS IT	тс	LEGG PES	BUS	тот	LEGG P	PES	BUS	тот	V.eq.
Buozzi	Dx	S.Anna (Ponte)	171	4	0 17	5 154	3	0 157	164	3	0	167	175 (0	175	664	10	0	674	684
Buozzi	Dr	Bigliorini	1	0	0	1 2	0	0 2	3	0	0	3	0 (0 0	0	6	0	0	6	6
Buozzi	Sx	Salita S.Anna	15	0	0 1	5 7	0	0 7	11	0	0	11	11 (0 0	11	44	0	0	44	44
Buozzi		Tot.	187	4	0 19	1 163	3	0 166	178	3	0	181	186 (0	186	714	10	0	724	734
S.Anna (Ponte)	Dx	Bigliorini	2	0	0 .	2 5	0	0 5	4	0	0	4	1 (0 0	1	12	0	0	12	12
S.Anna (Ponte)	Dr	Salita S.Anna	25	0	0 2	31	0	0 31	27	0	0	27	15 (0 0	15	98	0	0	98	98
S.Anna (Ponte)	Sx	Buozzi	134	3	13	7 135	2	1 138	146	3	0	149	168 5	5 0	173	583	13	1	597	611
S.Anna (Ponte)		Tot.	161	3	0 16	4 171	2	1 174	177	3	0	180	184	5 0	189	693	13	1	707	721
Bigliorini	Dx	Salita S.Anna	0	0	0	0 0	0	0 0	0	0	0	0	0 (0 0	0	0	0	0	0	0
Bigliorini	Dr	Buozzi	4	0	0	4 0	0	0 0	0	0	0	0	1 (0 0	1	5	0	0	5	5
Bigliorini	Sx	S.Anna (Ponte)	3	0	0	3 2	0	0 2	3	0	0	3	2 (0 0	2	10	0	0	10	10
Bigliorini		Tot.	7	0	0	7 2	0	0 2	3	0	0	3	3 (0	3	15	0	0	15	15
Salita S.Anna	Dx	Buozzi	10	0	0 1	D 17	0	0 17	14	0	0	14	16 (0 0	16	57	0	0	57	57
Salita S.Anna	Dr	S.Anna (Ponte)	18	1	0 1	27	0	0 27	18	0	0	18	19 (0 0	19	82	1	0	83	84
Salita S.Anna	Sx	Bigliorini	0	0	0	0 0	0	0 0	1	0	0	1	0 (0 0	0	1	0	0	1	1
Salita S.Anna		Tot.	28	1	0 2	9 44	0	0 44	33	0	0	33	35 (0	35	140	1	0	141	142
Tot.		Buozzi	148	3	0 15	1 152	2	1 155	160	3	0	163	185 5	5 0	190	645	13	1	659	673
Tot.		S.Anna (Ponte)	192	5	0 19	183	3	0 186	185	3	0	188	196 (0 0	196	756	11	0	767	778
Tot.		Bigliorini	3	0	0	3 7	0	0 7	8	0	0	8	1 (0 0	1	19	0	0	19	19
Tot.		Salita S.Anna	40	0	0 4	38	0	0 38	38	0	0	38	26 (0 0	26	142	0	0	142	142
SABATO 26-11-2				.00 - 18.			18.15 - 18.			18.30 - 1				- 19.00				00 - 19		
ORIGINE	DIR	DESTINAZIONE	LEGG PE	S BUS	тот	LEGG	PES BUS	тот	LEGG		BUS TO	ЭТ	LEGG PES	BUS	тот	LEGG P	PES	BUS	тот	V.eq.
	DIR Dx	S.Anna (Ponte)	LEGG PE	S BUS	0 12	LEGG 118	PES BUS	TOT 0 120	165	PES B	BUS TO	OT 166	LEGG PES 108	BUS 0	TOT 109	LEGG P		BUS 0	TOT 518	V.eq. 524
ORIGINE Buozzi Buozzi	DIR Dx Dr	S.Anna (Ponte) Bigliorini	121 3	2 0	0 12	LEGG 3 118 3 0	2 0	0 120 0 0	165 3	PES B 1 0	0 0	166 3	108 1 (BUS 1 0 0	109 1	LEGG P 512 7	PES	BUS 0 0	TOT 518 7	524 7
ORIGINE Buozzi Buozzi Buozzi	DIR Dx	S.Anna (Ponte) Bigliorini Salita S.Anna	121 3 15	2 0 0	0 12 0 0 0 1	LEGG 3 118 3 0 5 14	2 0 0	0 120 0 0 0 14	165 3 13	PES B 1 0 0	0 0 0	166 3 13	108 1 0 13 0	BUS 1 0 0 0 0 0	109 1 13	512 7 55	6 0 0	BUS 0 0 0	TOT 518 7 55	524 7 55
ORIGINE Buozzi Buozzi Buozzi Buozzi Buozzi	DIR Dx Dr Sx	S.Anna (Ponte) Bigliorini Salita S.Anna Tot.	121 3 15 139	2 0 0 2	0 12 0 0 0 1 0 1 0 14	LEGG 3 118 3 0 5 14 1 132	2 0 0 2	0 120 0 0 0 14 0 134	165 3 13 181	PES B 1 0 0 1	0 0 0 0	166 3 13 182	108 1 1 1 1 1 1 1 1 1 1 1 1 1 1 1 1 1 1	BUS 1 0 0 0 0 0 1 0	109 1	512 7 55 55 574	6 0 0 6	0 0 0 0 0	TOT 518 7 55 580	524 7
ORIGINE Buozzi Buozzi Buozzi Buozzi Buozzi S.Anna (Ponte)	DIR Dx Dr Sx	S.Anna (Ponte) Bigliorini Salita S.Anna Tot. Bigliorini	121 3 15 139	2 0 0 2 0	0 12 0 0 0 1 0 1 0 14	LEGG 3 118 3 0 5 14 1 132 1 4	PES BUS 2 0 0 2 0	0 120 0 0 0 14 0 134 0 4	165 3 13 181 3	PES B 1 0 0 1 1 0	0 0 0 0 0	166 3 13 182 3	108 1 1 1 1 1 1 1 1 1 1 1 1 1 1 1 1 1 1	BUS 1 0 0 0 0 0 1 0 0 0	109 1 13 123	512 7 55 55 574 9	6 0 0 6	0 0 0 0 0 0	518 7 55 580 9	524 7 55 586 9
ORIGINE Buozzi Buozzi Buozzi Buozzi Buozzi S.Anna (Ponte) S.Anna (Ponte)	DIR Dx Dr Sx Dx Dx	S.Anna (Ponte) Bigliorini Salita S.Anna Tot. Bigliorini Salita S.Anna	121 3 15 139 1 36	2 0 0 2 0 0	0 12 0 0 1 0 1 0 1 0 14 0 3	LEGG 3 118 3 0 5 14 1 132 1 4 6 24	PES BUS 2 0 0 2 0 0 0 0 0 0	0 120 0 0 0 14 0 134 0 4 0 24	165 3 13 181 3 29	PES B 1 0 0 0 1 1 0 0 0 0 0 0 0 0 0 0 0 0 0 0	0 0 0 0 0 0	166 3 13 182 3 29	108 1 1 1 1 1 1 1 1 1 1 1 1 1 1 1 1 1 1	BUS 1 0 0 0 1 0 1 0 0 0 1 0 0 0	109 1 13 123 1 35	512 7 55 55 574 9 124	6 0 0 6	0 0 0 0 0 0	TOT 518 7 55 580 9 124	524 7 55 586 9 124
ORIGINE Buozzi Buozzi Buozzi Buozzi S.Anna (Ponte) S.Anna (Ponte) S.Anna (Ponte)	DIR Dx Dr Sx	S.Anna (Ponte) Bigliorini Salita S.Anna Tot. Bigliorini Salita S.Anna Buozzi	121 3 15 139 1 36 135	2 0 0 2 0 2 0 0 3	0 12 0 0 1 0 1 0 14 0 3 0 13	LEGG 3 118 3 0 5 14 1 132 1 4 6 24 8 147	PES BUS 2 0 0 2 0 0 0 0 0 0 0 0	0 120 0 0 0 14 0 134 0 4 0 24 0 147	165 3 13 181 3 29 121	PES B 1 0 0 1 0 1 0 0 0 2	0 0 0 0 0 0	166 3 13 182 3 29 123	108 1 1 1 1 1 1 1 1 1 1 1 1 1 1 1 1 1 1	BUS 1 0 0 0 0 1 0 0 0 0 0 1 0 0 0 0 0 0 0 0	109 1 13 123 1 35 139	512 7 55 574 9 124 540	6 0 0 6	0 0 0 0 0 0	TOT 518 7 55 580 9 124 547	524 7 55 586 9 124 554
ORIGINE BUOZZI BUOZZI BUOZZI BUOZZI SANNA (PONTE) S.ANNA (PONTE) S.ANNA (PONTE) S.ANNA (PONTE)	DX Dr Sx Dx Dr Sx	S.Anna (Ponte) Bigliorini Salita S.Anna Tot. Bigliorini Salita S.Anna Buozzi Tot.	121 3 15 139 1 36 135 172	2 0 0 2 0 0 3 3	0 12 0 1 0 1 0 14 0 3 0 13 0 17	LEGG 3 118 3 0 5 14 1 132 1 4 6 24 8 147 5 175	PES BUS 2 0 0 2 0 0 0 0 0 0 0 0	0 120 0 0 0 14 0 134 0 24 0 147 0 175	165 3 13 181 3 29 121 153	PES B 1 0 0 0 1 0 0 0 0 0 0 0 0 0 0 0 0 0 0 0	0 0 0 0 0 0 0	166 3 13 182 3 29	108 1 1 1 1 1 1 1 1 1 1 1 1 1 1 1 1 1 1	BUS 1 0 0 0 1 0 0 0 0 0 1 0 0 0 0 0 0 0 0 0	109 1 13 123 1 35 139 175	512 7 555 574 9 124 540 673	6 0 0 6 0 7 7	0 0 0 0 0 0 0	518 7 55 580 9 124 547 680	524 7 55 586 9 124
ORIGINE BUOZZI BUOZZI BUOZZI BUOZZI S.Anna (Ponte) S.Anna (Ponte) S.Anna (Ponte) S.Anna (Ponte) Bigliorini	DX Dr Sx Dx Dr Sx	S.Anna (Ponte) Bigliorini Salita S.Anna Tot. Bigliorini Salita S.Anna Buozzi Tot. Salita S.Anna	121 3 15 139 1 36 135 172	2 0 0 2 0 0 3 3	0 12 0 0 14 0 14 0 3 0 13 0 17	LEGG 3 118 3 0 5 14 1 132 1 4 6 24 8 147 5 175 0 0	2 0 0 2 0 0 0 0 0 0 0 0 0 0 0 0 0 0 0 0	0 120 0 0 0 14 0 134 0 24 0 147 0 175	165 3 13 181 3 29 121 153	PES B 1 0 0 1 0 0 0 2 2 0 0 0 1 0 0 0 0 0 0	0 0 0 0 0 0 0 0 0 0	166 3 13 182 3 29 123	108 1 1 1 1 1 1 1 1 1 1 1 1 1 1 1 1 1 1	BUS 1 0 0 0 0 1 0 0 0 0 0 0 0 0 0 0 0 0 0 0	109 1 13 123 1 35 139 175	512 7 555 574 9 124 540 673	6 0 0 6	0 0 0 0 0 0 0 0 0 0	518 7 55 580 9 124 547 680	524 7 55 586 9 124 554
ORIGINE Buozzi Buozzi Buozzi Buozzi S.Anna (Ponte) S.Anna (Ponte) S.Anna (Ponte) S.Anna (Ponte) Bigliorini	DIR Dx Dr Sx Dx Dr Sx Dr Dr Sx	S.Anna (Ponte) Bigliorini Salita S.Anna Tot. Bigliorini Salita S.Anna Bugzi Tot. Salita S.Anna Buozzi Tot. Salita S.Anna Buozzi	121 3 15 139 1 36 135 172	2 0 0 2 0 2 0 0 3 3 3	0 12 0 14 0 14 0 3 0 13 0 17	LEGG 3 118 0 0 14 1 132 1 4 6 24 8 147 5 175 0 0 2 2	PES BUS 2 0 0 2 0 0 0 0 0 0 0 0 0	0 120 0 0 0 14 0 134 0 4 0 24 0 147 0 175 0 0	165 3 13 181 3 29 121 153 1	PES B 1 0 0 1 0 0 2 2 2 0 0 0	8US TO 0 0 0 0 0 0 0 0 0 0 0 0 0 0 0 0 0 0	166 3 13 182 3 29 123	108 1 1 1 1 1 1 1 1 1 1 1 1 1 1 1 1 1 1	BUS 1	109 1 13 123 1 35 139 175 0	512 7 555 574 9 124 540 673 1 5	6 0 0 6 0 7 7	0 0 0 0 0 0 0 0 0 0 0	518 7 55 580 9 124 547 680	524 7 55 586 9 124 554
ORIGINE Buozzi Buozzi Buozzi Buozzi S.Anna (Ponte) S.Anna (Ponte) S.Anna (Ponte) S.Anna (Ponte) Bigliorini Bigliorini Bigliorini	DX Dr Sx Dx Dr Sx	S.Anna (Ponte) Bigliorini Salita S.Anna Tot. Bigliorini Salita S.Anna Buozzi Tot. Salita S.Anna Buozzi S.Anna Buozzi S.Anna	121 3 15 139 1 36 135 172 0 2	2 0 0 0 2 0 0 3 3 3 0 0 0 0 0 0 0 0 0 0	0 12 0 14 0 14 0 3 0 13 0 17	LEGG 3 118 0 0 14 1 132 1 4 5 24 8 147 5 175 0 0 0 2 2 2 2 3	PES BUS 2 0 0 2 0 0 0 0 0 0 0 0 0 0 0 0 0 0	TOT 120 0 120 0 0 0 144 0 147 0 147 0 175 0 0 0 2 0 0 3 0 3 0 3 0 0 3 0 0	165 3 13 181 3 29 121 153 1 1	PES B 1 0 0 1 1 0 0 2 2 2 0 0 0 0 0	8US TO O O O O O O O O	166 3 13 182 3 29 123	108 1 1 1 1 1 1 1 1 1 1 1 1 1 1 1 1 1 1	BUS 1	109 1 13 123 1 35 139 175 0 0	512 7 55 574 9 124 540 673 1 5	6 0 0 6 0 7 7	0 0 0 0 0 0 0 0 0 0 0	TOT 518 7 55 580 9 124 547 680 1 5 5	524 7 55 586 9 124 554 687 1 5
ORIGINE BUOZZI BUOZZI BUOZZI BUOZZI S.Anna (Ponte) S.Anna (Ponte) S.Anna (Ponte) S.Anna (Ponte) Bigliorini Bigliorini Bigliorini Bigliorini	DX Dr Sx Dx Dr Sx Dr Sx	S.Anna (Ponte) Bigliorini Salita S.Anna Tot. Bigliorini Salita S.Anna Buozzi Tot. Salita S.Anna Buozzi S.Anna Buozzi S.Anna Fuozzi S.Anna	121 3 15 139 1 36 135 172 0 2 2	2 0 0 0 2 0 0 3 3 3 0 0 0 0 0 0 0 0 0 0	0 12 0 14 0 14 0 3 0 13 0 17 0 0	LEGG 3 118 3 0 5 14 1 132 1 4 6 24 8 147 5 175 0 0 0 2 2 2 2 3 4 5	PES BUS 2 0 0 2 0 0 0 0 0 0 0 0 0 0 0 0 0 0 0	TOT	165 3 13 181 3 29 121 153 1 1	PES B 1 0 0 1 0 2 2 0 0 0 0 0 0 0 0 0 0	8US TO 0 0 0 0 0 0 0 0 0 0 0 0 0 0 0 0 0 0	166 3 13 182 3 29 123 155 1 1 0 2	108 1 1 1 1 1 1 1 1 1 1 1 1 1 1 1 1 1 1	BUS 1	109 1 13 123 1 35 139 175 0 0	512 7 55 574 9 124 540 673 1 5 5	6 0 0 6 0 7 7 7 0 0 0	0 0 0 0 0 0 0 0 0 0 0	TOT 518 7 55 580 9 124 547 680 1 5 5 11	524 7 55 586 9 124 554 687 1 5
ORIGINE BUOZZI BUOZZI BUOZZI BUOZZI S.Anna (Ponte) S.Anna (Ponte) S.Anna (Ponte) S.Anna (Ponte) Bigliorini Bigliorini Bigliorini Salita S.Anna	DIR Dx Dr Sx Dx Dr Sx Dr Sx Dx Dr Sx Dx Dr Sx	S.Anna (Ponte) Bigliorini Salita S.Anna Tot. Bigliorini Salita S.Anna Buozzi Tot. Salita S.Anna Buozzi S.Anna Buozzi S.Anna (Ponte) Tot. Buozzi	121 3 15 139 1 36 135 172 0 2 2 4 25	2 0 0 0 2 0 0 0 0 0 0 0 0 0 0 0 0 0 0 0	S TOT 0 12 0 14 0 14 0 3 0 13 0 17 0 0 0 0 0 0 0 0 0 2	LEGG 3 118 3 0 5 14 1 132 1 4 6 24 8 147 5 175 0 0 0 2 2 2 2 3 4 5 5 19	PES BUS 2 0 0 2 0 0 0 0 0 0 0 0 0 0 0 0 0 0	TOT	165 3 13 181 181 121 153 1 1 1 0 9	PES B 1 0 0 1 0 2 2 0 0 0 0 0 0 0 0 0	BUS TO 0 0 0 0 0 0 0 0 0 0 0 0 0 0 0 0 0 0	166 3 13 182 3 29 123 155 1 1 0 2	108 1 1 1 1 1 1 1 1 1 1 1 1 1 1 1 1 1 1	BUS 1	109 1 13 123 1 35 139 175 0 0 0	512 7 555 574 9 124 540 673 1 5 5 11 79	6 0 0 6 0 0 7 7 7 0 0 0 0 0 0 0 0 0 0	0 0 0 0 0 0 0 0 0 0 0 0	TOT 518 7 55 580 9 124 547 680 1 5 5 11 79	524 7 55 586 9 124 554 687 1 5 5 11
ORIGINE Buozzi Buozzi Buozzi Buozzi S.Anna (Ponte) S.Anna (Ponte) S.Anna (Ponte) S.Anna (Ponte) Bigliorini Bigliorini Bigliorini Salita S.Anna Salita S.Anna	DIR Dx Dr Sx Dx Dr Sx Dr Sx Dx Dr Dx Dr Sx	S.Anna (Ponte) Bigliorini Salita S.Anna Tot. Bigliorini Salita S.Anna Buozzi Tot. Salita S.Anna Buozzi S.Anna Buozzi S.Anna (Ponte) Tot. Buozzi S.Anna (Ponte)	121 3 15 139 1 1 1 36 135 172 0 2 2 4 25 13	2 0 0 0 0 3 3 3 0 0 0 0 0 0 0 0 0 0 0 0	S TOT 0 12 0 14 0 14 0 3 0 13 0 17 0 0 0 0 0 0 0 1	LEGG 3 118 3 0 5 14 1 132 1 4 6 24 8 147 5 175 0 0 2 2 3 4 5 5 19 3 12	PES BUS 0 0 0 0 0 0 0 0 0 0 0 0 0 0 0 0 0 0 0	TOT	165 3 13 181 181 121 153 11 1 0 9 131	PES B 1 0 0 1 0 0 2 2 0 0 0 0 0 0 0 0 0	BUS TO 0 0 0 0 0 0 0 0 0 0 0 0 0 0 0 0 0 0	166 3 13 182 3 29 123 155 1 1 0 2	LEGG PES 108	BUS 1	109 1 13 123 1 35 139 175 0 0 0 0 26	512 7 555 574 9 124 540 673 1 5 5 11 79 52	6 0 0 6 0 7 7 7 0 0 0	0 0 0 0 0 0 0 0 0 0 0 0 0	TOT 518 7 55 580 9 124 547 680 1 5 5 11 79 52	524 7 55 586 9 124 554 687 1 5
ORIGINE Buozzi Buozzi Buozzi Buozzi S.Anna (Ponte) S.Anna (Ponte) S.Anna (Ponte) S.Anna (Ponte) Bigliorini Bigliorini Bigliorini Bigliorini Salita S.Anna Salita S.Anna	DIR Dx Dr Sx Dx Dr Sx Dr Sx Dx Dr Sx Dx Dr Sx	S.Anna (Ponte) Bigliorini Salita S.Anna Tot. Bigliorini Salita S.Anna Buozzi Tot. Salita S.Anna Buozzi S.Anna (Ponte) Tot. Buozzi S.Anna (Ponte) Bigliorini	121 3 15 139 1 36 135 172 0 2 2 4 25 13 13 15 13 15 13 15 14 14 15 15 15 15 15 15 15 15 15 15 15 15 15	8 BUS 2 0 0 2 0 0 3 3 0 0 0 0 0 0 0 0 0 0	6 TOT 0 12 0 1 0 14 0 3 0 13 0 17 0 0 0 0 0 1	LEGG 3 118 3 0 5 14 1 132 1 4 6 24 8 147 5 175 0 0 2 2 2 3 4 5 5 19 3 12 0 0	PES BUS 0 0 0 0 0 0 0 0 0 0 0 0 0 0 0 0 0 0	TOT	165 3 13 181 3 29 121 153 1 1 0 2 9 131	PES B 1 0 0 1 0 0 2 2 0 0 0 0 0 0 0 0 0 0	8US TO 0 0 0 0 0 0 0 0 0 0 0 0 0 0 0 0 0 0	166 3 13 182 3 29 123 155 1 1 0 2 9 13 1	LEGG PES	BUS 1	109 1 13 123 1 35 139 175 0 0 0	512 7 555 574 9 124 540 673 1 5 5 11 79 52 1	6 0 0 6 0 0 7 7 7 0 0 0 0 0 0 0 0 0 0	0 0 0 0 0 0 0 0 0 0 0 0 0 0 0 0	TOT 518 7 55 580 9 124 547 680 1 5 5 11 79 52 1	524 7 55 586 9 124 554 687 1 5 5 11 79 52
ORIGINE BUOZZI BUOZZI BUOZZI BUOZZI S.Anna (Ponte) S.Anna (Ponte) S.Anna (Ponte) S.Anna (Ponte) Bigliorini Bigliorini Bigliorini Bigliorini Salita S.Anna Salita S.Anna Salita S.Anna	DIR Dx Dr Sx Dx Dr Sx Dr Sx Dx Dr Dx Dr Sx	S.Anna (Ponte) Bigliorini Salita S.Anna Tot. Bigliorini Salita S.Anna Buozzi Tot. Salita S.Anna Buozzi S.Anna Buozzi S.Anna (Ponte) Tot. Buozzi S.Anna (Ponte) Bigliorini Tot.	121 3 15 139 1 36 135 172 0 2 2 4 25 13 36 135 172 0 2 2 2 3 4	8 BUS 2 0 0 2 0 0 3 3 0 0 0 0 0 0 0 0 0 0	6 TOT 0 12 0 1 0 14 0 3 0 13 0 17 0 0 0 2 0 1 0 3	LEGG 3 118 3 0 5 14 1 132 1 4 6 24 8 147 5 175 0 0 0 2 2 2 2 3 3 4 5 5 19 3 122 0 0 0 8 31	PES BUS 2 0 0 2 0 0 0 0 0 0 0 0 0 0 0 0 0 0 0	TOT	165 3 13 181 3 29 121 153 1 1 1 1 2 9 13 1 13 2 9	PES B 1 0 0 1 0 2 2 0 0 0 0 0 0 0 0 0 0 0 0 0	BUS TO 0 0 0 0 0 0 0 0 0 0 0 0 0 0 0 0 0 0	166 3 13 182 29 123 155 1 1 0 2 9 13 1 1 23	108 1 1 1 1 1 1 1 1 1 1 1 1 1 1 1 1 1 1	BUS 1	109 1 13 123 1 35 139 175 0 0 0 0 26 14 0 40	512 7 555 574 9 124 540 673 1 5 5 11 79 52 1	6 0 0 6 6 0 0 7 7 7 0 0 0 0 0 0 0 0 0 0	0 0 0 0 0 0 0 0 0 0 0 0 0 0 0 0	TOT 518 7 55 580 9 124 547 680 1 5 5 11 79 52 1 132	524 7 55 586 9 124 554 687 1 5 5 11 79 52 1
ORIGINE BUOZZI BUOZZI BUOZZI BUOZZI S.Anna (Ponte) S.Anna (Ponte) S.Anna (Ponte) S.Anna (Ponte) Bigliorini Bigliorini Bigliorini Bigliorini Salita S.Anna Salita S.Anna Salita S.Anna Salita S.Anna	DIR Dx Dr Sx Dx Dr Sx Dr Sx Dx Dr Dx Dr Sx	S.Anna (Ponte) Bigliorini Salita S.Anna Tot. Bigliorini Salita S.Anna Buozzi Tot. Salita S.Anna Buozzi Tot. Salita S.Anna Buozzi S.Anna (Ponte) Tot. Buozzi S.Anna (Ponte) Bigliorini Tot. Buozzi	121 3 15 139 1 1 36 135 172 0 2 2 2 4 25 13 0 38	8 BUS 2 0 0 2 0 0 3 3 0 0 0 0 0 0 0 0 0 0 3	S TOT 0 12 0 1 0 14 0 3 0 13 0 17 0 17 0 0 0 0 0 0 0 1 0 1 0 1 0 1 0 1 0 1 0 1	LEGG 3 118 3 0 5 14 1 132 1 4 6 8 147 5 175 0 0 0 2 2 2 2 3 3 4 5 5 19 3 12 0 0 0 8 31 5 168	PES BUS 2 0 0 2 0 0 0 0 0 0 0 0 0 0 0 0 0 0 0	TOT	165 3 131 181 3 299 121 153 1 1 1 2 9 131	PES B 1 0 0 1 0 0 2 2 0 0 0 0 0 0 0 0 0 0	8US TO 0 0 0 0 0 0 0 0 0 0 0 0 0 0 0 0 0 0	166 3 13 182 3 29 123 155 1 1 0 2 9 13 1 1 23 13 13	LEGG PES	BUS 1 0 0 0 0 0 0 0 0 0 0 0 0 0 0 0 0 0 0 0	109 1 13 123 1 35 139 175 0 0 0 0 26 14 0 40	512 7 555 574 9 124 673 1 5 5 5 11 7 9 5 2 1 132 624	6 0 0 6 0 7 7 7 0 0 0 0 0	0 0 0 0 0 0 0 0 0 0 0 0 0 0 0 0 0 0 0	TOT 518 7 55 580 9 124 547 680 1 5 5 11 79 52 1 132 631	524 7 555 586 9 124 554 687 1 5 5 11 79 52 1 132 638
ORIGINE BUOZZI BUOZZI BUOZZI BUOZZI S.Anna (Ponte) S.Anna (Ponte) S.Anna (Ponte) S.Anna (Ponte) Bigliorini Bigliorini Bigliorini Bigliorini Salita S.Anna Salita S.Anna Salita S.Anna	DIR Dx Dr Sx Dx Dr Sx Dr Sx Dx Dr Dx Dr Sx	S.Anna (Ponte) Bigliorini Salita S.Anna Tot. Bigliorini Salita S.Anna Buozzi Tot. Salita S.Anna Buozzi S.Anna Buozzi S.Anna (Ponte) Tot. Buozzi S.Anna (Ponte) Bigliorini Tot.	121 3 15 139 1 36 135 172 0 2 2 4 25 13 36 135 172 0 2 2 2 3 4	8 BUS 2 0 0 2 0 0 3 3 0 0 0 0 0 0 0 0 0 0	6 TOT 0 12 0 1 0 14 0 3 0 13 0 17 0 0 0 2 0 1 0 3	LEGG 3 118 3 0 5 14 1 132 1 4 6 24 8 147 5 175 0 0 0 2 2 2 2 3 3 4 5 5 19 3 12 0 0 0 8 31 5 168	PES BUS 2 0 0 2 0 0 0 0 0 0 0 0 0 0 0 0 0 0 0	TOT	165 3 131 181 3 299 121 153 1 1 1 2 9 131	PES B 1 0 0 1 1 0 0 2 2 0 0 0 0 0 0 0 2 1 1 1 1	BUS TO 0 0 0 0 0 0 0 0 0 0 0 0 0 0 0 0 0 0	166 3 13 182 29 123 155 1 1 0 2 9 13 1 1 23	108	BUS 1 0 0 0 0 0 0 0 0 0 0 0 0 0 0 0 0 0 0 0	109 1 13 123 1 35 139 175 0 0 0 0 26 14 0 40	512 7 555 574 9 124 540 673 1 5 5 11 79 52 1	6 0 0 6 6 0 0 7 7 7 0 0 0 0 0 0 0 0 0 0	0 0 0 0 0 0 0 0 0 0 0 0 0 0 0 0	TOT 518 7 55 580 9 124 547 680 1 5 5 11 79 52 1 132	524 7 55 586 9 124 554 687 1 5 5 11 79 52 1 132 638 581
ORIGINE BUOZZI BUOZZI BUOZZI BUOZZI S.Anna (Ponte) S.Anna (Ponte) S.Anna (Ponte) S.Anna (Ponte) Bigliorini Bigliorini Bigliorini Bigliorini Salita S.Anna Salita S.Anna Salita S.Anna Salita S.Anna	DIR Dx Dr Sx Dx Dr Sx Dr Sx Dx Dr Dx Dr Sx	S.Anna (Ponte) Bigliorini Salita S.Anna Tot. Bigliorini Salita S.Anna Buozzi Tot. Salita S.Anna Buozzi Tot. Salita S.Anna Buozzi S.Anna (Ponte) Tot. Buozzi S.Anna (Ponte) Bigliorini Tot. Buozzi	121 3 15 139 1 1 36 135 172 0 2 2 2 4 25 13 0 38	8 BUS 2 0 0 2 0 0 3 3 0 0 0 0 0 0 0 0 0 0 3	S TOT 0 12 0 1 0 14 0 3 0 13 0 17 0 17 0 0 0 0 0 0 0 0 0 0 0 0 0 0 0 0 0 0 0	LEGG 3 118 3 0 5 14 1 132 1 4 6 8 147 5 175 0 0 0 2 2 2 2 3 3 4 5 5 19 3 12 0 0 0 8 31 5 168	PES BUS 2 0 0 2 0 0 0 0 0 0 0 0 0 0 0 0 0 0 0	TOT	165 3 131 181 3 299 121 153 1 1 1 2 9 131	PES B 1 0 0 1 1 0 2 2 2 0 0 0 0 0 0 0 2	8US TO 0 0 0 0 0 0 0 0 0 0 0 0 0 0 0 0 0 0	166 3 13 182 3 29 123 155 1 1 0 2 9 13 1 1 23 13 13	LEGG PES	BUS 1 0 0 0 0 0 0 0 0 0 0 0 0 0 0 0 0 0 0 0	109 1 13 123 1 35 139 175 0 0 0 0 26 14 0 40	512 7 555 574 9 124 673 1 5 5 5 11 7 9 5 2 1 132 624	6 0 0 0 0 0 0 0 0 0 0 0 0 0 0 0 0 0 0 0	0 0 0 0 0 0 0 0 0 0 0 0 0 0 0 0 0 0 0	TOT 518 7 55 580 9 124 547 680 1 5 5 11 79 52 1 132 631	524 7 55 586 9 124 554 687 1 5 5 11 79 52 1 132 638

Tabella 5: Movimenti di svolta rilevati all'intersezione tra salita Sant'Anna, via Bruno Buozzi, via Matteotti e via Biglionino

Qui di seguito si riportano i grafici dei dati rilevati suddivisi per intervalli di 15'.

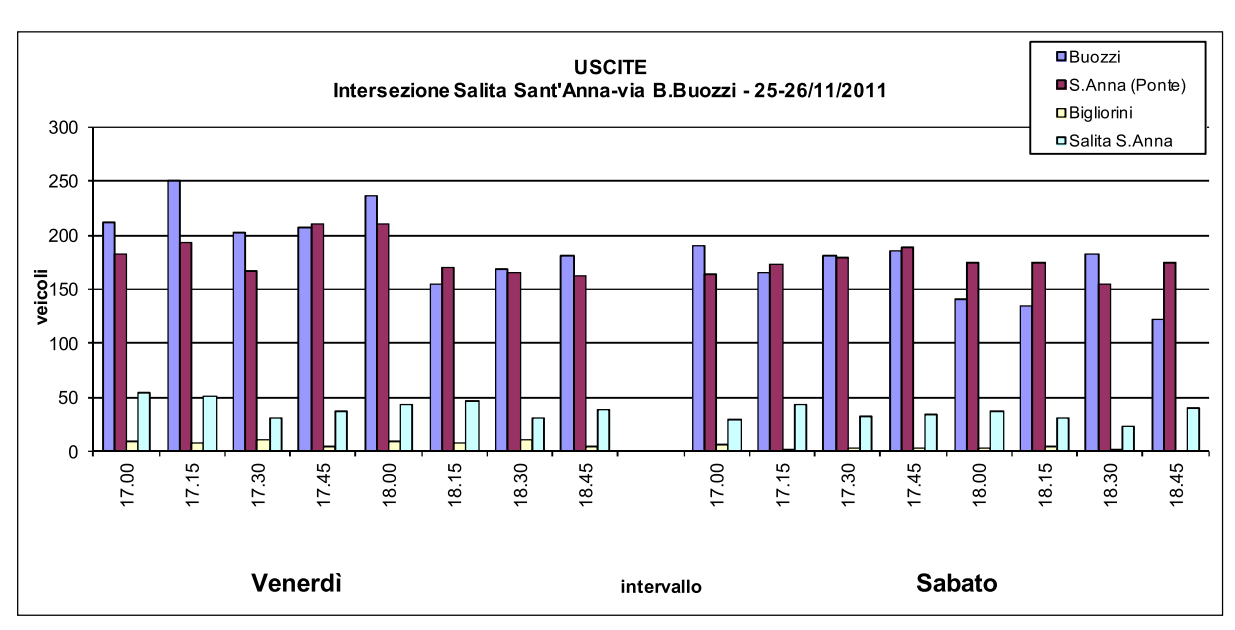


Grafico 17: Valori di flusso in ingresso all'intersezione tra salita Sant'Anna, via Bruno Buozzi e via Biglionino, diversificati per strada di provenienza

Rev. Gennaio 2012

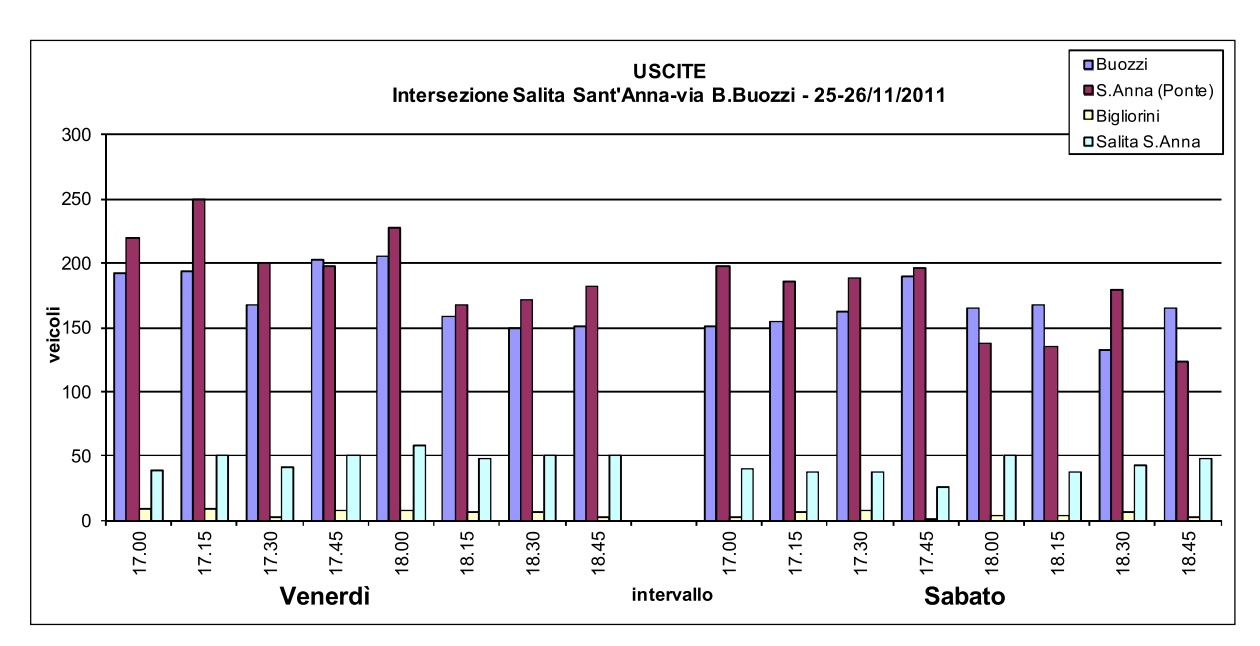


Grafico 18: Valori di flusso in uscita dall'intersezione tra salita Sant'Anna, via Bruno Buozzi e via Biglionino, diversificati per strada di provenienza

Viene quindi riportata l'esposizione dei dati per intervalli orari.

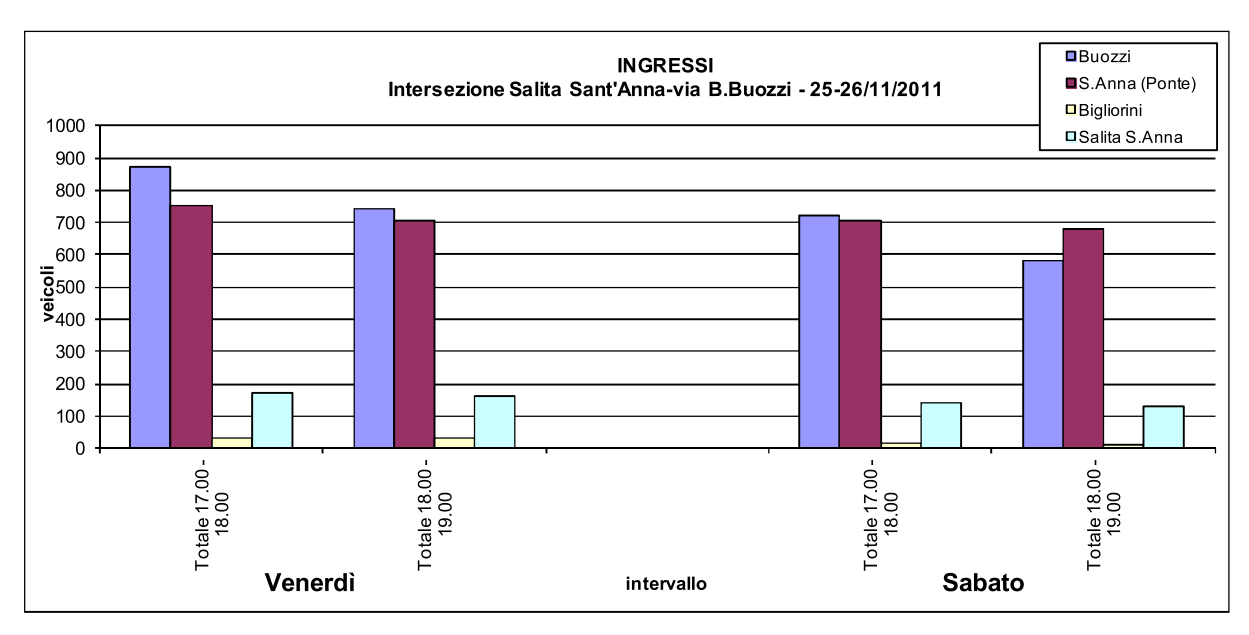


Grafico 19: Valori di flusso orari in ingresso all'intersezione tra salita Sant'Anna, via Bruno Buozzi e via Biglionino, diversificati per strada di provenienza

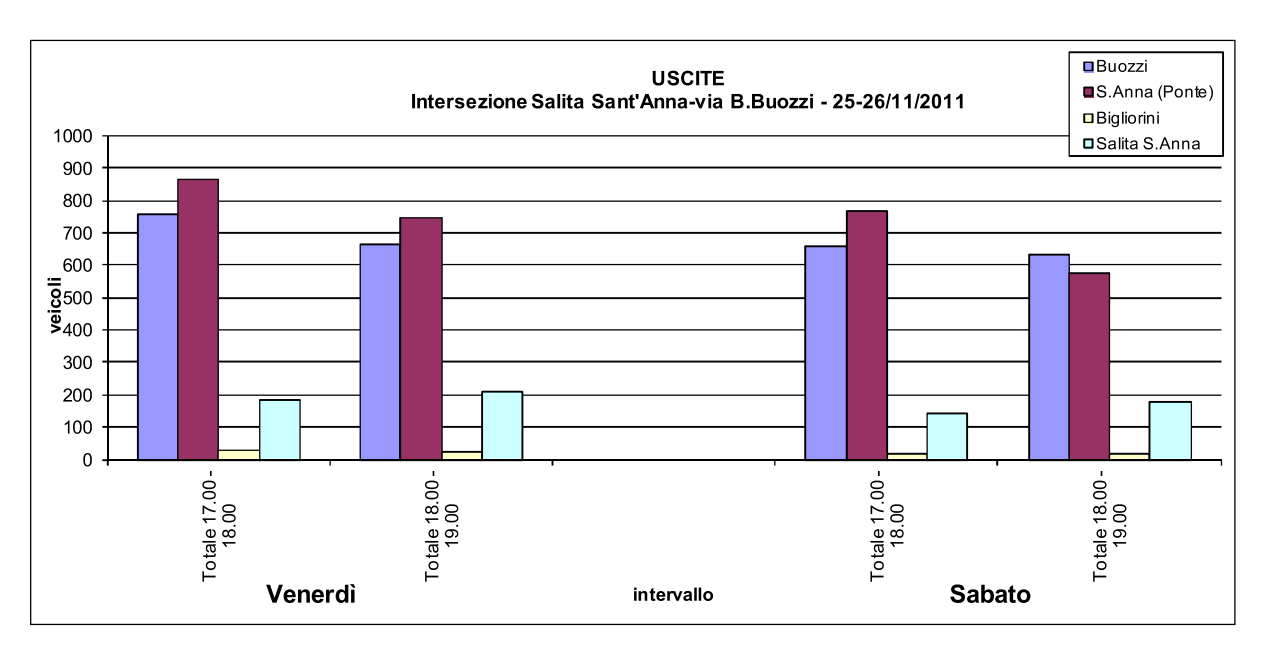
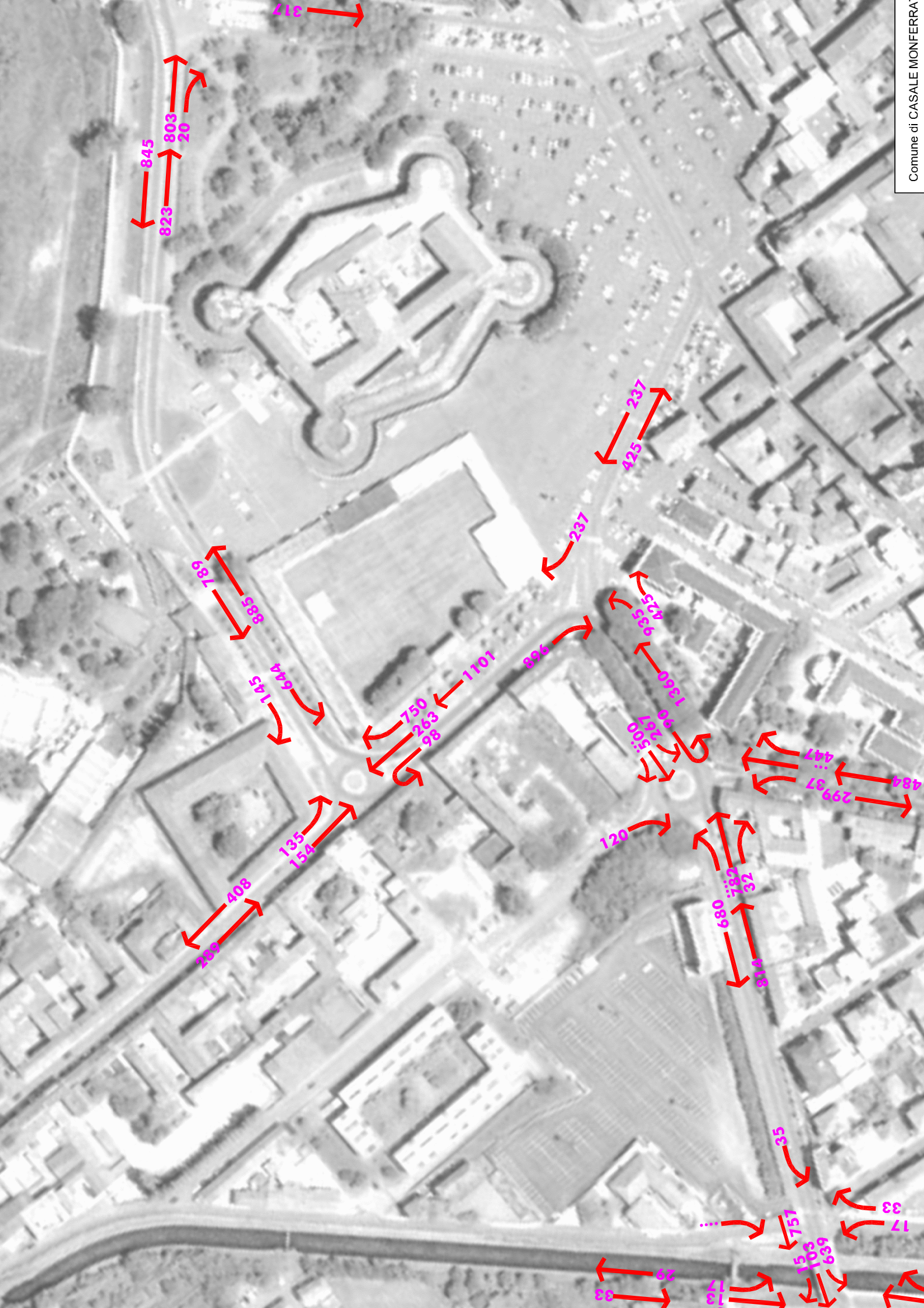


Grafico 20: Valori di flusso orari in uscita dall'intersezione tra salita Sant'Anna, via Bruno Buozzi e via Biglionino, diversificati per strada di provenienza

3.6 Individuazione e analisi dell'ora di punta

I rilievi di traffico effettuati hanno evidenziato valori di picco nell'intervallo 17.00-18.00 del venerdì 25 novembre 2011, corrispondenti complessivamente a circa 800-1100 veq/h a seconda delle tratte, che impegnano il percorso viale Lungo Po - via XX Settembre - salita Sant'Anna - via Bruno Buozzi, rimarcandone l'assoluta importanza come viabilità urbana di attraversamento dell'abitato comunale.

Di seguito si riporta il flussogramma rilevato nell'ora di punta 17.00-18.00 del venerdì (ST/1.1-Flussogramma stato di fatto).



4 LIVELLI DI SERVIZIO ATTUALI

4.1 Metodi

L'analisi delle prestazioni delle diverse componenti del sistema viario vengono sviluppate facendo riferimento alla condizione di area urbana con flusso interrotto (intersezioni).

La verifica delle prestazioni delle strade con flusso interrotto si riconduce sostanzialmente al livello di servizio delle intersezioni. Riguardo ai metodi e alle tecniche quantitative utilizzati si fa riferimento a quanto presente in letteratura a partire da:

- algoritmi e modelli di stima dei Livelli di Servizio su intersezioni a raso libere proposti da HCM 1985 e HCM 2000;
- algoritmi e modelli di calcolo delle riserve di capacità e dei tempi di ritardo su intersezioni a rotatoria proposto originariamente da DSTR Division Sécurité et techniques routière Cetra de l'Ouest - Setra-Certu in Programme de calcul de capacité des carrefour giratoires.

Infine, l'analisi del sistema stradale nel suo insieme (serie di intersezioni e di tratte stradali) utilizza:

- modelli di distribuzione della domanda di trasporto;
- modelli di assegnazione della domanda di trasporto a reti viarie, proposto, ad esempio, da Frank e Wolfe, applicando il modello di Wardrop;

4.1.1 Livelli di servizio su tratte stradali

La metodologia indicata da HCM per la determinazione dei Livelli di Servizio su tratte stradali si suddivide in:

- Metodi per la determinazione dei LOS su tratte a carreggiata separata (Multilane Higway);
- Metodi per la determinazione dei LOS su tratte a carreggiata unica (Two-lane Higway).

Nella metodologia le caratteristiche del deflusso dei veicoli sono analizzate in condizioni di:

- Sottosaturazione;
- Scarico di coda;

Rev. Gennaio 2012

Sovrasaturazione.

Per condizioni di <u>sottosaturazione</u> il deflusso in un punto non è condizionato dalle condizioni di monte o di valle (non si verifica la presenza di onde di shock).

Per condizioni di <u>scarico di coda</u> il deflusso è condizionato dal verificarsi di colli di bottiglia con aumento repentino della portata e della velocità.

Per condizioni di <u>sovrasaturazione</u> il deflusso a monte di un collo di bottiglia o di una interruzione è influenzato dalla perturbazione e l'onda di shock si propaga risalendo la corrente.

La relazione Flusso/Velocità è del tipo:

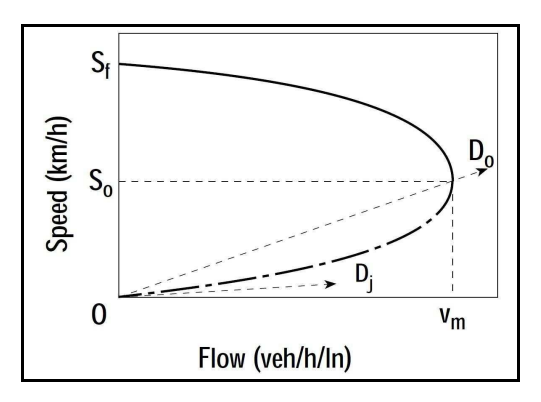


Figura 14: relazione flusso/velocità

4.1.2 Determinazione dei LOS su tratte a carreggiata separata

Il metodo proposto da HCM per carreggiate separate, dove insiste la presenza di accessi incontrollati e minori velocità di deflusso, determina il LOS a partire da condizioni ideali di deflusso che sono definite nel modo seguente:

- Terreno pianeggiante (<= 2%);
- Largh. Minima corsie 3,60 m;
- Distanza ostacoli laterali <= 1,80 m;
- Assenza di accessi a raso;
- Presenza di sole autovetture;
- Free low speed > 100 km/h;
- Utenti abituali.

Il metodo propone la determinazione del FFS (Free Flow Speed) nel modo seguente:

- FFS misurata direttamente: solo in caso di deflusso moderato (< 1400 veic/h/corsia)
- FFS ricavata indirettamente:

$$FFS = BFFS - f_{IW} - f_{IC} - f_{M} - f_{A}$$

dove:

BFFS = FFS di base (km/h), in genere 100 km/h;

 f_{LW} = fattore correttivo per larghezza corsie, (km/h);

 f_{LC} = fattore correttivo per larghezza banchina, (km/h);

 $f_{\rm M}$ = fattore correttivo per separazione carreggiate, (km/h);

 f_A = fattore correttivo per presenza di accessi a raso, (km/h).

Per quanto attiene i diversi fattori abbiamo:

EXHIBIT 21-4. ADJ	USTMENT FOR LANE WIDTH
Lane Width (m)	Reduction in FFS (km/h)
3.6	0.0
3.5	1.0
3.4	2.1
3.3	3.1
3.2	5.6
3.1	8.1
3.0	10.6

Tabella 6: fattore correttivo per larghezza corsie

Four-Lane	Highways	Six-Lane Highways		
Total Lateral Clearance ^a (m)	Reduction in FFS (km/h)	Total Lateral Clearance ^a (m)	Reduction in FFS (km/h)	
3.6	0.0	3.6	0.0	
3.0	0.6	3.0	0.6	
2.4	1.5	2.4	1.5	
1.8	2.1	1.8	2.1	
1.2	3.0	1.2	2.7	
0.6	5.8	0.6	4.5	
0.0	8.7	0.0	6.3	

Tabella 7: fattore correttivo per larghezza banchina (somma della banchina interna ed esterna)

EXHIBIT 21-6. ADJUSTMENT FOR MEDIAN TYPE				
Median Type Reduction in FFS (km/h)				
Undivided highways	2.6			
Divided highways (including TWLTLs)	0.0			

Tabella 8: fattore correttivo per tipo di separazione della carreggiata

EXHIBIT 21-7. ACCESS-F	POINT DENSITY ADJUSTMENT				
Access Points/Kilometer Reduction in FFS (km/h)					
0	0.0				
6	4.0				
12	8.0				
18	12.0				
≥ 24	16.0				

Tabella 9: fattore correttivo per presenza di accessi laterali a raso (in base al numero di questi)

Determinazione tasso di flusso Vp:

$$Vp = \frac{V}{PHF * N * f_{HV} * f_{D}}$$

dove:

V =flusso orario (veic/h);

PHF = fattore ora di punta;

N = numero di corsie per direzione;

 f_{HV} = fattore correttivo per veicoli pesanti;

 f_p = fattore correttivo per tipologia utenti (1 per utenti abituali, altrimenti da 0,85 a 1)

Determinazione fattore correttivo per veicoli pesanti f_{HV}:

$$f_{HV} = \frac{1}{1 + P_T(E_T - 1) + P_R(E_R - 1)}$$

dove:

 E_{T} , E_{R} = fattori di equivalenza;

 P_{T_r} , P_R = frazione di veicoli pesanti;

Attraverso velocità di flusso libero (FFS) e tasso di flusso (Vp) si determina la velocità media di deflusso S. Essa può essere determinata in modo grafico o analitico, secondo quanto riportato di seguito.

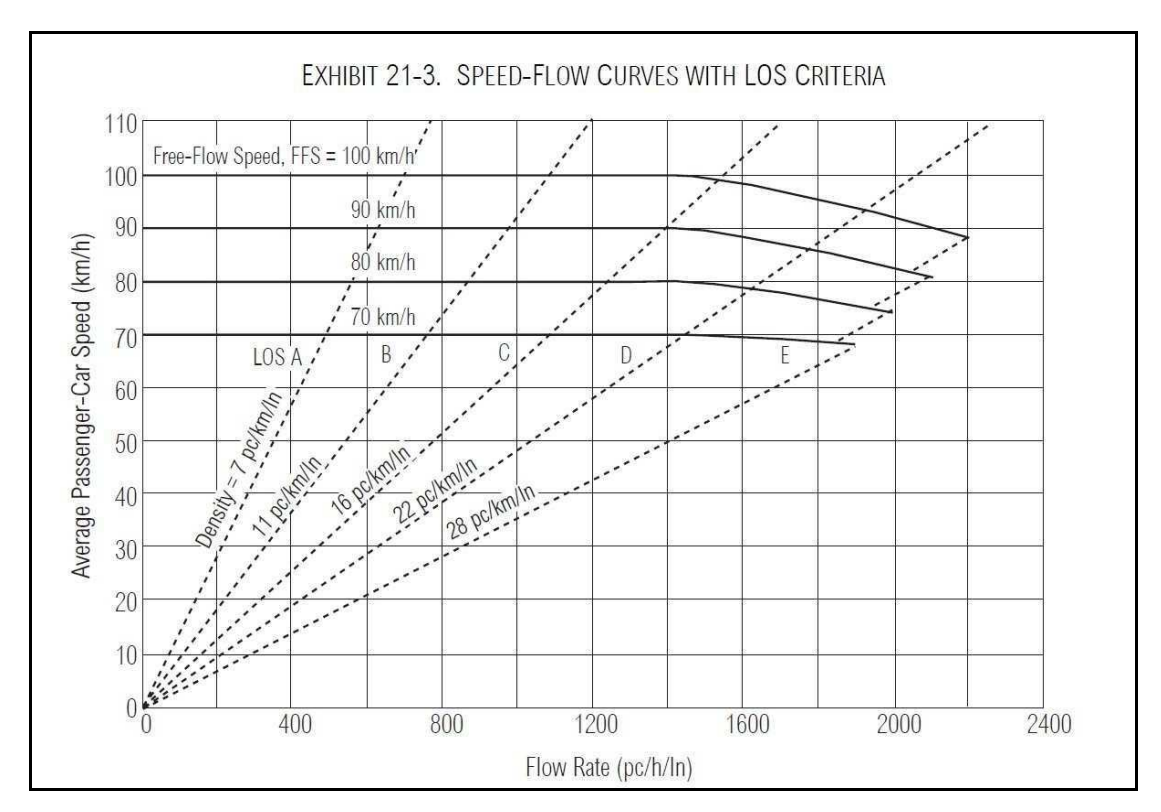


Figura 15: diagramma velocità di deflusso (S) - tasso di flusso (Vp)

For flow rate
$$(v_p)$$
, $v_p > 1400$ and $90 < FFS \le 100$ then
$$S = FFS - \left[\left(\frac{9.3}{25} FFS - \frac{630}{25} \right) \left(\frac{v_p - 1,400}{15.7FFS - 770} \right)^{131} \right]$$
For $v_p > 1,400$ and $80 < FFS \le 90$ then
$$S = FFS - \left[\left(\frac{10.4}{26} FFS - \frac{696}{26} \right) \left(\frac{v_p - 1,400}{15.6FFS - 704} \right)^{131} \right]$$
For $v_p > 1,400$ and $70 < FFS \le 80$ then
$$S = FFS - \left[\left(\frac{11.1}{27} FFS - \frac{728}{27} \right) \left(\frac{v_p - 1,400}{15.9FFS - 672} \right)^{131} \right]$$
For $v_p > 1,400$ and $FFS = 70$ then
$$S = FFS - \left[\left(\frac{3}{28} FFS - \frac{75}{14} \right) \left(\frac{v_p - 1,400}{25FFS - 1,250} \right)^{131} \right]$$
For $v_p \le 1,400$, then $S = FFS$

Tabella 10: formule analitiche per il calcolo della velocità di deflusso

Con il dato della velocità di deflusso (S) si ricava il valore di densità (in veic/km/corsia), utilizzando la seguente relazione:

$$D = \frac{Vp}{S}$$

Dal diagramma di Figura 15, con il valore di densità, si ricava anche il livello di servizio (LOS) del tratto di strada considerato. I criteri che caratterizzano ogni livello di servizio sono riassunti nella figura seguente:

432	EXHIBIT 21-2. LOS CRITERIA	FOR MUL	TILANE HIG	SHWAYS		90
B				LOS		
Free-Flow Speed	Criteria	Α	В	C	D	Е
100 km/h	Maximum density (pc/km/ln)	7	11	16	22	25
	Average speed (km/h)	100.0	100.0	98.4	91.5	88.0
	Maximum volume to capacity ratio (v/c)	0.32	0.50	0.72	0.92	1.00
	Maximum service flow rate (pc/h/ln)	700	1100	1575	2015	2200
90 km/h	Maximum density (pc/km/ln)	7	11	16	22	26
	Average speed (km/h)	90.0	90.0	89.8	84.7	80.8
	Maximum v/c	0.30	0.47	0.68	0.89	1.00
	Maximum service flow rate (pc/h/ln)	630	990	1435	1860	2100
80 km/h	Maximum density (pc/km/ln)	7	11	16	22	27
	Average speed (km/h)	80.0	80.0	80.0	77.6	74.1
	Maximum v/c	0.28	0.44	0.64	0.85	1.00
	Maximum service flow rate (pc/h/ln)	560	880	1280	1705	2000
70 km/h	Maximum density (pc/km/ln)	7	11	16	22	28
	Average speed (km/h)	70.0	70.0	70.0	69.6	67.9
	Maximum v/c	0.26	0.41	0.59	0.81	1.00
	Maximum service flow rate (pc/h/ln)	490	770	1120	1530	1900

Tabella 11: criteri per livelli di servizio per strade a carreggiate separate

Riassumendo, per tratte a carreggiata separata le portate di servizio, cioè il flusso massimo gestibile con un determinato Livello di Servizio, sono definite nel modo seguente:

LIVELLI DI SERVIZIO	нс	M 1985
	FLUSSO/CAPACITA'	FLUSSO (VEICOLI/ORA)
Α	0,35	≅ 700
В	0,54	≅ 1100
С	0,77	≅ 1550
D	0,93	≅ 1850
E	>0,93	

Tabella 12: Livelli di servizio su tratte stradali con carreggiata separata

4.1.3 Determinazione dei LOS su tratte a carreggiata unica

Per tratte a carreggiata unica valgono le seguenti regole:

- Strade a carreggiata unica e doppio senso di marcia;
- Le condizioni di deflusso in una direzione sono influenzate dal flusso in entrambe le direzioni e dalle caratteristiche del tracciato (condizioni di flusso interrotto);
- Il LOS richiede l'applicazione di equazioni diverse dalle precedenti (flusso ininterrotto).

I fattori che influenzano il LOS sono:

- Possibilità di superare veicoli più lenti;
- Entità del Flusso;
- Velocità del Flusso;
- % di tempo trascorsa in attesa di effettuare un sorpasso (PTSF);
- tipologia di strada (strade principali e strade secondario).

Il meccanismo di sorpasso dipende da:

- entità e tipologia flusso opposto;
- possibilità di sorpasso (linea mediana continua);
- velocità del veicolo da superare;
- caratteristiche del tracciato.

Calcolo di FFS (Free Flow Speed):

$$FFS = BFFS - f_{LS} - f_{A}$$

dove:

BFFS = FFS di base (km/h);

 f_{LS} = fattore correttivo per larghezza corsia e banchina;

 f_A = fattore correttivo per presenza di accessi a raso.

Ехніві	t 20-5. Adjustment	r (f _{ls}) for Lane Wid	TH AND SHOULDER WIE	OTH	
		Reduction in	FFS (km/h)		
	Shoulder Width (m)				
Lane Width (m)	≥ 0.0 < 0.6	≥ 0.6 < 1.2	≥ 1.2 < 1.8	≥ 1.8	
2.7 < 3.0	10.3	7.7	5.6	3.5	
$\geq 3.0 < 3.3$	8.5	5.9	3.8	1.7	
≥ 3.3 < 3.6	7.5	4.9	2.8	0.7	
≥ 3.6	6.8	4.2	2.1	0.0	

Tabella 13: fattore correttivo per larghezza corsia e banchina

EXHIBIT 20-6. ADJUS	TMENT (f _A) FOR ACCESS-POINT DENSITY
Access Points per km	Reduction in FFS (km/h)
0	0.0
6	4.0
12	8.0
18	12.0
≥ 24	16.0

Tabella 14: fattore correttivo per numero di accessi a raso

Determinazione tasso di flusso Vp:

$$Vp = \frac{V}{PHF * f_{HV} * f_{G}}$$

dove:

V =flusso orario (veic/h);

PHF = fattore ora di punta;

 f_{HV} = fattore correttivo per veicoli pesanti;

 f_G = fattore correttivo per pendenza media della strada.

Il fattore f_G è determinabile con le seguenti tabelle:

		Type of	f Terrain
Range of Two-Way Flow Rates (pc/h)	Range of Directional Flow Rates (pc/h)	Level	Rolling
0-600	0-300	1.00	0.71
> 600-1200	> 300–600	1.00	0.93
> 1200	> 600	1.00	0.99

TWO-WAY AND DIRECTIONAL SEGMENTS

			Terrain
Range of Two-Way Flow Rates (pc/h)	Range of Directional Flow Rates (pc/h)	Level	Rolling
0-600	0-300	1.00	0.77
> 600–1200	> 300–600	1.00	0.94
> 1200	> 600	1.00	1.00

Tabella 15: fattore correttivo per pendenza media della strada

Il fattore correttivo f_{HV} è determinabile con la relazione, già utilizzata:

$$f_{HV} = \frac{1}{1 + P_T(E_T - 1) + P_R(E_R - 1)}$$

dove:

 E_T , E_R = fattori di equivalenza;

 P_T , P_R = frazione di veicoli pesanti.

Determinazione della velocità media di deflusso ATS:

$$ATS = FFS - 0.0125Vp - f_{np}$$

dove:

ATS = velocità media di deflusso per entrambe le direzioni

 V_{D} = tasso di flusso;

FFS = velocità di flusso libero;

 f_{np} = frazione di strada in cui è impedito il sorpasso.

Il coefficiente f_{np} , è ricavabile dalla seguente tabella:

		Reduc	tion in Average	Travel Speed	(km/h)		
	No-Passing Zones (%)						
Two-Way Demand Flow Rate, v _p (pc/h)	0	20	40	60	80	100	
0	0.0	0.0	0.0	0.0	0.0	0.0	
200	0.0	1.0	2.3	3.8	4.2	5.6	
400	0.0	2.7	4.3	5.7	6.3	7.3	
600	0.0	2.5	3.8	4.9	5.5	6.2	
800	0.0	2.2	3.1	3.9	4.3	4.9	
1000	0.0	1.8	2.5	3.2	3.6	4.2	
1200	0.0	1.3	2.0	2.6	3.0	3.4	
1400	0.0	0.9	1.4	1.9	2.3	2.7	
1600	0.0	0.9	1.3	1.7	2.1	2.4	
1800	0.0	0.8	1.1	1.6	1.8	2.1	
2000	0.0	0.8	1.0	1.4	1.6	1.8	
2200	0.0	0.8	1.0	1.4	1.5	1.7	
2400	0.0	0.8	1.0	1.3	1.5	1.7	
2600	0.0	8.0	1.0	1.3	1.4	1.6	
2800	0.0	8.0	1.0	1.2	1.3	1.4	
3000	0.0	0.8	0.9	1.1	1.1	1.3	
3200	0.0	0.8	0.9	1.0	1.0	1.1	

Tabella 16: fattore correttivo per parte di strada con divieto di sorpasso

Determinazione del tempo speso accodati a veicoli più lenti (PTSF):

Rev. Gennaio 2012

$$PTSF = BPTSF + f_{d/np}$$

dove:

PTSF = percent-time-spent following

BPTSF = valore di base di PTSF;

 $f_{d/np}$ = fattore correttivo per la frazione di strada in cui è impedito il sorpasso e per la distribuzione del traffico nelle due direzioni.

Il valore di BPTSF si ricava utilizzando:

$$BPTSF = 100 \cdot \left(1 - e^{-0.000879V_p}\right)$$

Il fattore $f_{d/np}$ si ricava dalla seguente tabella:

		TWO	-WAY SEGMEN	TS		
1		Increa	se in Percent Tin	ne-Spent-Follow	ing (%)	
		100	No-Passin	Zones (%)	3i .	oi.
Two-Way Flow Rate, v _p (pc/h)	0	20	40	60	80	100
		Direc	tional Split = 50	/50	· ·	i.
≤ 200	0.0	10.1	17.2	20.2	21.0	21.8
400	0.0	12.4	19.0	22.7	23.8	24.8
600	0.0	11.2	16.0	18.7	19.7	20.5
800	0.0	9.0	12.3	14.1	14.5	15.4
1400	0.0	3.6	5.5	6.7	7.3	7.9
2000	0.0	1.8	2.9	3.7	4.1	4.4
2600	0.0	1.1	1.6	2.0	2.3	2.4
3200	0.0	0.7	0.9	1.1	1.2	1.4
		Direc	tional Split = 60	/40		i.
≤ 200	1.6	11.8	17.2	22.5	23.1	23.7
400	0.5	11.7	16.2	20.7	21.5	22.2
600	0.0	11.5	15.2	18.9	19.8	20.7
800	0.0	7.6	10.3	13.0	13.7	14.4
1400	0.0	3.7	5.4	7.1	7.6	8.1
2000	0.0	2.3	3.4	3.6	4.0	4.3
≥ 2600	0.0	0.9	1.4	1.9	2.1	2.2
(3)		Direc	tional Split = 70	/30	*	(S
≤ 200	2.8	13.4	19.1	24.8	25.2	25.5
400	1.1	12.5	17.3	22.0	22.6	23.2
600	0.0	11.6	15.4	19.1	20.0	20.9
800	0.0	7.7	10.5	13.3	14.0	14.6
1400	0.0	3.8	5.6	7.4	7.9	8.3
≥ 2000	0.0	1.4	4.9	3.5	3.9	4.2
*		Direc	tional Split = 80	/20		•
≤ 200	5.1	17.5	24.3	31.0	31.3	31.6
400	2.5	15.8	21.5	27.1	27.6	28.0
600	0.0	14.0	18.6	23.2	23.9	24.5
800	0.0	9.3	12.7	16.0	16.5	17.0
1400	0.0	4.6	6.7	8.7	9.1	9.5
≥ 2000	0.0	2.4	3.4	4.5	4.7	4.9
		Direc	tional Split = 90	/10		
≤ 200	5.6	21.6	29.4	37.2	37.4	37.6
400	2.4	19.0	25.6	32.2	32.5	32.8
600	0.0	16.3	21.8	27.2	27.6	28.0
800	0.0	10.9	14.8	18.6	19.0	19.4
≥1400	0.0	5.5	7.8	10.0	10.4	10.7

Tabella 17: fattore correttivo per la parte in cui è impedito il sorpasso e per la distribuzione del traffico nelle due direzioni

Rev. Gennaio 2012

Con a disposizione i valori della velocità media di deflusso (ATS) e la percentuale di tempo spesa accodati (PTSF) si determina il livello di servizio del tratto di strada considerato:

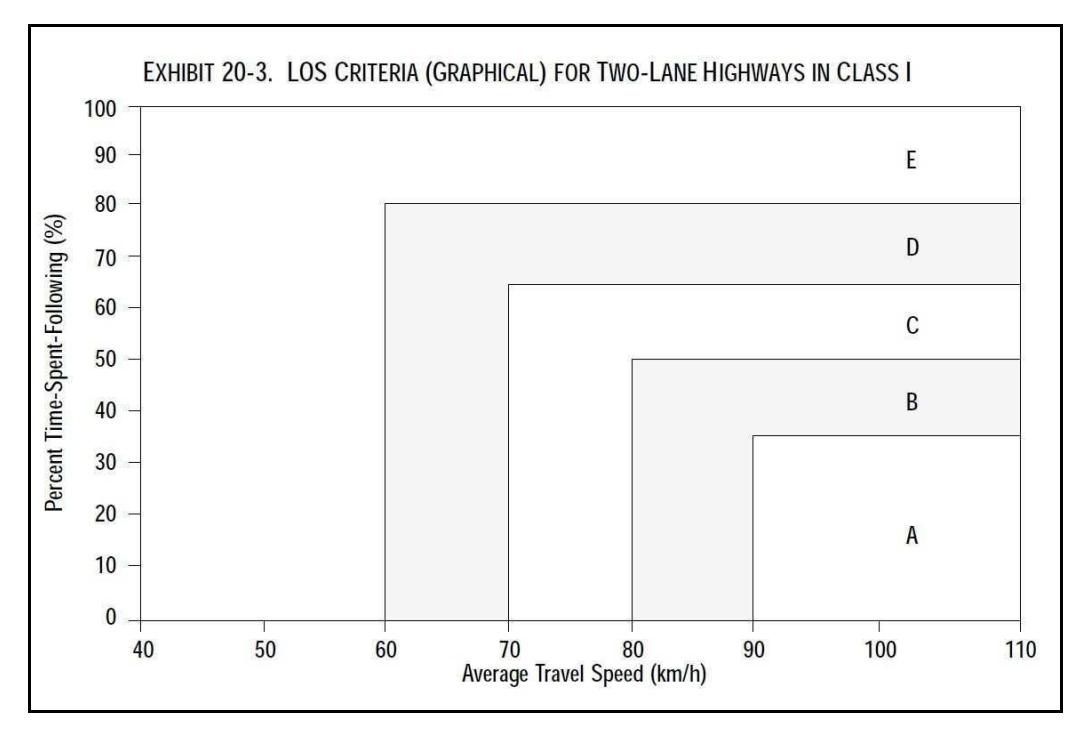


Figura 16: livelli di servizio per strade a carreggiata unica

Riassumendo, per tratte a carreggiata unica i Livelli di Servizio possono venire stimati in funzione dei due diversi metodi di calcolo proposti da HCM 1985 e HCM 2000 e precisamente:

LIVELLI DI SERVIZIO	нс	:M 1985	HCM 2000			
	FLUSSO/CAP.	FLUSSO (Veic./H)	PTSF (%)	FLUSSO (Veic./H)		
A	0,18	≅ 575	40	≅ 700		
В	0,32	≅ 1025	60	≅ 700		
С	0,52	≅ 1650	77	≅ 700		
D	0,77	≅ 2450	88	≅ 700		
E	>0,77		>88 ≅ 700			

Tabella 18: Livelli di Servizio su tratte stradali con carreggiata unica

In Europa e in Italia, nel caso di tratte a carreggiata unica viene proposta, da più parti, l'adozione di alcuni adattamenti della modellistica statunitense.

Gli adattamenti sono suggeriti per meglio considerare lo specifico parco veicolare e le specifiche caratteristiche personali europee.

Ad esempio, dalla Regione Lombardia, viene suggerito per HCM 1985 di:

- Utilizzare un valore di Capacità pari a 3200 veicoli/ora e non 2800 veicoli/ora;
- Utilizzare rapporti Flussi/Capacità aumentati del 20% rispetto a quelli dell'HCM per determinare il passaggio tra Livelli di Servizio.

Per HCM 2000 viene suggerito di :

• Valutare il Livello di Servizio in funzione del solo parametro PTSF.

4.1.4 Livelli di servizio su intersezioni a raso libere

Il metodo adottato per la verifica dei livelli di servizio su intersezioni a raso libere mette in relazione le geometrie dell'intersezione con le manovre conflittuali e l'intervallo critico.

Quest'ultimo è funzione del tipo di disciplina della circolazione adottata e delle velocità di attraversamento dell'intersezione da parte dei veicoli.

Dati i volumi di traffico, espressi in veicoli equivalenti, per ogni manovra (vl) la procedura H.C.M. di calcolo delle capacità delle singole manovre e dei relativi LOS si sviluppa in passi successivi:

- 1. Per le svolte a destra della strada secondaria (RT);
- 2. Per le svolte a sinistra dalla strada principale (LTM);
- 3. Per gli attraversamenti della strada secondaria (TH);
- 4. Per le svolte a sinistra dalla secondaria (LTm).
- 5. Si determinano, in funzione della geometria dell'intersezione, i volumi di traffico conflittuali per ogni manovra di svolta.

Si stabilisce il valore dell'intervallo critico per ciascuna manovra in funzione delle caratteristiche dell'intersezione facendo riferimento alla tabella seguente:

Interv	alli Cri	tici [s	1									
Velocità media strada principale 50 km/h 90								km/h				
Numero totale di corsie sulla principale		2	- 2	4	2		4					
Regolamentazione	Stop	Prec.	Stop	Prec.	Stop	Prec.	Stop	Prec.				
RT	5,5	5,0	5,5	5,0	6,5	5,5	6,5	5,5				
LTM	5,0		5,5		5,5		6,0					
TH	6,0	5,5	6,5	6,0	7,5	6,5	8,0	7,0				
LTm	6,5	6,0	7.0	6,5	8.0	7,0	8,5	7,5				

Tabella 19: Intervalli critici

A cui si applicano alcune correzioni per meglio determinare la geometria dell'intersezione:

Correzioni per particolarità dell'intersezione [s]							
PerRT							
Raggio di curvatura > 15m	-0,5						
Angolo fra le strade < 60°	-0,5						
Presenza di corsia di accelerazione	-1,0						
Per tutte le manovre	Ŷ						
Zona con popolazione > 250000 ab.	-0,5						
Ridotta distanza di visibilità	1,0						

Tabella 20: Correzioni per particolarita' dell'intersezione

In funzione del volume conflittuale e dell'intervallo critico (espresso in sec.) si ricava dall'abaco il valore della capacità potenziale per ogni singola manovra.

Per tenere conto dell'interazione delle varie svolte si introduce un fattore di impedenza, determinabile in funzione del rapporto tra flusso della i_esima manovra e la sua capacità potenziale, ottenendo la capacità della singola manovra (cm). Il valore di capacità ottenuto è valido se la manovra è canalizzata in una apposita corsia.

Nel caso in cui più manovre impegnano la medesima corsia il valore della capacità effettiva (csh) è dato dalla:

$$csh = (vl + vt + vr) / (vl/cml + vt/cmt + vr/cmr)$$

dove:

csh = capacità

vl = LT volume di traffico per svolta a sinistra su corsia condivisa

vt = TH volume di traffico per attraversamenti strada secondaria

vr = RT volume di traffico per svolta a destra dalla strada secondaria

cml = capacità della manovra di svolta a sinistra

cmt = capacità della manovra di attraversamento

cmr = capacità della manovra di svolta a destra

Rev. Gennaio 2012

Dalla capacità si deduce la saturazione e i tempi di ritardo per veicolo che sono riportati nella tabella sequente:

Livello di servizio	Tempo di attesa per veicolo (secondi)
Α	≤ 10
В	10 ÷ 15
С	15 ÷25
D	25 ÷ 35
E	35 ÷50
F	> 50

Tabella 21: Livelli di Servizio su intersezioni a raso libere

4.2 Metodo di calcolo per intersezioni a rotatoria

Il metodo adottato per la verifica dei livelli di servizio su intersezioni a raso disciplinate attraverso rotatoria è derivato, per il calcolo dei perditempo e degli accumuli veicolari, dal modello quantitativo elaborato in Svizzera (VSS 3/89) e in Francia (CERTU/SETRA).

Successivamente i valori ottenuto sono rapportati ai perditempo indicati da H.C.M. 2000 per i livelli di servizio.

Il modello quantitativo pone in relazione i flussi in ingresso e in uscita con i flussi circolanti nell'anello e le geometrie di progetto della rotatoria. La formula generale per il calcolo della capacità di una entrata è data dalla:

$$Ce = 150 - 8/9*Qg$$

Dove:

Ce = capacità dell'ingresso (veicoli/ora);

 $Qg = \beta^*Qc + \alpha^*Qs$

Qc = portata del flusso circolante nell'anello;

Qs = portata del flusso in uscita;

 β = coeff. relativo alla larghezza dell'anello;

 α = coeff. del flusso in uscita.

La stima dei tassi di capacità di un ingresso è data dalla:

Tcue =
$$(\gamma *Qe/Ce)*100$$

Dove:

Ce = capacità dell'ingresso (veicoli/ora);

Qe = flusso in ingresso;

 γ = coeff. relativo al numero di corsie in ingresso.

Mentre per il tasso di capacità dell'anello abbiamo la:

$$Tcuc = ((\gamma *Qe + 8/9*Qg)/1500)*100$$

Dove:

 $Qg = \beta^*Qc + \alpha^*Qs$

Qe = flusso in ingresso;

 γ = coeff. relativo al numero di corsie in ingresso.

I livelli di servizio adottati sono stati riferiti alla norma Svizzera VSS N° 640-024 come descritto nella tabella successiva:

	Livello	di servizio	Tempo di ritardo
	Qualità della circolazione	Formazione di code in attesa	(secondi)
Α	Eccellente	Nessuna formazione di code	≤ 10
В	Buona	Formazione casuale di accodamenti	10,1÷15,0
С	Soddisfacente	Presenza temporanea di file di attesa	15,1÷25,0
D	Sufficiente	Presenza stabile di file di attesa	25,1÷45,0
E	Insufficiente	Presenza stabile di file di attesa	>45,1 (÷60,0)
F	Totalmente insufficiente	Presenza stabile di file di attesa non assorbita	>>45 (>60,0)

Tabella 22: Livelli di servizio nelle intersezioni a rotatoria in funzione delle code e delle attese

Per la valutazione quantitativa della rotatoria è stato utilizzato il software francese GIRABASE® (GIRABASE® Versione 4 è un software di Bernard Guichet prodotto per i centri francesi CERTU - CETE de l'Ouest – SETRA) che stima le riserve di capacità e i tempi persi per intersezioni a rotatoria con precedenza al flusso circolante sull'anello. Di seguito si riportano i movimenti di svolta e le tabelle -in francese- dei risultati della simulazione effettuata con il software. Nel rapporto vengono riassunte le caratteristiche geometriche della rotatoria in esame, la domanda di traffico utilizzata in simulazione e, in ultimo, i risultati di simulazione per

ogni singolo braccio dell'intersezione. I dati essenziali dei risultati prestazionali che si ottengono dal software risultano i seguenti:

- **riserva di capacità:** rapporto tra la quantità di traffico prevista sul ramo e la capacità all'entrata del ramo stesso. Il rapporto è computato sia in valore assoluto (veicoli all'ora) sia in valore percentuale e fornisce la misura di quanti veicoli possono passare prima della formazione di attese in ingresso alla rotonda;
- coda di attesa o lunghezza dell'accumulo: rappresenta la quantità di veicoli in attesa di entrare nella rotonda ed è espressa come valore massimo stimato o come valore medio durante l'ora. Poiché l'arrivo dei veicoli è fortemente casuale, di fatto si potrebbero verificare attese maggiori di quelle calcolate;
- **attesa media:** espressa sia in secondi di attesa rispetto al singolo veicolo, sia nel complesso come valore medio, nell'arco di un'ora, del tempo perso da tutti i veicoli in attesa all'ingresso nella rotonda.

4.3 Verifica dei LOS attuali

L'intersezione tra viale Lungo Po e viale Marconi, di accesso all'area del Castello, si presenta come una classica intersezione a T regolamentata in segnaletica, con precedenza alla viabilità principale, cioè viale Lungo Po. Da viale Marconi è consentita solamente la svolta in destra verso la rotatoria di attestazione al ponte sul Po. Di seguito sono riportati la foto aerea dell'intersezione, la figura dello schema dei movimenti di svolta e la tabella dei risultati della verifica.

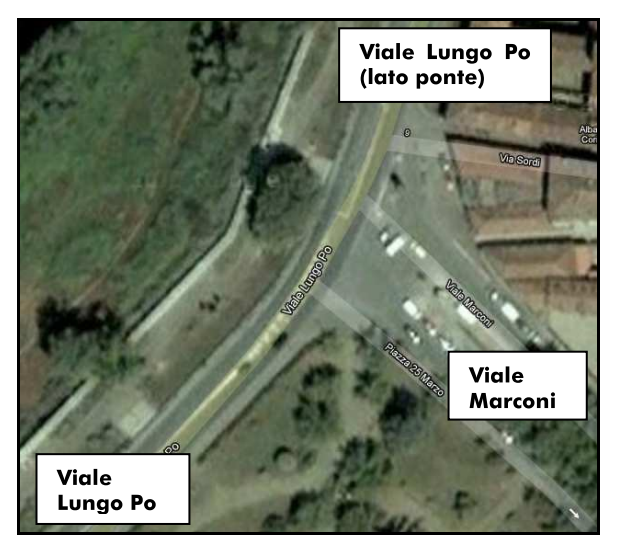


Figura 17: intersezione tra viale Lungo Po e viale Marconi

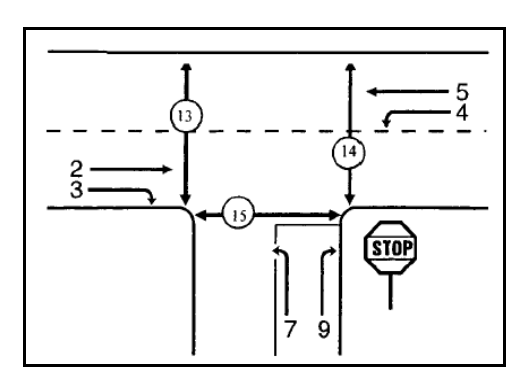


Tabella 23: schema dei movimenti di svolta nelle intersezioni a "T"

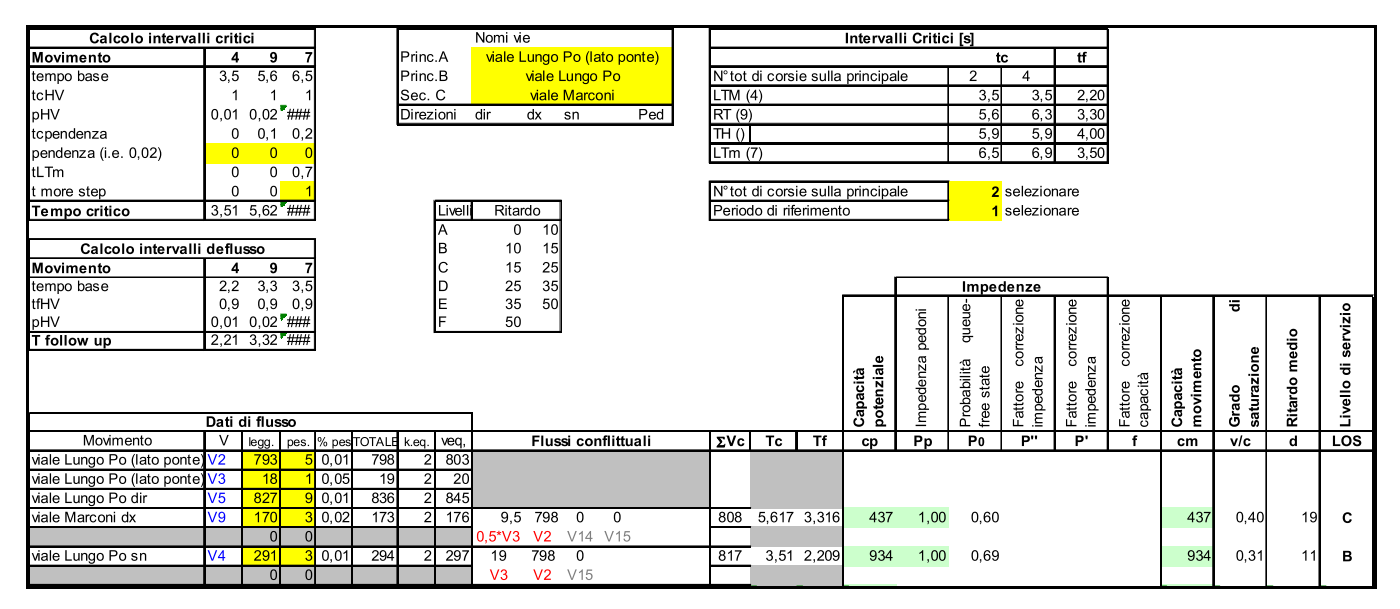


Tabella 24: Livelli di servizio all'intersezione tra viale Lungo Po e viale Marconi in funzione delle code e delle attese – scenario attuale

Per i movimenti conflittuali dell'intersezione i valori di LOS ottenuti sono stati:

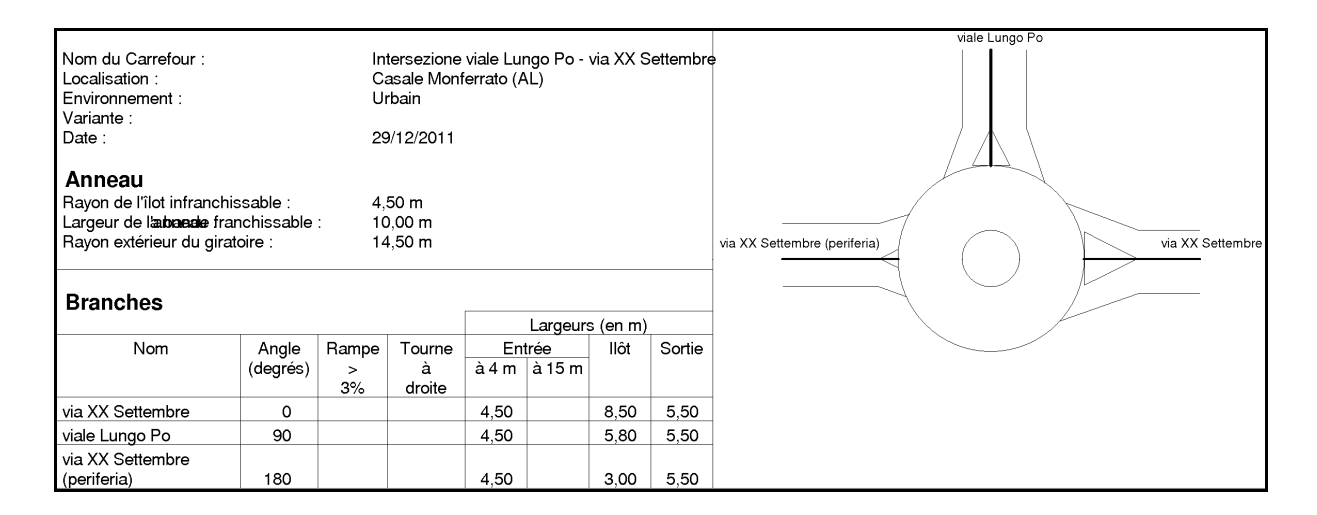
- Viale Marconi, svolta a destra (V9), verso viale Lungo Po (lato ponte): sat. 0,40, ritardo
 19 s/veic, LOS C;
- Viale Lungo Po, svolta a sinistra (V4), verso viale Marconi: sat. 0,31, ritardo 11 s/veic,
 LOS B.

L'intersezione tra viale Lungo Po e via XX Settembre è regolamentata tramite rotatoria urbana a tre rami con precedenza all'anello, come riportato dalla seguente foto aerea.



Figura 18: intersezione tra viale Lungo Po e via XX Settembre

La verifica effettuata tramite il software francese GIRABASE[®], ha restituito i risultati riportati di seguito.



Période Stato di Fatto

Trafic Piétons

1	2	3
0	0	10

Trafic Véhicules Mode UVP

	1	2	3	Total Entrant	Résultats						
1 2	98 644	750	263 145	1111 789		Réserve de en uvp/h	Capacité en %	Longueur de moyenne	e Stockage maximale	Temps d' moyen	'Attente total
3	154	135	0	289		1071	100/		0.1	,	0.01
Total					via XX Settembre viale Lungo Po	1071 980	49% 55%	0vh 0vh	3vh 3vh	1s 1s	0,2h 0,2h
Sortant	896	885	408	2189	via XX Settembre (periferia)	936	76%	0vh	2vh	2s	0,1h

Tabella 25: Risultati della simulazione per la rotatoria tra viale Lungo Po e via XX Settembre - scenario attuale

Per la rotatoria esistente, con gli attuali carichi di traffico, si ottengono buone riserve di capacità sui rami (superiori al 49%), accumuli veicolari medi nulli e tempi di attesa medi per veicolo inferiori a 2 secondi. In riferimento a quanto riportato in precedenza sulla valutazione dei livelli di servizio, ne risulta un **LOS A**.

L'intersezione tra via XX Settembre, corso Manacorda e lo sbocco di piazza Castello si presenta come un'intersezione a T regolamentata per mezzo di semplice segnaletica, con precedenza alla viabilità principale. Da piazza Castello è consentita solamente la svolta in destra, utilizzando la rotatoria precedentemente oggetto di verifica per effettuare la svolta in sinistra. Da via XX Settembre invece è proibita la svolta verso piazza Castello, consentendo solo la prosecuzione lungo la viabilità principale. Di seguito sono riportati la foto aerea dell'intersezione, la figura dello schema dei movimenti di svolta e la tabella dei risultati della verifica.



Figura 19: intersezione tra via XX Settembre, piazza Castello e corso Manacorda

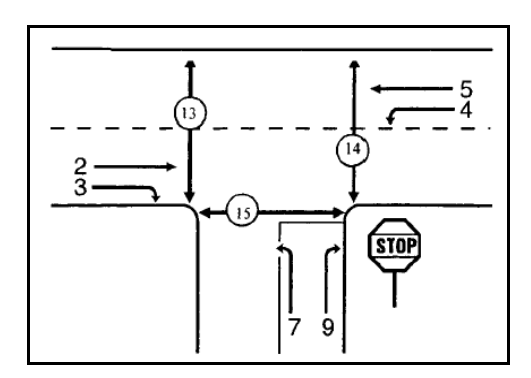


Tabella 26: schema dei movimenti di svolta nelle intersezioni a "T"

Calcolo interval	li critici				Nomi vie Intervalli Critici [s]													
Movimento	4 9	7	Princ	.A	corso Manacorda						1	:c	tf					
tempo base	2,97 5,07	6	Princ	.B	via XX Settembre	N°tot	di cor	sie sulla	principa	le	2	4						
tcHV	1 1	1	Sec.	С	piazza Castello	LTM	(4)				3,0	3,0	2,20					
pHV	#### 0 * t	##	Direz	ioni	dir dx sn Ped	RT (9)				5,1	5,8	3,30					
tcpendenza	0 0,1	0,2	,			TH ()					5,4	5,4	4,00					
pendenza (i.e. 0,02)	0 0	0				LTm	(7)				6,0	6,4	3,50					
tLTm	0 0	0,7																
t more step	0 0	1				N°tot	di cor	sie sulla	principa	le	2	selezio	nare					
Tempo critico	#### 5,07 #	##		Livell	Ritardo	Perio	do di ri	feriment	to		1	selezio	nare					
				Α	0 10													
Calcolo intervalli	deflusso			В	10 15													
Movimento	4 9	7		С	15 25													
tempo base		3,5		D	25 35						Impe	denze						
tfHV		0,9		E	35 50					i.	-er	ne	ne	ne		di		o.
pHV	#### 0 * t			F	50					형	enenb	.e.	Sio	zio			_	ΪŻ
T follow up	#### 3,3*#	##								pedoni	5	correzione	correzione :a	correzione		a)	medio	servizio
									. e	za	æ æ	Za Co	Za C		ᆵ	š	e l	흥
									zis	len	abilita	e u	e u	ità	ne it	gzi	유	ö
									Capacità potenziale	Impedenza	Probabilità free state	Fattore impeder	Fattore compedenza	Fattore capacità	Capacità movimento	Grado saturazione	Ritardo	Livello
	Dati di fluss	1							င္မွာ မွ	Ē	Prob	E E	E E	Far	n Ca	Sat	₹	ź
Movimento	V legg. p	es. % pesT	OTALE k.eq.	veq,	Flussi conflittuali	ΣVc	Тс	Tf	ср	Pр	P0	Р"	P'	f	cm	v/c	d	LOS
corso Manacorda dir	V2 913	11 0,01	924 2	935				•			•							
corso Manacorda dx	V3 425	0 0	425 2	425					I									
via XX Settembre dir	V5 886	5 0,01	891 2	896														
piazza Castello dx	V9 237	0 0	237 2	237	212,5 924 0 0	1137	5,06	5 3,3	355	1,00	0,33				355	0,67	35	D
	0	0			0,5*V3 V2 V14 V15													

Tabella 27: Livelli di servizio all'intersezione tra via XX Settembre, piazza Castello e corso Manacorda in funzione delle code e delle attese – scenario attuale

Essendo inibiti alcuni movimenti conflittuali, per l'unico esistente sull'intersezione i valori di LOS ottenuti sono stati:

Piazza Castello, svolta a destra (V9), verso via XX Settembre: sat. 0,67, ritardo 35 s/veic, LOS D.

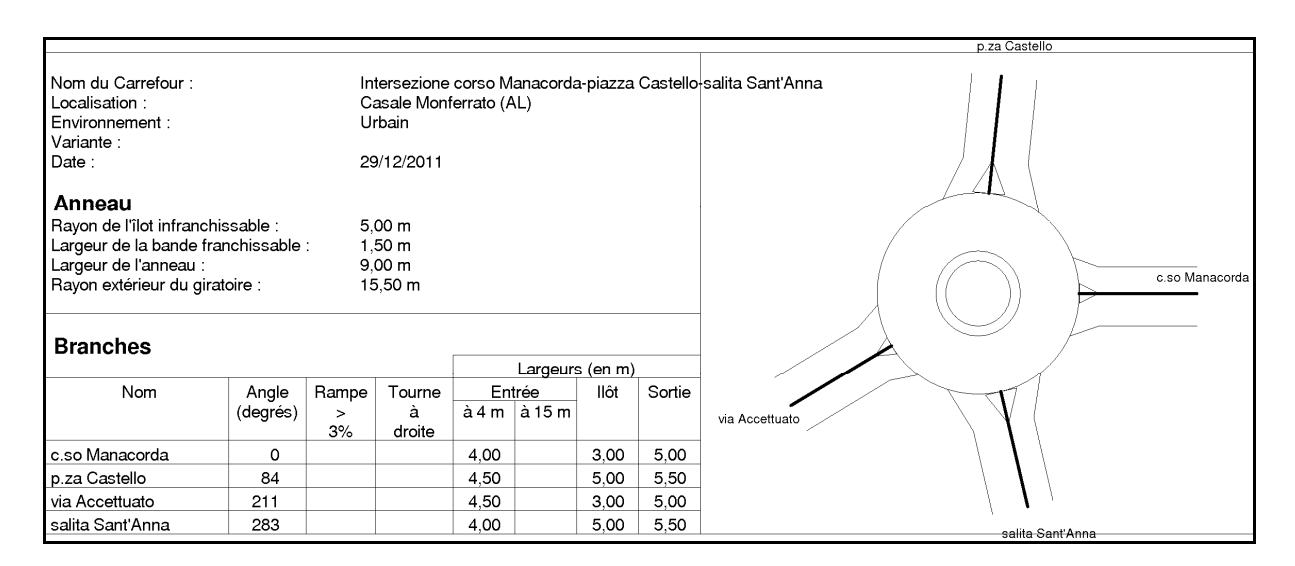
L'intersezione tra corso Manacorda e salita Sant'Anna è regolamentata tramite rotatoria urbana a tre rami con precedenza all'anello, come riportato dalla seguente foto aerea.



Figura 20: intersezione tra corso Manacorda, piazza Castello e salita Sant'Anna

La verifica effettuata tramite il software francese GIRABASE[®], ha restituito i risultati riportati di seguito.

STUDIO DI IMPATTO VIABILISTICO



Période Stato di Fatto

Trafic Piétons

1	2	3	4
10	0	0	10

Trafic Véhicules Mode UVP

					Total	Résultats						
	1	2	3	4	Entrant		Réserve de	Capacitó	Longuour d	e Stockage	Temps d	'Attente
1	0	447	10	37	494		en uvp/h	en %	moyenne	maximale	moyen	total
2	267	90	10	500	867							
3	10	10	0	120	140		440	470/	4.4	4.4-		0.75
4	32	782	10	0	824	c.so Manacorda	440	47%	1vh	4vh	5s	0,7h
						p.za Castello	1485	63%	0vh	2vh	0s	0,0h
Total						via Accettuato	931	87%	0vh	2vh	2s	0,1h
Sortant	309	1329	30	657	2325	salita Sant'Anna	740	47%	0vh	3vh	2s	0.4h

Tabella 28: Risultati della simulazione per la rotatoria tra corso Manacorda, piazza Castello e salita Sant'Anna - scenario attuale

Per la rotatoria esistente, con gli attuali carichi di traffico, si ottengono buone riserve di capacità sui rami (superiori al 47%), accumuli veicolari medi pressoché nulli e tempi di attesa medi per veicolo inferiori a 5 secondi. In riferimento a quanto riportato in precedenza sulla valutazione, ne risulta un **LOS A**.

L'intersezione tra salita Sant'Anna, via Bruno Buozzi e la secondaria via Biglionino è regolamentata tramite precedenza alla direttrice principale; questa risulta essere lungo salita Sant'Anna e su via Buozzi (evidenziata dalle frecce rosse in figura), lungo il canale idrico. Considerata lo scarso apporto veicolare di via Biglionino si è convenuto di considerare l'intersezione come una classica "T", il cui ramo secondario è costituito dalla continuazione di salita Sant'Anna. Di seguito sono riportati la foto aerea dell'intersezione, la figura dello schema dei movimenti di svolta e la tabella dei risultati della verifica.



Figura 21: intersezione tra salita Sant'Anna, via Bruno Buozzi e via Biglionino

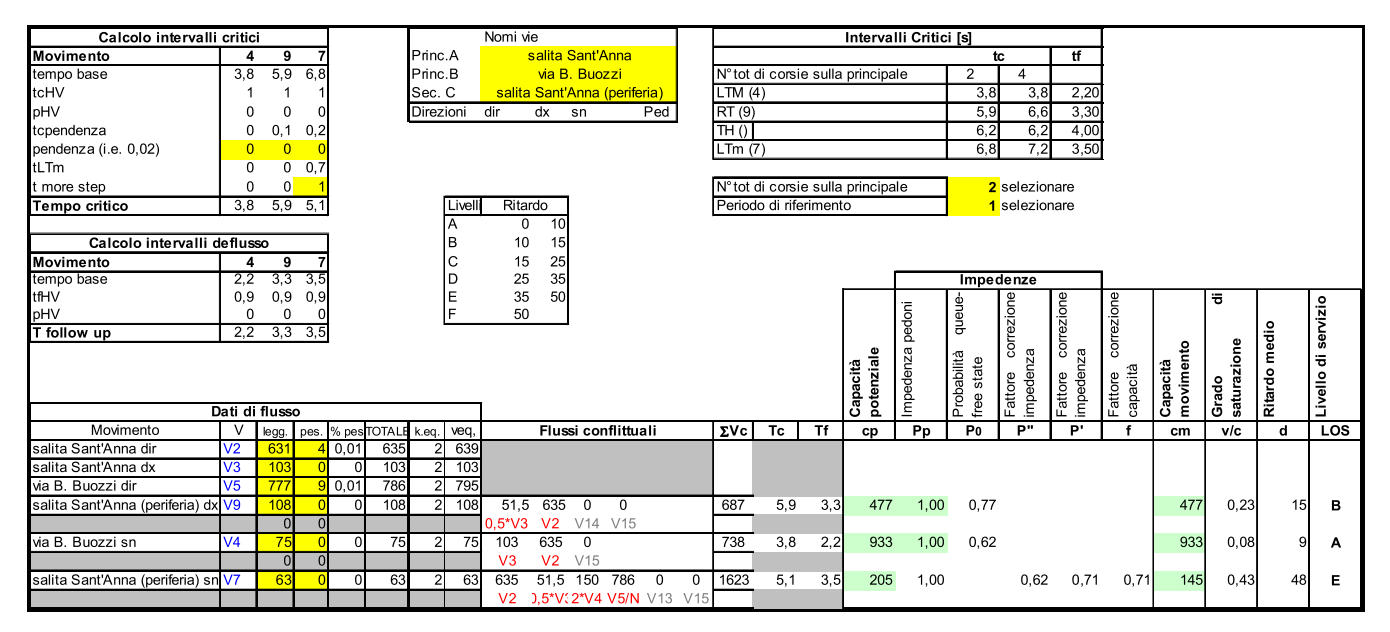


Tabella 29: Livelli di servizio all'intersezione tra salita Sant'Anna, via Bruno Buozzi e via Biglionino in funzione delle code e delle attese

Per i movimenti conflittuali dell'intersezione i valori di LOS ottenuti sono stati:

- Salita Sant'Anna (lato periferia), svolta a sinistra (V7), verso il centro: sat. 0,43, ritardo
 48 s/veic, LOS E;
- Salita Sant'Anna (lato periferia), svolta a destra (V9), verso via B.Buozzi: sat. 0,23, ritardo 15 s/veic, LOS B;

 Via B.Buozzi, svolta a sinistra (V4), verso Salita Sant'Anna (lato periferia): sat. 0,08, ritardo 9 s/veic, LOS A.

5 STIMA DELLA DOMANDA DI TRASPORTO FUTURA

5.1 Stima del fabbisogno totale di parcheggi

La stima della domanda di trasporto indotta è stata effettuata in ottemperanza a quanto dettato dalla legge della Regione Piemonte n.28/99 e sue modifiche ed integrazioni, recante criteri di "Disciplina, sviluppo e incentivazione del commercio in Piemonte, in attuazione del Decreto Legislativo 31 marzo 1998, n° 114", ed in particolare secondo le modalità applicative dell'allegato A alla D.C.R. n. 563-13414 del 29.10.99 - "Indirizzi generali e criteri di programmazione urbanistica per l'insediamento del commercio al dettaglio in sede fissa, in attuazione del d.lgs. 31.03.1998 114/98" come modificato dalla D.C.R. n. 347-42514 del 23.12.2003 e dalla D.C.R. n. 59-10831 del 24.03.2006.

L'Allegato A prevede che la domanda di trasporto venga valutata in seguito alla stima del fabbisogno di parcheggi, da effettuare sulla base delle diverse tipologie di strutture distributive che saranno realizzate e sulle loro superfici di vendita. La lottizzazione oggetto del presente studio prevede l'insediamento di una struttura commerciale di tipo M-SAM4 (Media Struttura di Vendita con offerta alimentare e/o mista) con superficie di vendita pari a 2500 mq. Il fabbisogno di parcheggi dell'insediamento commerciale è stato calcolato secondo quanto specificato dalla normativa citata in precedenza e il numero di parcheggi è stato valutato con la formula per le tipologie distributive M-SAM4, in cui N rappresenta il numero di posti auto ed S la superficie di vendita in mq:

$$N=140+0,15*(S-1800)=103,5=$$
 245 posti auto

5.2 Stima della domanda di trasporto indotta

Il fabbisogno totale di nuovi posti auto da destinare a parcheggio (N) è stato utilizzato per determinare il movimento indotto di vetture private delle nuove localizzazioni commerciali come indicato dall'art. 27 comma 3 dell'allegato A del D.C.R. n.563-13414. Le disposizioni di Legge impongono di assumere, convenzionalmente, un flusso veicolare indotto **F** in ora di punta da calcolarsi secondo la relazione di seguito riportata (valida per

meno di 1000 posti auto). All'interno dell'espressione, **N** rappresenta il numero di parcheggi calcolato in conformità all'art.25:

Domanda di trasporto indotta F=1,2*N=294 veic/ora

Il flusso indotto dall'insediamento commerciale è quindi pari a **294 veic/ora**, numero di veicoli da considerare sia in ingresso che in uscita dalle aree di sosta di pertinenza della struttura e riferito all'ora di punta individuata dal rilievo di traffico (17.00-18.00 del venerdì). Ai sensi della normativa regionale il traffico indotto dall'insediamento della struttura commerciale va sommato nella sua totalità al traffico ordinario rilevato, sia in ingresso che in uscita alla nuova localizzazione e distribuito sulla dotazione infrastrutturale, così come modificata dalle eventuali opere di urbanizzazione previste.

6 DISTRIBUZIONE E ASSEGNAZIONE DELLA DOMANDA DI TRASPORTO SUL COMPARTO

6.1 Metodo di distribuzione dei viaggi

Il modello generale di distribuzione dei viaggi è derivato dal principio di gravitazione universale newtoniano dove la forza attrattiva tra due corpi è correlata direttamente al peso delle loro masse ed è inversamente proporzionale alla loro distanza.

Similmente, nel modello gravitazionale di distribuzione dei viaggi gli spostamenti tra due zone dipendono direttamente dalle attività e dai pesi localizzati (demografia, servizi, attività produttive) e sono correlate in modo inversamente proporzionale a una funzione di deterrenza (distanza, tempo).

Il modello gravitazione di distribuzione dei viaggi utilizzato appare nella seguente formula (espresso, ad esempio, in C. J. Khisty, "Transportation Engineering an Introduction", Prentice hall, N.Y., 1985):

$$Tij = (PiAj F(t)ij Kij) / (\sum AjF(t)ij)$$

Dove:

Tij = numero dei viaggi prodotti in zona i e attratti in zona j

Pi = numero dei viaggi in uscita dalla zona i

Aj = numero dei viaggi attratti dalla zona J

F(t)ij =fattore di frizione nello scambio tra i e j (curva di impedenza)

Kij = parametro di normalizzazione dipendente dalla caratteristica dell'area

i = numero zone origine

j = numero zone destinazione

Dalla formulazione precedente si evince che la probabilità di avere un viaggio tra una origine (i) e una destinazione (j) dipende direttamente dal peso delle attività localizzate in ciascuna zona e dalla funzione di impedenza che esprime la difficoltà dello spostamento tra i e j all'aumentare della distanza o del tempo di trasporto.

Il membro posto al denominatore esprime, infine, la concorrenza che tutte le zone dell'area di studio effettuano sullo spostamento ij.

Quest'ultima annotazione permette di considerare il peso relativo di strutture simili nella

distribuzione finale dei viaggi.

La definizione di F(t)ij è stata oggetto di una procedura di calibrazione del modello che è stato fatto "girare" su tre valori differenti della funzione di impedenza e precisamente:

- $F(t)ij = t^{**}-1;$
- $F(t)ii = t^{**}-2;$
- $F(t)ij = e^{**}-t$.

Le funzioni esprimono diverse pendenze delle curve di deterrenza enfatizzando o diminuendo il ruolo della distanza o del tempo di viaggio nella creazione degli spostamenti tra origine e destinazione (logicamente l'esponenziale negativo conferisce alla distanza o al tempo di percorrenza un peso maggiore rispetto alle altre funzioni e tende a diminuire l'attrattività delle funzioni localizzate riducendone l'area di influenza).

Operativamente, per l'implementazione del modello gravitazione è stato necessario definire:

- posizione e peso di ciascuno dei nodi di origine;
- posizione e peso di ciascuno dei nodi di destinazione;
- matrice dei costi unitari per ogni coppia di spostamenti Oi/Dj.

Il modello utilizzato è "vincolato alle destinazioni", cioè i clienti devono necessariamente raggiungere uno dei luoghi candidati alla "offerta" del servizio richiesto.

6.2 Metodo di assegnazione della domanda di trasporto

L'assegnazione della domanda di traffico stimata sulla rete viaria tende a rispondere alla domanda "su quale percorso avverranno i viaggi origine/destinazione?"

Nel nostro caso il modello di simulazione adottato per la ricostruzione del probabile assetto della rete viaria è stato quello di assegnazione in condizione di equilibrio (l' principio di Wardrop) dovuto a Frank & Wolfe.

Questa classe di modelli simula il modo in cui la domanda di trasporto utilizza l'insieme delle strade esistenti in una determinata area impegnando gli archi della rete e generando dei costi che rappresentano la "resistenza" dell'utente a utilizzare un dato tragitto.

Il modello di assegnazione in condizione di **equilibrio** assume l'esistenza di una dipendenza circolare tra domanda, flussi e costi.

Rev. Gennaio 2012

Infatti la domanda di trasporto è influenzata dai costi, i flussi dipendono dalla domanda e i costi dipendono dai flussi.

Un problema di equilibrio consiste nel determinare una configurazione del sistema congruente con i costi che da essa derivano.

Questa configurazione è tale da impedire una diversa distribuzione dei flussi che, nelle successive iterazioni, possa migliorare la funzione obiettivo.

Cioè a dire che questa configurazione rappresenta una distribuzione di equilibrio e indica una condizione nella quale i costi degli itinerari sui quali esiste un flusso sono uguali o minori di quelli relativi agli itinerari non utilizzati (primo principio di Wardrop).

Il metodo di F&W è iterativo e per la sua formulazione iniziamo assumendo che un generico utente, per spostarsi da una origine a una destinazione, sceglie un itinerario jesimo e sopporta un costo Cj (dato dalla somma dei costi degli archi che compongono il suo percorso).

Al termine del suo percorso, nell'epoca t*, l'utente confronta il suo costo Cj con quelli che si sono verificati alla stessa epoca sugli altri itinerari che collegano la medesima coppia OD.

Dal risultato di tale confronto dipende la decisione che l'utente prenderà nella successiva epoca della sequenza Σ .

La regola di comportamento è la seguente: se nessuno dei costi che si verificano all'epoca t* sugli altri itinerari è inferiore a Cj allora nell'epoca successiva l'utente resterà sull'itinerario j-esimo, altrimenti va alla ricerca di un itinerario meno costoso.

Sull'insieme della rete questa regola produce un vettore p^* di itinerari e un corrispondente vettore di costi $C(p^*)$ all'epoca t^* .

Il costo totale sopportato dagli utenti è dato quindi dalla:

$$p*C(p*)$$

Se alcuni componenti del vettore C(p*) sono maggiori a quelli sopportati per itinerari alternativi gli utenti, all'epoca successiva, cambieranno itinerario generando un nuovo vettore di flussi chiamato p** per i quali viene calcolato un nuovo vettore di costi che risulta evidentemente:

$$p^{**}C(p^{**}) < p^*C(p^*)$$

e cioè

$$(p^{**}-p^{*}) C(p^{*}) < 0$$

Il modello procede per iterazioni sino a quando tra due vettori di costo non esistono differenze significative tali da indurre una modifica nella configurazione del vettore p dei flussi (per una trattazione esaustiva del metodo di F&W e i modelli di equilibrio si veda ad esempio: C.J. Khisty, "Transportation Engineering an Introduction", Prentice Hall, N.Y., 1985; S.C. Dafermos, "Traffic Equilibrium", Transportation Science, 1980; M. Florian, H. Spiess, "Transportation Network in Practice", AIRO, 1983).

6.3 Caratteristiche di progetto della sistemazione della viabilità e degli accessi alla struttura commerciale

Per la valutazione dell'impatto del traffico generato dalla realizzazione della nuova struttura commerciale bisogna avere presente gli elementi viabilistici progettuali previsti che andranno a modificare la viabilità esistente; sulla nuova configurazione viabilistica si andranno a fare le valutazioni sullo scenario finale.

A pagina seguente si riporta la planimetria della sistemazione progettuale adottata per la rete viaria, con l'inserimento di due rotatorie compatte lungo l'asse della viale Lungo Povia XX Settembre-salita Sant'Anna allo scopo di garantire una maggiore sicurezza nella circolazione dei veicoli, in particolare concentrando sulle rotatorie i principali movimenti di svolta conflittuali. Si è considerata inoltre la sistemazione delle intersezioni tra salita Sant'Anna, via B.Buozzi e via Biglionino e tra salita Sant'Anna e via Matteotti tramite la realizzazione di due rotatorie urbane compatte che permettano di gestire, insieme, tutte le manovre di svolta dell'area del ponte sul canale irriguo.

Gli interventi si basano essenzialmente su:

- Ridefinizione geometrica dell'attuale rotatoria all'intersezione tra viale Lungo Po e via XX Settembre; la rotatoria viene ingrandita portando il raggio esterno a 16,50 m con isola centrale materializzata;
- Chiusura al traffico del tratto di via XX Settembre verso piazza Castello, con la realizzazione di una strada-piazza pedonale; in questo modo viene eliminata l'intersezione a precedenza attualmente esistente;

- Realizzazione di una nuova viabilità che, attraversando l'area dell'attuale
 parcheggio a raso del Casale Calcio, porta direttamente all'area dell'intersezione
 tra salita Sant'Anna e via B.Buozzi e del ponte sul canale irriguo; su di essa si
 realizzano una corsia di ingresso in sinistra e una di uscita dal nuovo
 insediamento commerciale, con direzione viale Lungo Po;
- Realizzazione di una rotatoria urbana sulla precedente nuova viabilità (raggio esterno pari a 11,50 m e isola centrale materializzata) che permetta di fare inversione agli utenti e accedere al nuovo insediamento;
- Ridefinizione geometrica dell'attuale rotatoria all'intersezione tra salita Sant'Anna e corso Manacorda, su cui si attesta l'accesso al parcheggio della struttura;
- Realizzazione di una rotatoria affiancata alla precedente, di minori dimensioni (raggio esterno pari a 11,50 m e isola centrale materializzata), che funzioni con la prima con un sistema "a biella", in modo da raccordare anche la nuova viabilità intermedia di collegamento;
- Realizzazione di due mini-rotatorie urbane agli estremi del ponte che, "lavorando insieme", permettono di gestire tutte le manovre di svolta conflittuali in sicurezza.

STUDIO DI IMPATTO VIABILISTICO

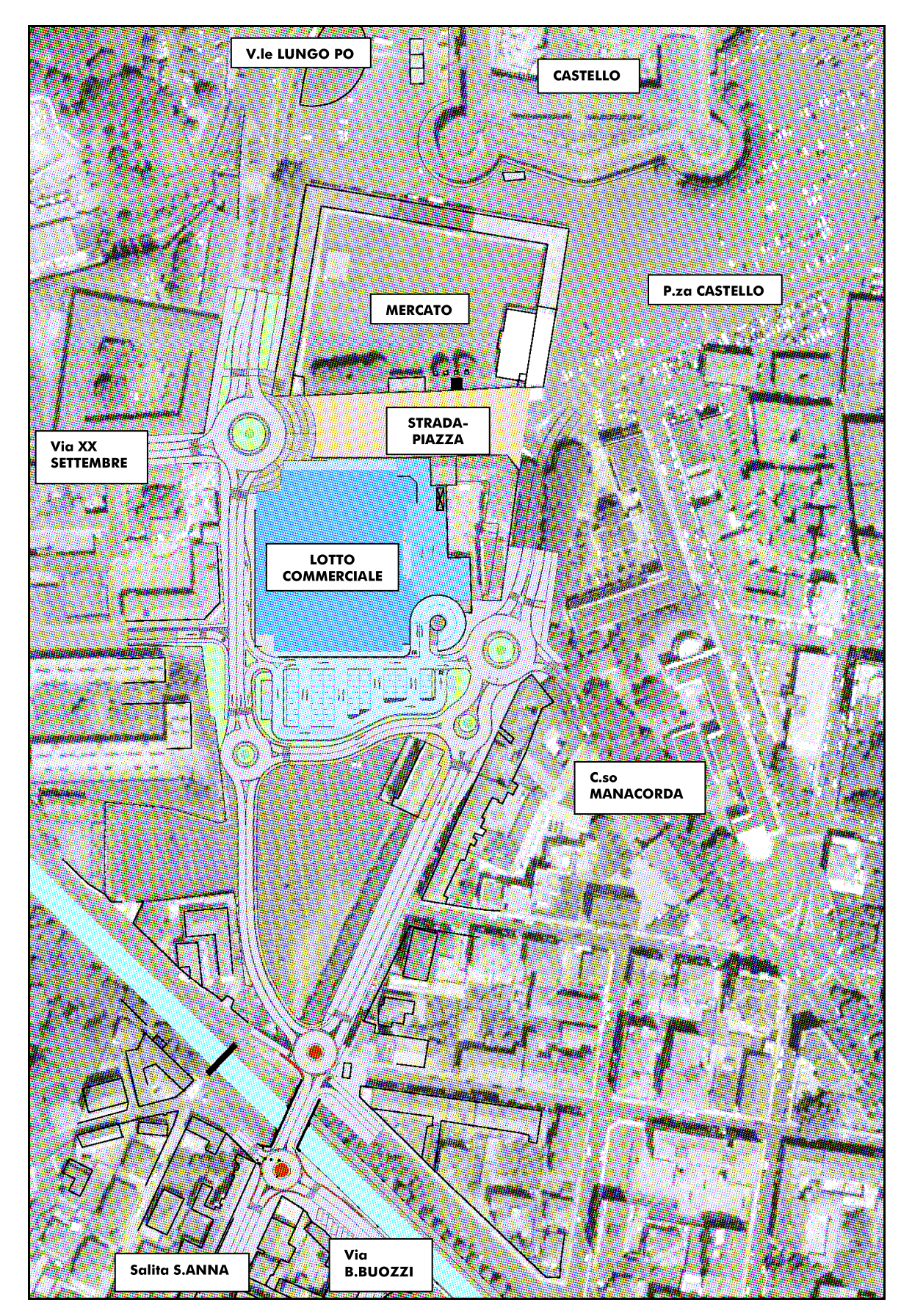


Figura 22: Planimetria generale di progetto del comparto stradale

Rev. Gennaio 2012

STUDIO DI IMPATTO VIABILISTICO

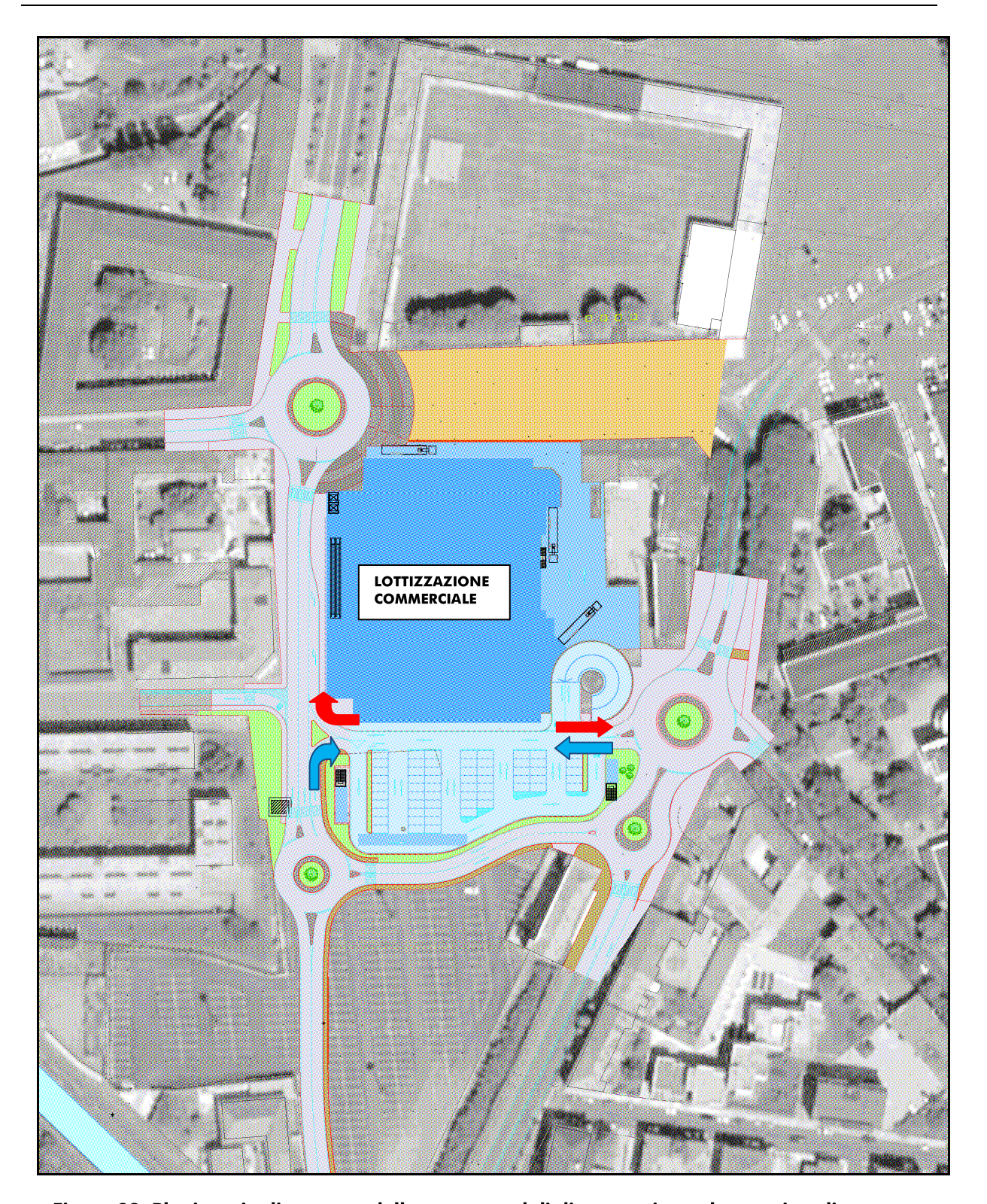


Figura 23: Planimetria di progetto delle opere stradali di attestazione al nuovo insediamento commerciale (in rosso gli accessi, in blu le uscite)

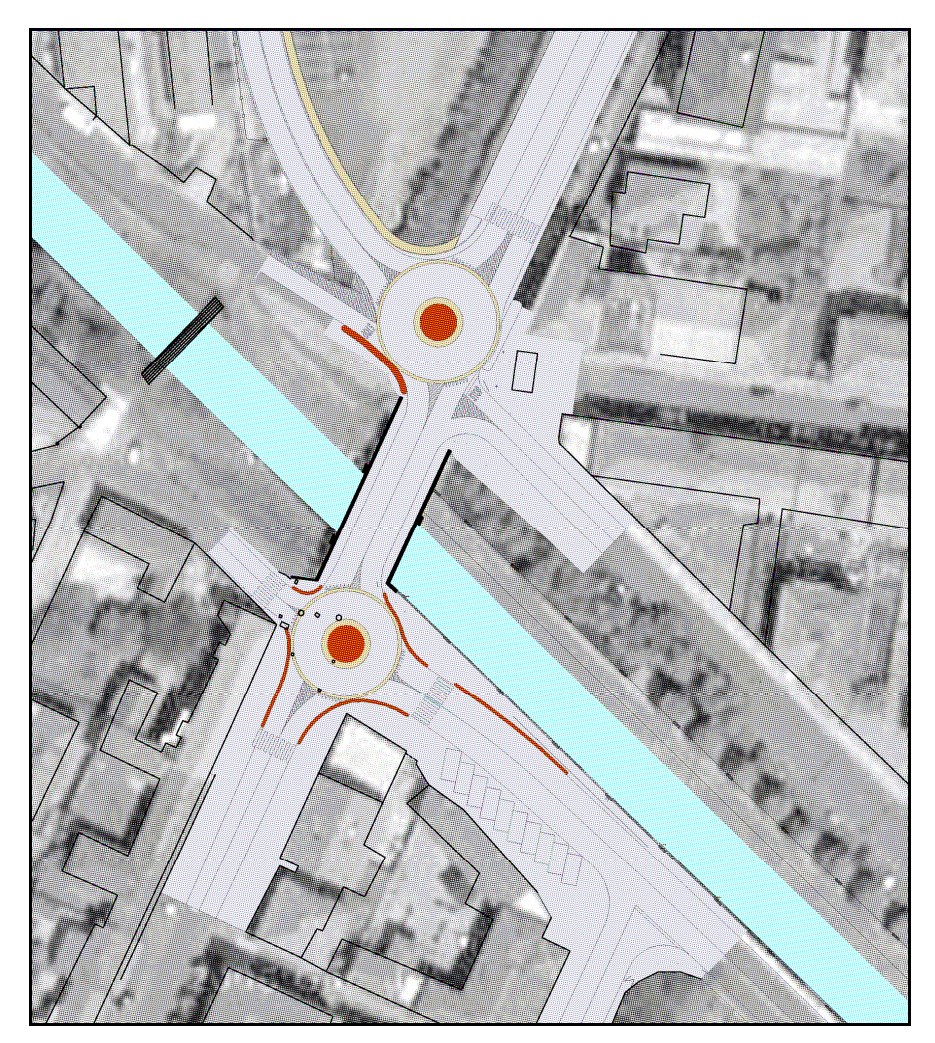


Figura 24: Planimetria di progetto delle rotatorie all'intersezione tra salita Sant'Anna, via B.Buozzi, via Matteotti e via Biglionino

6.4 Distribuzione degli spostamenti origine/destinazione

La distribuzione della domanda di traffico generata dalla nuova realizzazione oggetto di questo studio risponde alla domanda "da dove provengono e dove si recano i flussi di traffico attratti dalle nuove realizzazioni?". Il criterio seguito per la distribuzione della domanda di trasporto indotta si basa sul calcolo del peso percentuale delle singole direttrici di traffico attuali. Si ipotizza, quindi, che gli accessi e le partenze attratte dalle nuove polarità siano commisurate ai pesi percentuali attuali così come sono stati rilevati. Oltre a questo, per determinare quale tra punti di accesso previsti verrà con maggiore probabilità scelto da un utente proveniente da uno specifico ramo e diretto al centro commerciale, sono state effettuate considerazioni legate alle percentuali di superficie di vendita e di posti auto richiesti separatamente da ciascuno dei tre distinti comparti

commerciali che la realizzazione prevede. Una volta stimata la distribuzione della domanda di trasporto indotta, essa verrà assegnata alla rete viaria.

Al fine di stabilire in quali differenti misure il traffico indotto si ripartirà sulle diverse direttrici di traffico sono state considerate, come già detto, le percentuali di distribuzione dei volumi di traffico attuali sulle direttrici oggetto di rilievo.

DIRETTRICE	Rip	artizion	e fluss	si attuali	al co	rdone
		IN	(DUT	To	otale
viale Lungo Po (ponte)	845	28,2%	823	27,8%	1668	28,0%
via XX Settembre	289	9,7%	408	13,8%	697	11,7%
piazza Castello	237	7,9%	425	14,4%	662	11,1%
corso Manacorda	484	16,2%	299	10,1%	783	13,2%
via Matteotti	50	1,7%	35	1,2%	85	1,4%
via Biglionino	33	1,1%	29	1,0%	62	1,0%
salita Sant'Anna (periferia)	174	5,8%	181	6,1%	355	6,0%
Via Bruno Buozzi	881	29,4%	760	25,7%	1641	27,6%
Totale	2993	100,0%	2960	100,0%	5953	100,0%

Tabella 30: incidenza percentuale delle direttrici viarie sul flusso attuale circolante

Dalla lettura della tabella emerge, in sintesi, che le principali direttrici in ingresso e uscita sono viale Lungo Po e via Bruno Buozzi, rimarcandone ulteriormente l'importanza come percorso di attraversamento all'interno della rete stradale comunale.

I valori di traffico indotto, in ingresso e in uscita dalla nuova localizzazione, ripartiti tra i vari assi stradali sono riportati nella tabella seguente.

DIRETTRICE	Ripartizione flussi indotti al cordone				
	IN	OUT			
viale Lungo Po (ponte)	83	82			
via XX Settembre	28	41			
piazza Castello	23	42			
corso Manacorda	48	30			
via Matteotti	5	3			
via Biglionino	3	3			
salita Sant'Anna (periferia)	17	18			
Via Bruno Buozzi	87	75			
Totale	294	294			

Tabella 31: distribuzione dell'indotto sulle direttrici viarie al cordone

STUDIO DI IMPATTO VIABILISTICO

Nel flussogramma che segue viene raffigurata la distribuzione del traffico indotto sulla rete viaria oggetto di studio.



6.5 Assegnazione della domanda di trasporto

Le simulazioni sono state effettuate considerando una percentuale di nuovi utenti della strada pari al 100% della domanda indotta. Il modello di assegnazione è stato quindi applicato sommando, nella loro totalità, le matrici degli spostamenti indotti dalla realizzazione del nuovo insediamento commerciale alle matrici O/D rilevate, ridistribuite sulla nuova configurazione stradale di progetto. Lo scenario così ottenuto rappresenta la domanda di trasporto complessiva, stimata per l'intervallo critico di venerdì nell'ora di punta tra le ore 17.00 e le ore 18.00. Tale scenario è raffigurato nel flussogramma riportato di seguito.



7 STIMA DEI LIVELLI DI SERVIZIO FUTURI

In base allo scenario futuro, considerando i flussi veicolari attuali incrementati dell'indotto e ridistribuiti sulla rete stradale così come prevista a progetto, sono stati calcolati i livelli di servizio dei nodi infrastrutturali.

in riferimento al traffico incrementato dell'indotto ed alla realizzazione delle opere viabilistiche previste, sono stati calcolati i livelli di servizio previsti .

7.1 Verifica dei LOS futuri

Si sono quindi verificate le intersezioni del comparto stradale nella configurazione di progetto descritta nei paragrafi precedenti, in modo da poter valutare le prestazioni tecniche delle soluzioni progettuali previste.

L'intersezione tra viale Lungo Po e viale Marconi, di accesso all'area del Castello, rimane quella attuale anche nello scenario finale: una classica intersezione a T con precedenza alla viabilità principale, cioè viale Lungo Po.

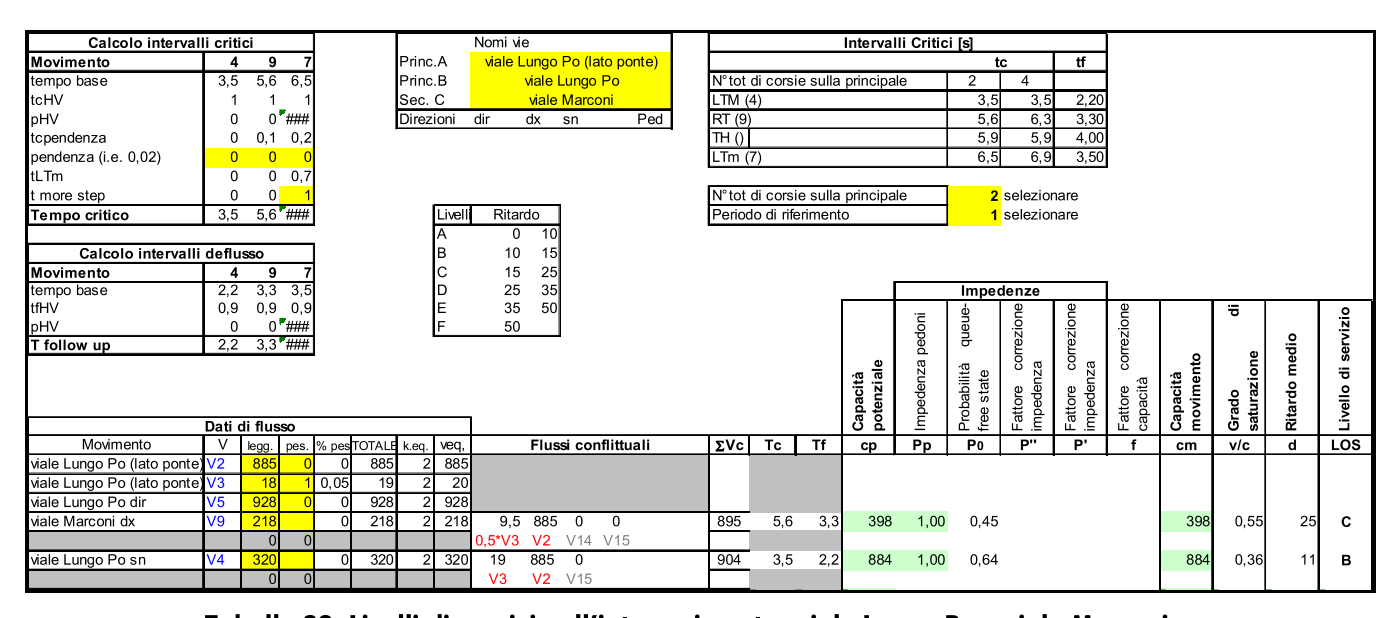


Tabella 32: Livelli di servizio all'intersezione tra viale Lungo Po e viale Marconi in funzione delle code e delle attese – scenario finale

Per i movimenti conflittuali dell'intersezione i valori di LOS ottenuti sono stati:

- Viale Marconi, svolta a destra (V9), verso il ponte sul Po: sat. 0,55, ritardo 25 s/veic, LOS C:
- Viale Lungo Po, svolta a sinistra (V4), verso viale Marconi: sat. 0,36, ritardo 11 s/veic,
 LOS B.

Rev. Gennaio 2012

La rotatoria all'intersezione tra viale Lungo Po e via XX Settembre, a tre rami con precedenza all'anello, viene ridefinita nella geometria, con la chiusura del ramo di via XX Settembre verso piazza Castello; quest'area, compresa tra il nuovo insediamento commerciale e l'area mercatale, si configura come una nuova zona pedonale.

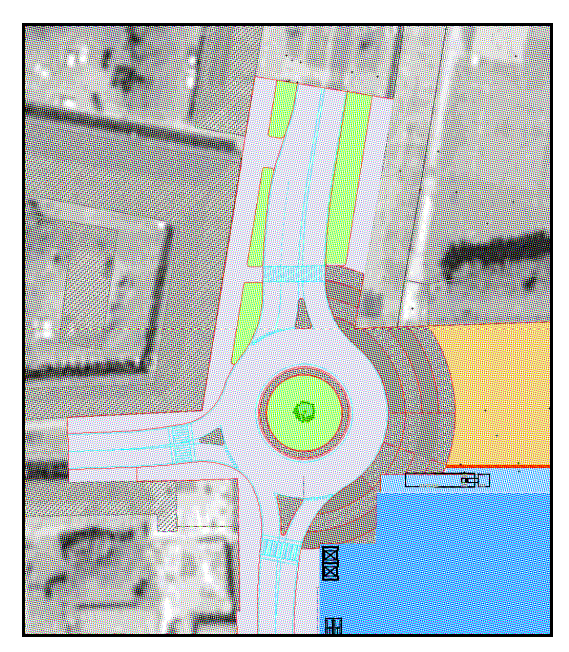
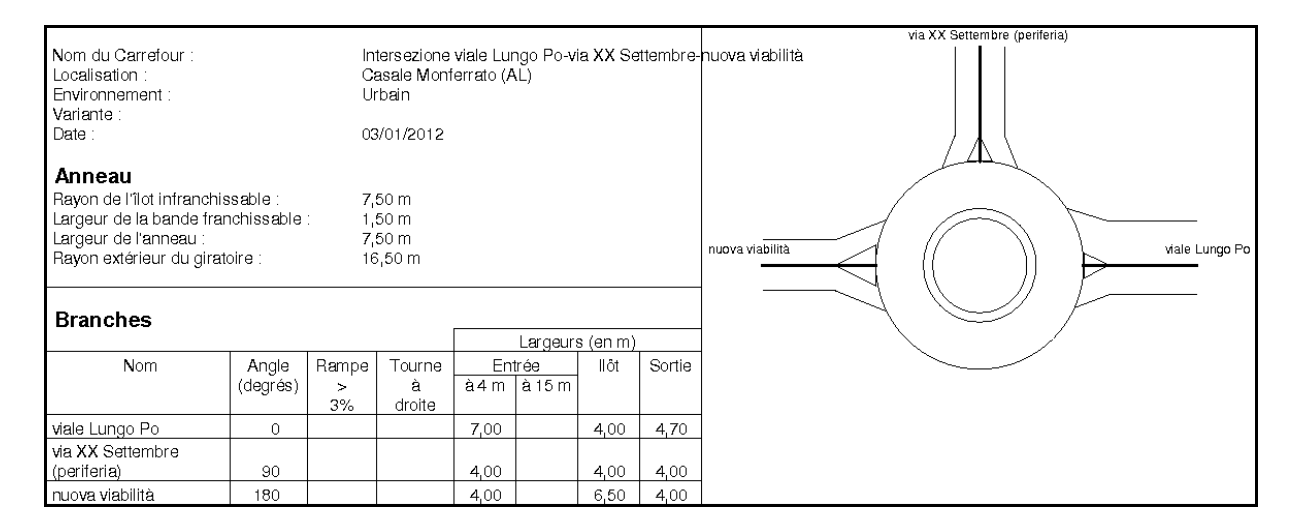


Figura 27: Rotatoria di progetto tra viale Lungo Po e via XX Settembre

La verifica, effettuata come in precedenza tramite il software GIRABASE[®], ha restituito i risultati riportati di seguito.



Période Finale

Trafic Piétons

1	2	3
10	10	10

Trafic Véhicules Mode UVP

	1	٥	3	Total Entrant	Résultats	T		T			
1	0	145	727	872		Réserve de en uvp/h	e Capacité en %	Longueur de movenne	e Stockage maximale	Temps d moven	'Attente total
3	135 832	0 3 04	182 0	317 1136				,			
Total					viale Lungo Po via XX Settembre (periferia)	1497 720	63% 69%	0vh 0vh	2vh 3vh	0s 3s	0,0h 0,2h
Sortant	967	449	909	2325	nuova viabilità	798	41%	0 v h	3vh	18	0,4h

Tabella 33: Risultati della simulazione per la rotatoria tra viale Lungo Po e via XX Settembre - scenario finale

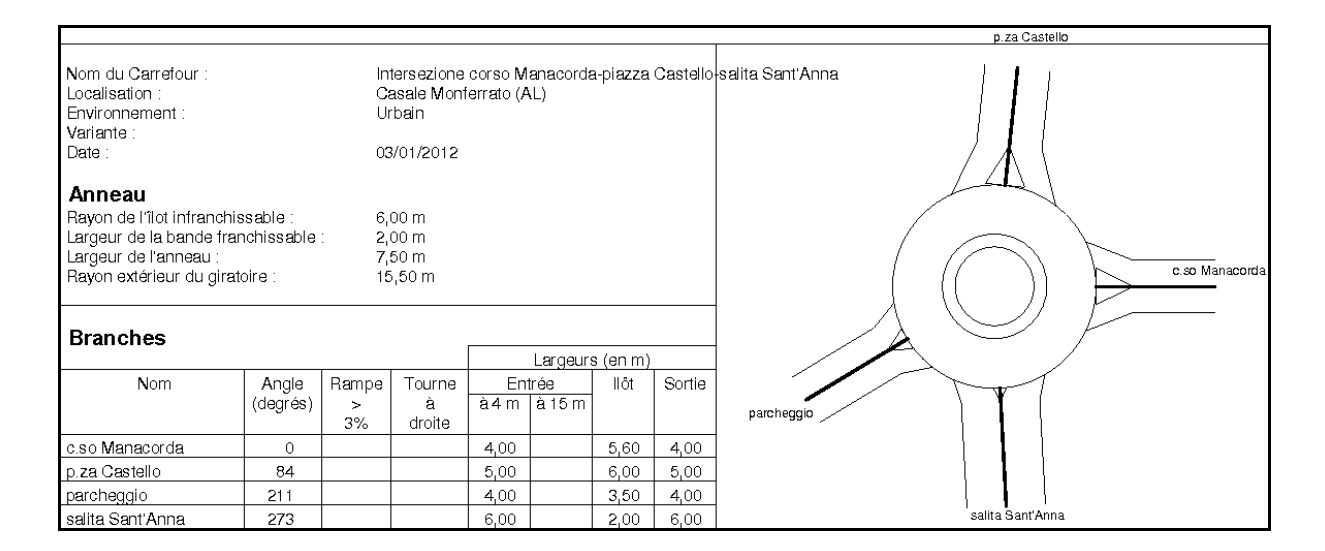
Per la rotatoria di progetto, con i carichi di traffico dello scenario finale, si ottengono buone riserve di capacità sui rami (superiori al 41%), accumuli veicolari medi nulli e tempi di attesa medi per veicolo inferiori a 3 secondi. In riferimento a quanto riportato sulla valutazione dei livelli di servizio per le rotatorie, ne risulta un **LOS A**.

La rotatoria all'intersezione tra corso Manacorda e salita Sant'Anna, a quattro rami con precedenza all'anello, viene anch'essa ridefinita nella geometria, con nuovi innesti e isole spartitraffico laterali. Viene inoltre affiancata da una rotatoria di minori dimensioni che, funzionando insieme, permette di gestire l'innesto del ramo di raccordo con la nuova viabilità di progetto nell'area.



Figura 28: Rotatoria di progetto tra corso Manacorda e salita Sant'Anna

La verifica prestazionale ha restituito i risultati seguenti.



Période Finale

Trafic Piétons

1	2	3	4
10	10	0	0

Trafic Véhicules Mode UVP

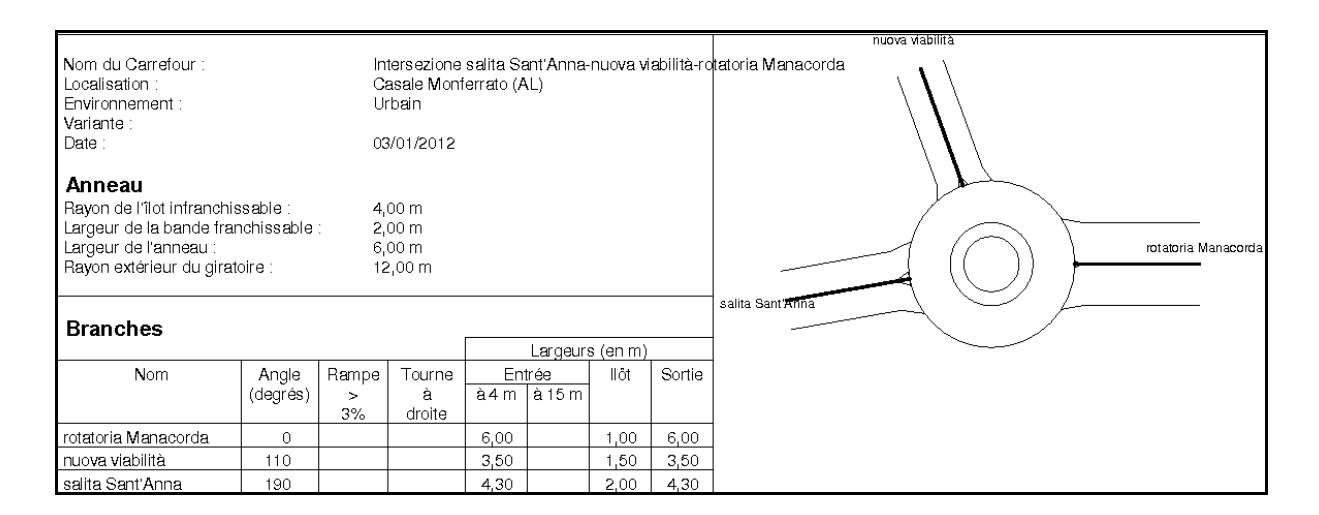
						Résultats						
	1	2	3	4	Entrant		Dágarra da	Conneitá	Longuiaur d	o Cto alco a o	Tampa	I A ++ an+ a
1	0	135	48	349	532		Réserve de en uvp/h	en %	Longueur de moyenne	maximale	Temps d moven	total
2	83	0	23	154	260		i i				Ú	
3	30	42	0	99	171	a as Menogordo	004	C 40/	Outla	Outh		0.06
4	216	290	90	0	596	c.so Manacorda	934	64%	0vh	3vh	18	0,2h
						p.za Castello	1409	84%	0vh	2vh	18	0,0h
Total						parcheggio	1072	86%	0 v h	2vh	18	0,1h
Sortant	329	467	161	602	1559	salita Sant'Anna	2038	77%	0 v h	2vh	0 s	0,0h

Tabella 34: Risultati della simulazione per la rotatoria tra corso Manacorda, piazza Castello e salita Sant'Anna - scenario finale

Per la rotatoria principale, con le modifiche geometriche e i carichi di traffico previsti, si ottengono più che buone riserve di capacità sui rami (superiori al 64%), accumuli veicolari medi nulli e tempi di attesa medi per veicolo pari a circa 1 secondo. Dai risultati ne risulta un **LOS A**.

Per la rotatoria minore, accoppiata alla precedente, la verifica prestazionale ha restituito i seguenti risultati.

STUDIO DI IMPATTO VIABILISTICO



Période Finale

Trafic Piétons

1	2	3
0	0	10

Trafic Véhicules Mode UVP

	Temps d'Attente moyen total
Outs Outs	0.0
0vh 2vh	0s 0,0h 1s 0,0h 0s 0,0h
	oyenne maximale 0vh 2vh

Tabella 35: Risultati della simulazione per la rotatoria tra salita Sant'Anna, la nuova viabilità e la rotatoria Manacorda - scenario finale

Per la rotatoria di dimensioni minori del sistema "a biella" si ottengono ottime riserve di capacità sui rami (superiori all'81%), accumuli veicolari medi nulli e tempi di attesa medi per veicolo inferiori a 1 secondo. Dai risultati ne risulta quindi un **LOS A**.

La nuova rotatoria lungo la nuova viabilità che porta direttamente da viale Lungo Po a via B.Buozzi, permette di gestire l'accesso alla nuova struttura commerciale da questo fronte; essa presenta tre rami, due sulla nuova viabilità citata, uno come ramo di raccordo con la rotatoria "a biella" verificata in precedenza.



Figura 29: rotatoria di progetto sulla nuova viabilità

La verifica prestazionale ha restituito i risultati seguenti.

								nuova viabilità
Nom du Carrefour : Localisation : Environnement : Variante : Date :		C: Ui	tersezione asale Mont rbain 3/01/2012					
Anneau Rayon de l'îlot infranchissable : 4,00 m Largeur de la bande franchissable : 2,00 m Largeur de l'anneau : 6,00 m Rayon extérieur du giratoire : 12,00 m			00 m 00 m					raccordo
					Largeur	s (en m))	\
Nom	Angle (degrés)	Rampe > 3%	Tourne à droite		trée à 15 m	llőt	Sortie) \(\frac{1}{3} \)
raccordo	0			3,50		3,30	3,50	
nuova viabilità	90			4,00		3,20	7,00	
nuova viabilità	270			4,00		4,00	4,00	nuova viabilità

Période Finale

Trafic Piétons

1	2	3
10	10	0

Trafic Véhicules Mode UVP

		_			Résultats						
	1	2	3	Entrant		Réserve de	Canacitá	Longueur d	a Stockson	Temps d	'Attonto
1	0	343	0	343		en uvp/h	en %	movenne	maximale	moven	total
2	257	111	580	948		GITUVPITI	GII 70	moyerine	Illaxiillaic	IIIOyeii	iolai
3	0	681	0	681		550	cno.	QIL	O. de		0.45
T-4-1					raccordo	552	62%	0vh	3vh	4s	0,4h
Total					nuova viabilità	1272	57%	0vh	2vh	0s	0,1h
Sortant	257	1135	580	1972	nuova viabilità	849	56%	0vh	3vh	1s	0,3h

Tabella 36: Risultati della simulazione per la rotatoria di progetto sulla nuova viabilità - scenario finale

Per la nuova rotatoria di progetto si ottengono più che buone riserve di capacità sui rami (superiori al 56%), accumuli veicolari medi nulli e tempi di attesa medi per veicolo inferiori a 4 secondi; ne risulta un **LOS A**.

Le intersezioni tra salita Sant'Anna con via Bruno Buozzi e le secondarie via Biglionino e via Matteotti vengono regolamentate nello scenario finale tramite due mini-rotatorie ai lati del ponte sul canale irriguo; alla prima rotatoria, in sponda orografica sinistra, si innesta direttamente la nuova viabilità di connessione con viale Lungo Po e via Matteotti mentre sulla seconda, in sponda destra, si innesta via Biglionino e via B.Buozzi.

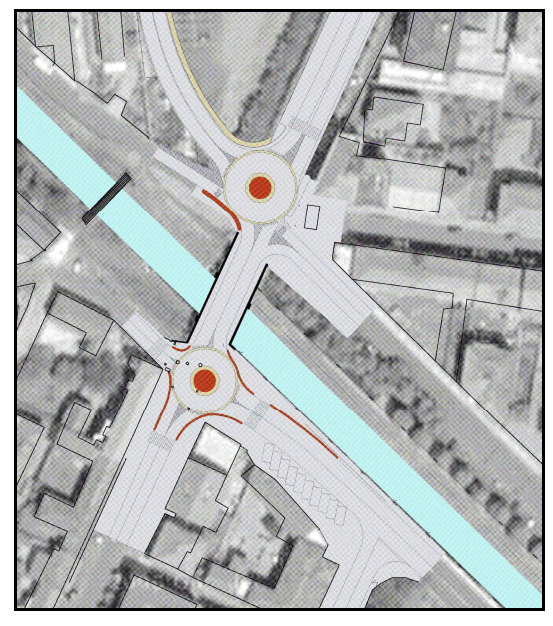
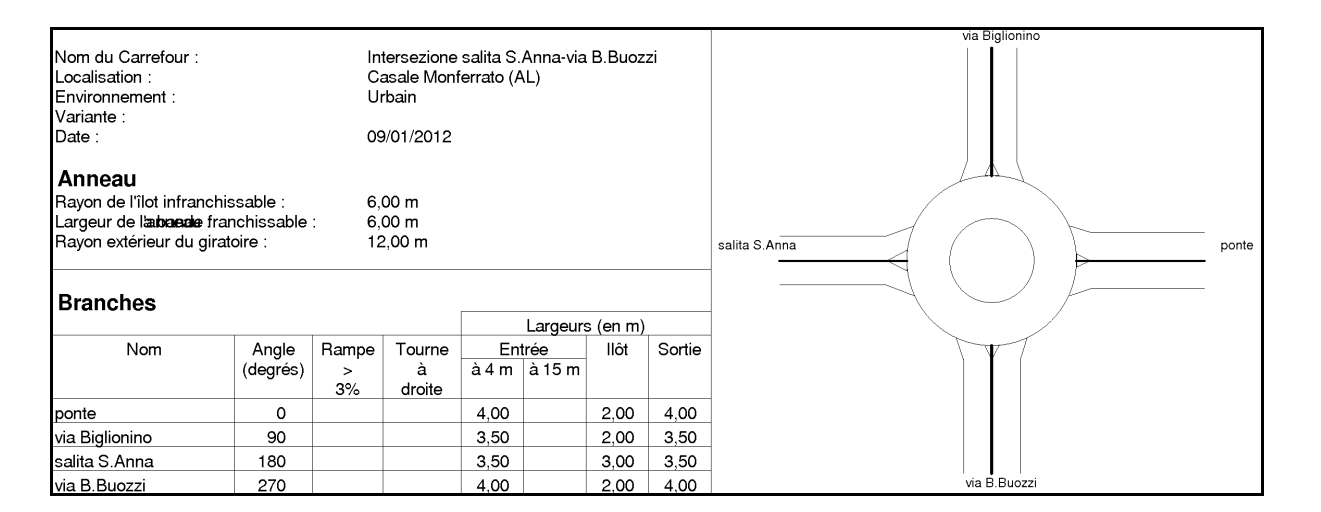


Figura 30: rotatorie di progetto all'intersezione tra salita Sant'Anna, via

Bruno Buozzi, via Matteotti e via Biglionino

La verifica prestazionale delle rotatorie, effettuata tramite il software GIRABASE[®], ha restituito i seguenti risultati.



Période Finale

Trafic Piétons

1	2	3	4
10	10	10	0

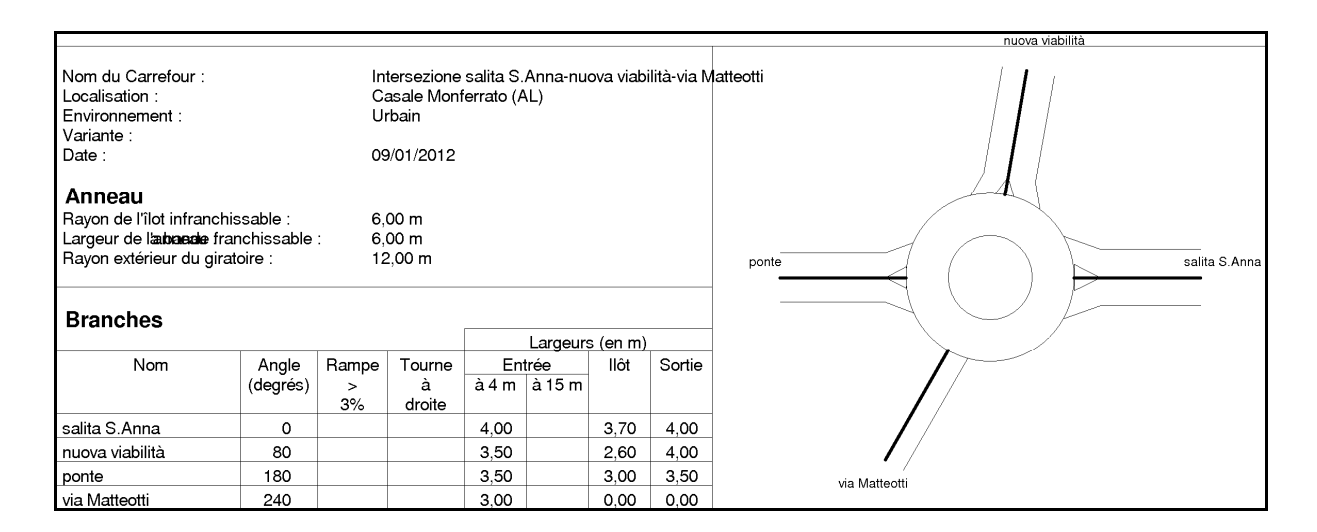
Trafic Véhicules Mode UVP

					Total	Résultats						
	1	2	3	4	Entrant		Réserve de	Canacité	Longueur d	e Stockage	Temps d	'Δttente
1	38	18	104	714	874		en uvp/h	en %	movenne	maximale	moven	total
2	20	0	3	13	36		on arpin	511 75		Indianical		TOTAL
3	80	3	0	108	191	nonto	1067	55%	0vh	3vh	1s	0.2h
4	865	11	92	0	968	ponte via Biglionino	749	95%	0vh	2vh	3s	0,211 0,0h
Total						salita S.Anna	700	79%	0vh	2vh	3s	0,011 0,2h
Sortant	1003	32	199	835	2069	via B.Buozzi	907	48%	0vh	3vh	1s	0,3h

Tabella 37: Risultati della simulazione per la rotatoria di progetto all'intersezione tra salita Sant'Anna, via B.Buozzi e via Biglionino - scenario finale

Per la nuova rotatoria in sponda orografica destra del canale si ottengono buone riserve di capacità sui rami (superiori al 48%), accumuli veicolari medi nulli e tempi di attesa medi per veicolo inferiori a 3 secondi, risultandone un **LOS A**.

STUDIO DI IMPATTO VIABILISTICO



Période Finale

Trafic Piétons

	1	2	3	4
ſ	10	10	0	10

Trafic Véhicules Mode UVP

	1	2	3	4	Total Entrant	Résultats	ı		1			
1 2	0	0	277 580		277 580		Réserve de en uvp/h	Capacité en %	Longueur d moyenne	e Stockage maximale	Temps d' moyen	Attente total
3 4	291 33	674 5	0		965 55	salita S.Anna	804	74%	0vh	3vh	2s	0,2h
Total Sortant	324	679	874		1877	nuova viabilità ponte via Matteotti	827 1035 630	59% 52% 92%	0vh 0vh 0vh	3vh 3vh 2vh	2s 1s 4s	0,3h 0,2h 0,1h

Tabella 38: Risultati della simulazione per la rotatoria di progetto all'intersezione tra salita Sant'Anna, la nuova viabilità e via Matteotti - scenario finale

Per la nuova rotatoria in sponda orografica destra del canale si ottengono più che buone riserve di capacità sui rami (superiori al 52%), accumuli veicolari medi nulli e tempi di attesa medi per veicolo inferiori a 4 secondi, risultandone un **LOS A**.

8 CONCLUSIONI

L'obiettivo del presente studio di impatto viabilistico, una volta rilevata la domanda di trasporto esistente e valutata la quantità e la qualità della circolazione, riguarda la quantificazione del traffico indotto dalla nuova struttura commerciale (tipologia M-SAM4) e la stima delle prestazioni delle soluzioni viabilistiche previste.

A seguito dell'insediamento della nuova struttura commerciale, la sistemazione progettuale adottata per la rete viaria si basa essenzialmente su:

- Ridefinizione geometrica dell'attuale rotatoria all'intersezione tra viale Lungo Po e via XX Settembre;
- Chiusura al traffico del tratto di via XX Settembre verso piazza Castello, con la realizzazione di una strada-piazza pedonale;
- Realizzazione di una nuova viabilità che, attraversando l'area dell'attuale parcheggio a raso del Casale Calcio, porta direttamente all'area dell'intersezione tra salita Sant'Anna e via B.Buozzi e del ponte sul canale irriguo;
- Realizzazione di una rotatoria urbana sulla nuova viabilità;
- Ridefinizione geometrica dell'attuale rotatoria all'intersezione tra salita Sant'Anna e corso Manacorda;
- Realizzazione di una rotatoria affiancata alla precedente, di minori dimensioni, che funzioni con la prima con un sistema "a biella", in modo da raccordare anche la nuova viabilità intermedia di collegamento;
- Realizzazione di due mini-rotatorie urbane agli estremi del ponte che permettono di gestire tutte le manovre di svolta conflittuali in sicurezza.

La scelta progettuale ha perseguito l'obbiettivo di ottenere un sistema viario più prestazionale in termini di capacità e al contempo di garantire all'utenza una circolazione più sicura, con la concentrazione dei movimenti conflittuali sulle rotatorie, ove le velocità sono di per sé più basse.

Le analisi condotte sullo **scenario attuale** hanno evidenziato delle criticità sulla rete stradale esistente, in particolare riguardo ad alcune manovre di svolta particolarmente difficoltose.

Γ	NODO	TIPOLOGIA	MOVIMENTO / RAMO	STATO DI FATTO			
NODO		TIPOLOGIA	WIOV IMENTO / RAIVIO	SAT-RIS	RITARDO	LOS	
ſ	viale Lungo Po -	Intersezione a	svolta dx v.le Marconi su v.le Lungo Po - dir. ponte	40%	19"	С	
'	' viale Marconi	raso a "T"	svolta sx v.le Lungo Po su v.le Marconi	31%	11"	В	
2	viola Lunga Da via	Intersezione a rotatoria	via XX Settembre (lato centro)	49%	1"	Α	
	viale Lungo Po-via XX Settembre		viale Lungo Po	55%	1"	Α	
	A Setterrible		via XX Settembre (lato periferia)	76%	2"	Α	
3		Intersezione a rotatoria	c.so Manacorda	47%	5"	Α	
	c.so Manacorda-		p.za Castello	63%	0"	Α	
	salita S.Anna		via Accettuato	87%	2"	Α	
			salita Sant'Anna	47%	2"	Α	
4	salita S.Anna-via	Intersezione a raso a "T"	svolta sx salita Sant'Anna verso il centro	43%	48"	Е	
	Buozzi		svolta dx via XX Settembre su via Buozzi	23%	15"	В	
			svolta sx via Buozzi su salita Sant'Anna	8%	9"	Α	
	via XX Settembre- p.za Castello-c.so Manacorda	Intersezione a raso a "T"	svolta dx p.za Castello su via XX Settembre	67%	35"	D	

Tabella 39: tabella riassuntiva LOS scenario attuale

L'insediamento della nuova struttura commerciale prevede una dotazione complessiva di parcheggi pari a 245 posti auto, generando un indotto pari a 294 veicoli in ingresso e in uscita nell'ora di punta individuata dal rilievo di traffico (venerdì nell'intervallo 17.00-18.00).

Le analisi condotte sullo **scenario finale di progetto**, con l'incremento di traffico dovuto alla realizzazione della struttura commerciale e delle nuove opere stradali, hanno consentito di ottenere, tramite simulazione, i livelli di servizio riportati nella tabella seguente.

NODO		TIPOLOGIA	MOVIMENTO / RAMO	STATO DI PROGETTO			
		TIPOLOGIA	WOVIMENTO / RAWO	SAT-RIS	RITARDO	LOS	
1	viale Lungo Po -	Intersezione a	svolta dx v.le Marconi su v.le Lungo Po - dir. ponte	55%	25"	С	
	viale Marconi	raso a "T"	svolta sx v.le Lungo Po su v.le Marconi	36%	11"	В	
2	viale Lungo Po-via	Intersezione a rotatoria	viale Lungo Po	63%	0"	Α	
	XX Settembre		via XX Settembre (lato periferia)	69%	3"	Α	
			nuova viabilità	41%	1"	Α	
3		Intersezione a rotatoria	c.so Manacorda	64%	1"	Α	
	c.so Manacorda- salita S.Anna- parcheggio-nuova viabilità		p.za Castello	84%	1"	Α	
			parcheggio	86%	1"	Α	
			salita Sant'Anna	77%	0"	Α	
		Intersezione a rotatoria	rotatoria Manacorda	82%	0"	Α	
			nuova viabilità	84%	1"	Α	
			salita Sant'Anna	81%	0"	Α	
4	salita S.Anna-via	Intersezione a rotatoria	ponte	55%	1"	Α	
	Buozzi-via		via Biglionino	95%	3"	Α	
			salita Sant'Anna (lato periferia)	79%	3"	Α	
	Biglionino		via B. Buozzi	48%	1"	Α	
	salita S.Anna-	Intersezione a rotatoria	salita Sant'Anna	74%	2"	Α	
	nuova viabilità-via Matteotti		nuova viabilità	59%	2"	Α	
			ponte	52%	1"	Α	
	iviatteotti		via Matteotti	92%	4"	Α	
5	nuova viabilità-	Intersezione a rotatoria	raccordo	62%	4"	Α	
	raccordo		nuova viabilità	57%	0"	Α	
	Taccordo		nuova viabilità	56%	1"	Α	

Tabella 40: tabella riassuntiva LOS scenario di progetto

STUDIO DI IMPATTO VIABILISTICO

Dalla lettura comparata dei dati relativi ai LOS, i gradi di saturazione e i tempi di ritardo, si evince come le soluzioni progettuali e le nuove geometrie stradali siano in grado di assorbire la domanda di trasporto futura e, nel caso di alcuni movimenti di svolta, di migliorare l'efficienza complessiva della rete stradale.

A seguito di precedenti esperienze in contesti del tutto analoghi, si sottolinea inoltre che i valori dell'indotto calcolati con la metodologia della legislazione commerciale della Regione Piemonte sono superiori ai flussi veicolari realmente misurabili agli accessi, pertanto si può ragionevolmente affermare che, all'apertura, verranno garantite riserve di capacità superiori a quelle ottenute dalla simulazione.